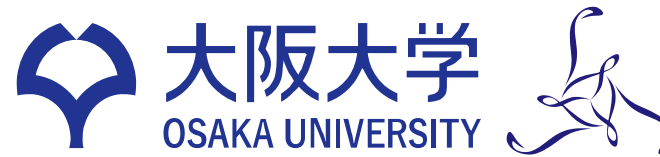


Python で学ぶ 制御工学

Part2: 伝達関数モデルを用いた制御系設計



南 裕樹



勉強会の概要

Part 1

制御工学の基礎

- ・制御とは、フィードバック制御、制御系設計

Pythonプログラミングの基礎

- ・Jupyter Notebook の使い方
- ・Pythonプログラミング ★ Python演習 1

制御系設計のためのモデル

- ・伝達関数モデル、ブロック線図、時間応答、周波数応答 ★ Python演習 2

Part 2

制御系設計のためのモデル（復習）

- ・伝達関数モデル、時間応答、周波数応答

伝達関数モデルを用いた制御系設計

- ・閉ループ系の設計仕様、PID制御、モデルマッチング ★ Python演習 3

Part 3

ループ整形による制御系設計

- ・開ループ系の設計仕様、位相進み・遅れ補償 ★ Python演習 4

状態空間モデルを用いた制御系設計

- ・状態空間モデル、状態フィードバック ★ Python演習 5

流れや雰囲気を体感してください
独学のハードルを下げるのが目的
です！本を読んでください！



今日の目標

Level☆☆☆

- ・閉ループ系の設計仕様の用語を説明できる
 - ・閉ループ系の安定性をPythonでチェックできる
 - ・PID制御系の応答特性(時間・周波数)のグラフをPythonで描ける
-

Level☆☆★

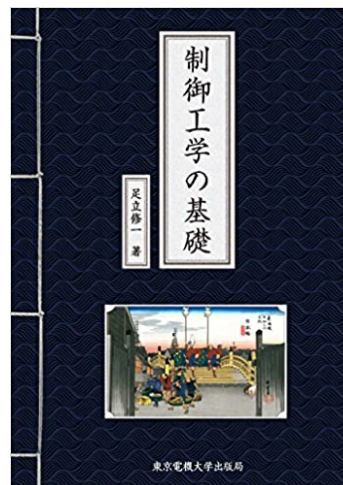
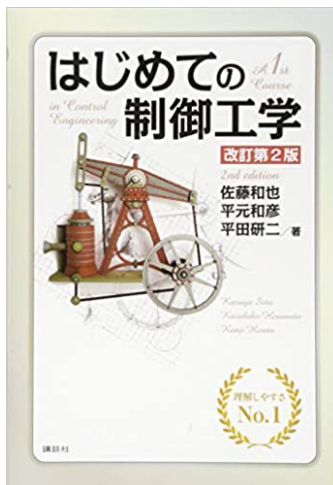
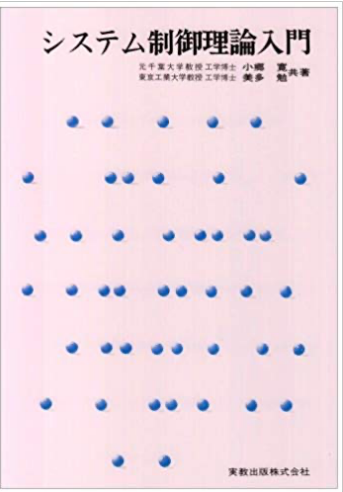
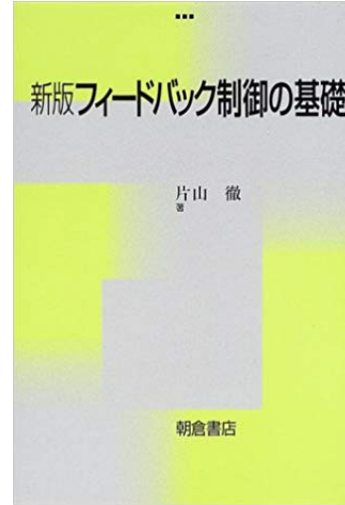
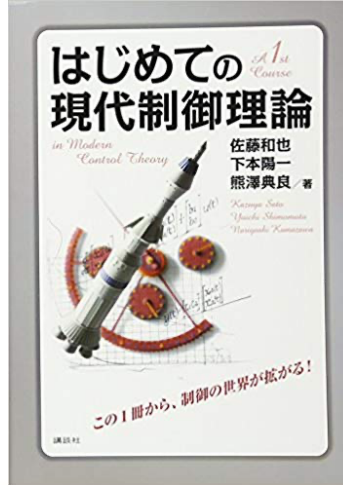
- ・限界感度法, ステップ応答法でPIDゲインを設計できる
 - ・モデルマッチング法でPIDゲインを設計できる
-

Level★★★

- ・2次遅れ系の行き過ぎ量やバンド幅, ピークゲインを手計算できる
- ・不完全微分が必要な理由を説明でき, それを用いた解析・設計ができる



参考図書



導入にもってこい

押さえておけば安心

数学的にしっかり勉強



補助資料の紹介



「Python × 制御工学」の日本初の本

古典制御、現代制御、ロバスト制御の基礎が
ギュッとつまっている

数学的な説明は少なめ

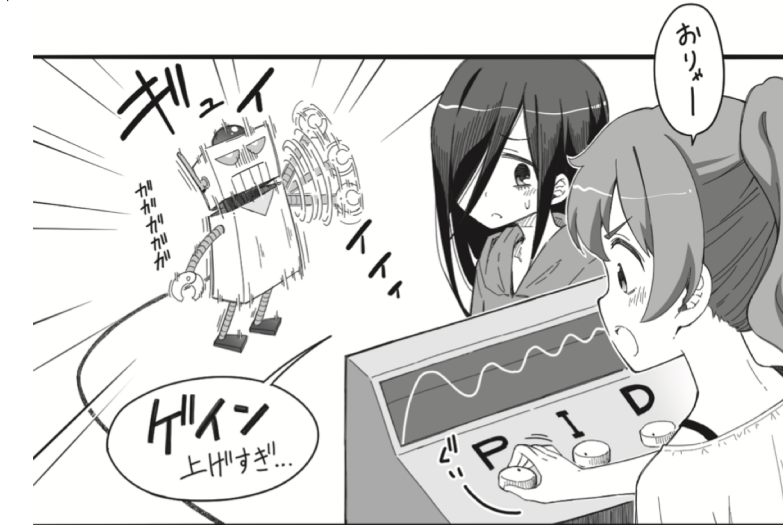
対話形式の説明やイラストを配置

サポートページには、
サンプルコードが公開されている

→ Python & MATLABコード

- 2,600 円 + 税
- A5 272頁
- 2019/05/22 発行

Kindle版もあります





勉強会の概要

Part 1

制御工学の基礎

- ・制御とは、フィードバック制御、制御系設計

Pythonプログラミングの基礎

- ・Jupyter Notebook の使い方
- ・Pythonプログラミング ★ Python演習 1

制御系設計のためのモデル

- ・伝達関数モデル、ブロック線図、時間応答、周波数応答 ★ Python演習 2



制御系設計のためのモデル（復習）

- ・伝達関数モデル、時間応答、周波数応答

伝達関数モデルを用いた制御系設計

- ・閉ループ系の設計仕様、PID制御、モデルマッチング ★ Python演習 3

Part 3

ループ整形による制御系設計

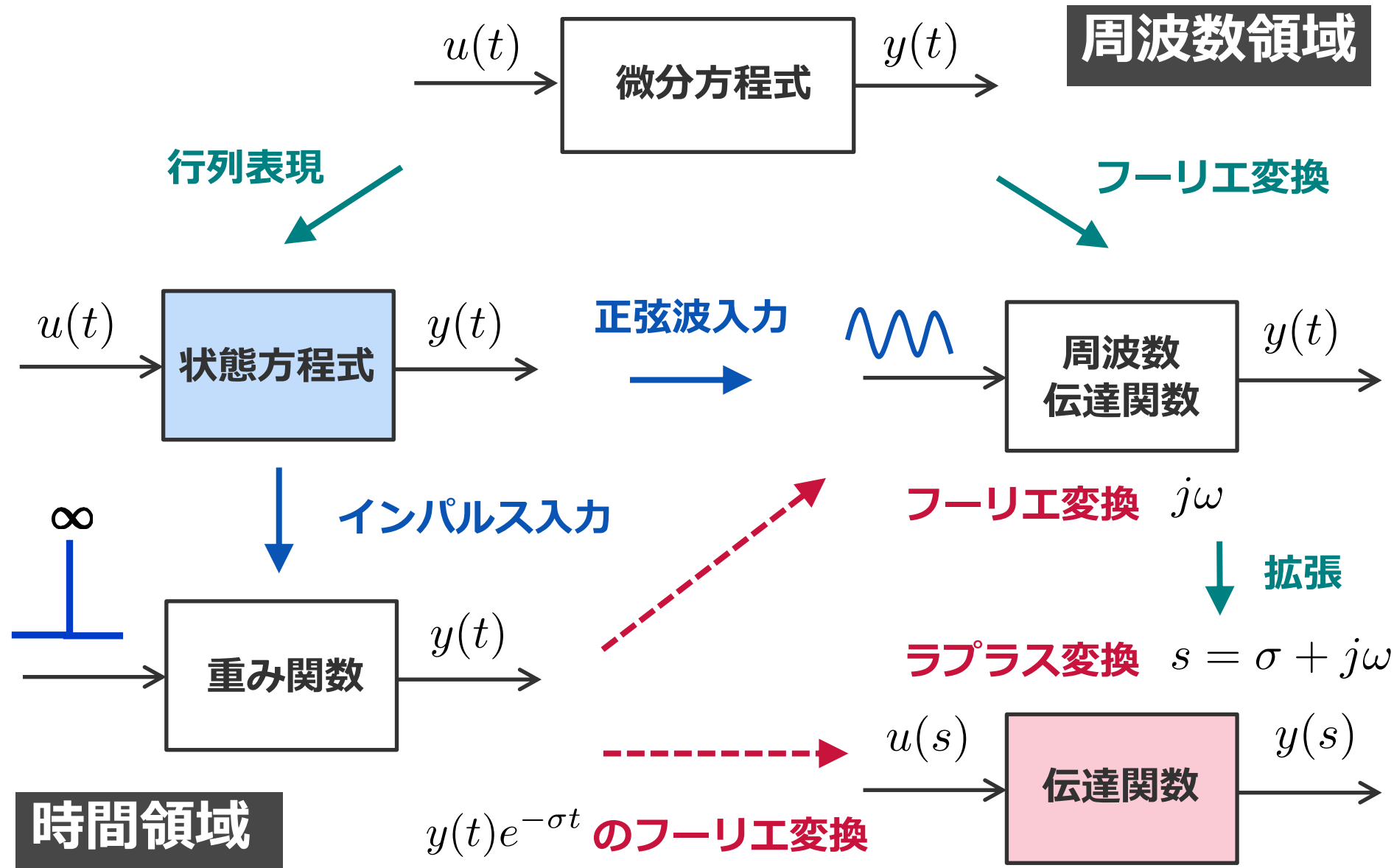
- ・開ループ系の設計仕様、位相進み・遅れ補償 ★ Python演習 4

状態空間モデルを用いた制御系設計

- ・状態空間モデル、状態フィードバック ★ Python演習 5

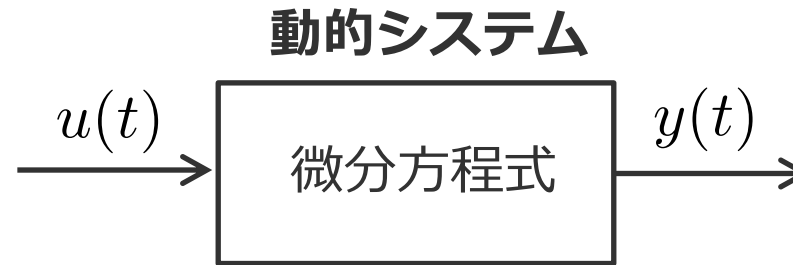


設計モデルの関係





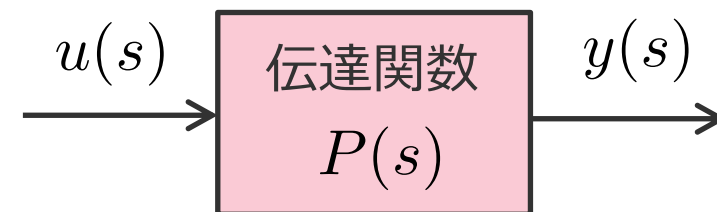
制御のためのモデル（設計モデル）



$$\begin{aligned} \frac{d^n}{dt^n}y(t) + a_{n-1}\frac{d^{n-1}}{dt^{n-1}}y(t) + \cdots + a_1\frac{d}{dt}y(t) + a_0y(t) \\ = b_m\frac{d^m}{dt^m}u(t) + b_{m-1}\frac{d^{m-1}}{dt^{m-1}}u(t) + \cdots + b_1\frac{d}{dt}u(t) + b_0u(t) \end{aligned}$$

↓
伝達関数モデル

ラプラス変換を用いて代数方程式で表す

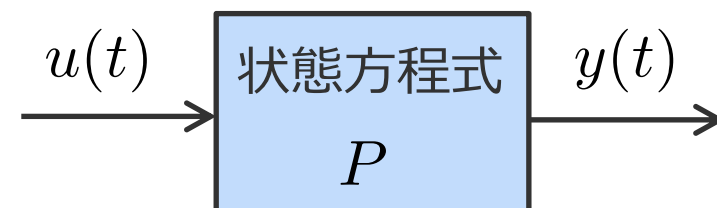


$$P(s) = \frac{b_ms^m + b_{m-1}s^{m-1} + \cdots + b_1s + b_0}{s^n + a_{n-1}s^{n-1} + \cdots + a_1s + a_0}$$

変換

↓
状態空間モデル

行列表現を用いて 1 階の微分方程式で表す



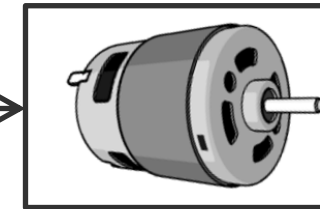
$$P : \begin{cases} \dot{\mathbf{x}}(t) = \mathbf{A}\mathbf{x}(t) + \mathbf{B}u(t) \\ y(t) = \mathbf{C}\mathbf{x}(t) \end{cases}$$



モデルの特徴を知る

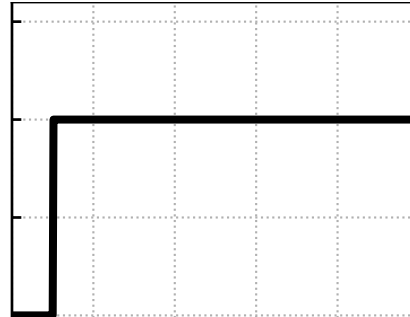
システム=モータ

入力=電圧

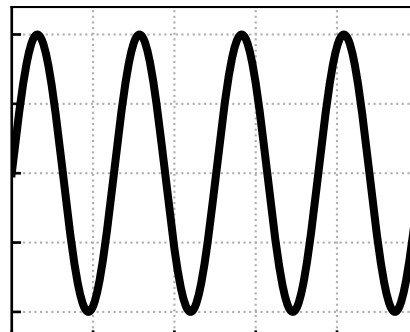


出力=角速度

入力を加えて出力を観測する
→ 特徴を調べる



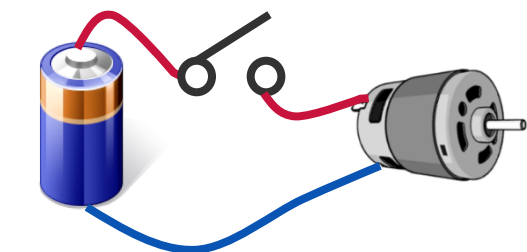
ステップ入力



正弦波入力

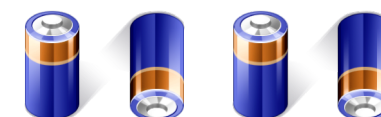
電池をつないだときの出力の振る舞いは？

→ システムのステップ応答（過渡・定常特性）



電池の+-を交互に切り替えるとどんな振る舞いになるか？

→ システムの周波数応答（ゲイン、位相）





Python演習 2

伝達関数モデルのステップ応答

以下のコードを実行してみましょう

```
from control.matlab import *
import matplotlib.pyplot as plt
import numpy as np

fig, ax = plt.subplots(figsize=(3, 2.3))

P = tf([0, 1], [0.5, 1])

y, t = step(P, np.arange(0, 5, 0.01))
ax.plot(t, y, color='k')

ax.set_xticks(np.linspace(0, 5, 6))
ax.grid(ls=':')
stepinfo(P)
```

$$P(s) = \frac{1}{0.5s + 1} = \frac{0s + 1}{0.5s + 1}$$

Python : 伝達関数モデルの定義

`tf([分子の係数], [分母の係数])`

Python : ステップ応答

`y, t = step(モデル, 時間)`
出力 時間

Python : ステップ応答の情報

`Info = stepinfo(モデル)`



Python演習 2

伝達関数モデルの周波数応答

以下のコードを実行してみましょう

```
K = 1
T = 0.5
fig, ax = plt.subplots(2,1, figsize=(4,3.5))
```

```
P = tf([0, K],[T, 1])
gain, phase, w = bode(P, logspace(-2,2), Plot=False)
ax[0].semilogx(w, 20*np.log10(gain))
ax[1].semilogx(w, phase*180/np.pi)

ax[0].grid(which="both", ls=':')
ax[0].set_ylabel('Gain [dB]')
ax[1].grid(which="both", ls=':')
ax[1].set_xlabel('$\omega$ [rad/s]')
ax[1].set_ylabel('Phase [deg]')
```

$$P(s) = \frac{1}{0.5s + 1} = \frac{0s + 1}{0.5s + 1}$$

Python : 周波数応答

`gain, phase, w = bode(モデル, 周波数域)`
ゲイン(倍) 位相 (rad) 周波数 (rad/s)

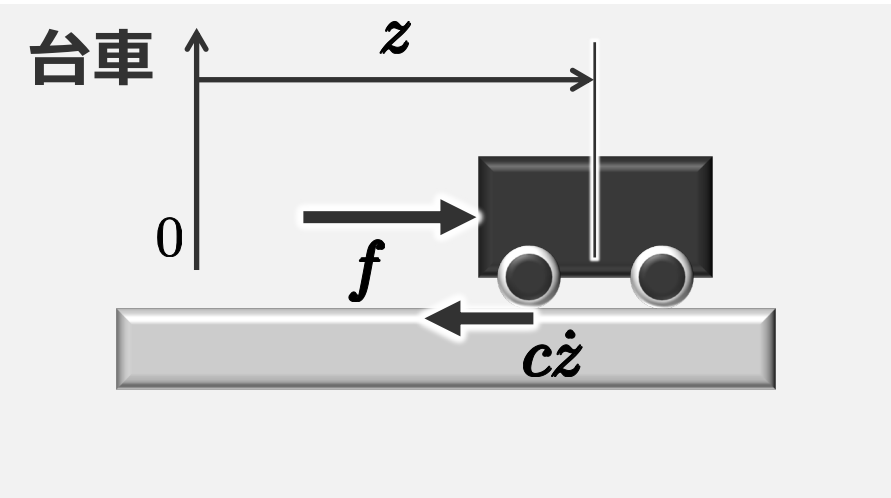
$0.01 \sim 100 \rightarrow \text{logspace}(-2,2)$

dBへの変換: $20 * \text{np.log10}(gain)$

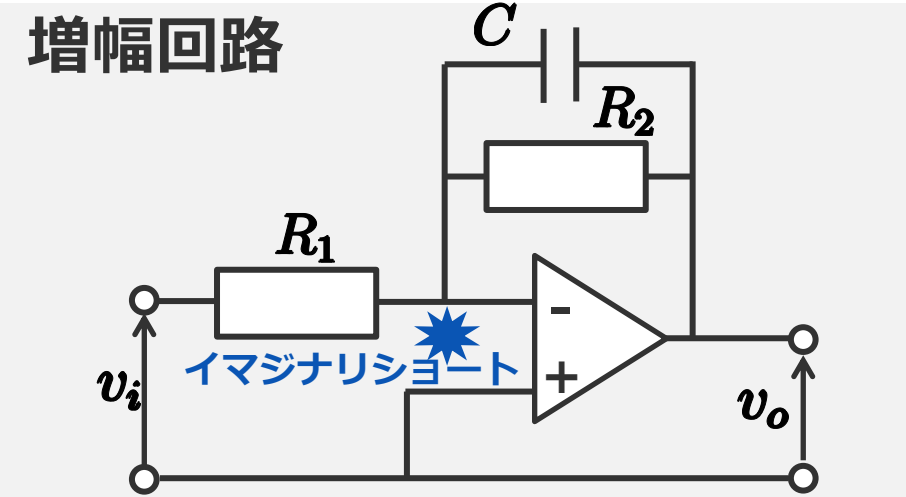
degへの変換: $\text{phase} * 180 / \text{np.pi}$



1次遅れ系



$$\frac{1}{ms + c}$$



$$-\frac{R_2}{R_1 R_2 C s + R_1}$$

1次遅れ系 : $G(s) = \frac{K}{1 + Ts}$

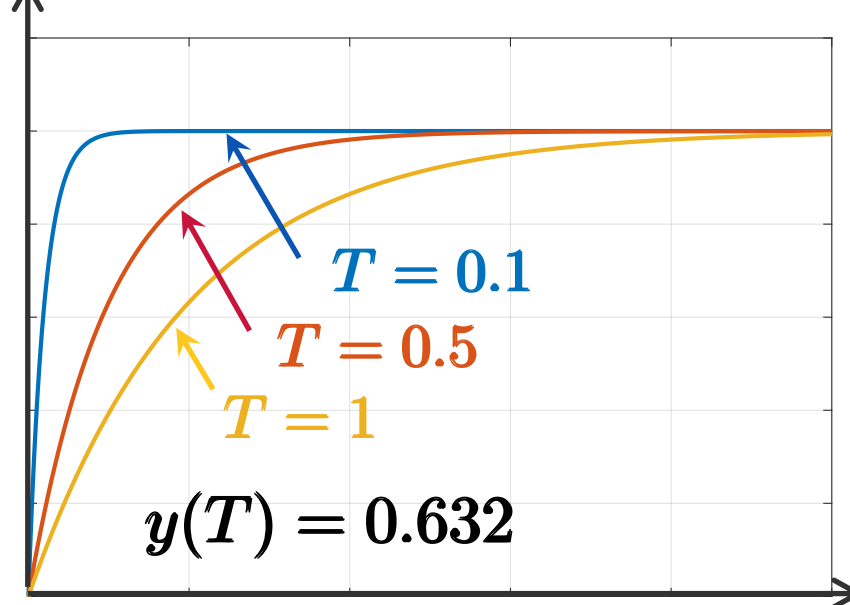
T : 時定数
 K : ゲイン



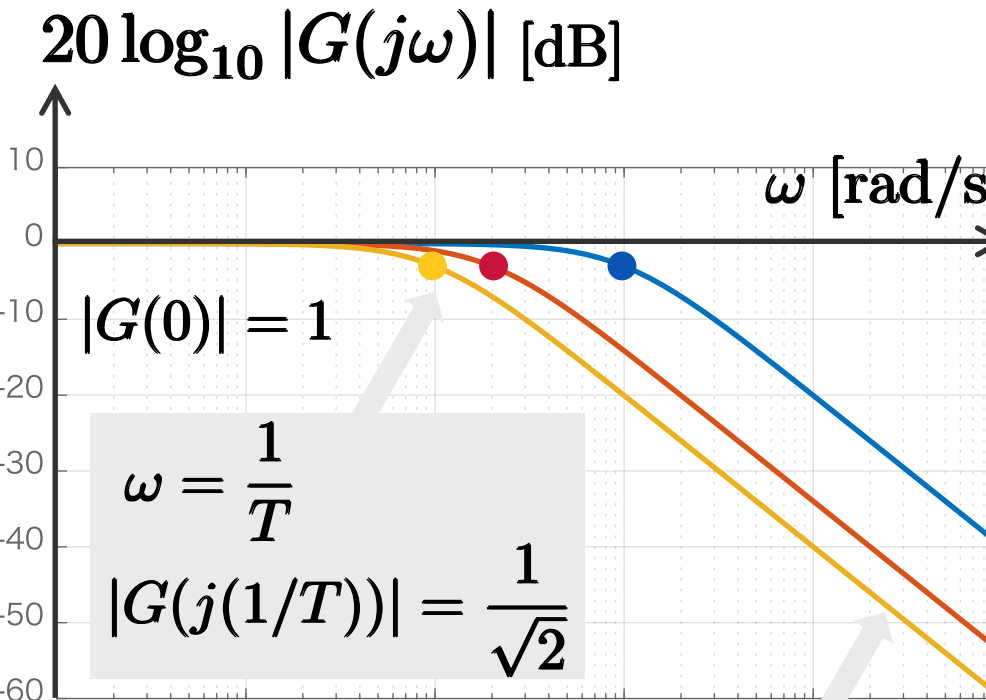
1次遅れ系

$$G(s) = \frac{1}{1 + Ts}$$

$$y(t) = 1 - e^{-\frac{t}{T}}$$



$$G(j\omega) = \frac{1}{1 + j\omega T}$$



$$|G(j\omega)| \simeq \frac{1}{\omega T} \rightarrow -20[\text{dB/dec}]$$



1次遅れ系

- 1次遅れ系のステップ応答は、振動せずに収束する
- 時定数は速応性に関するパラメータ

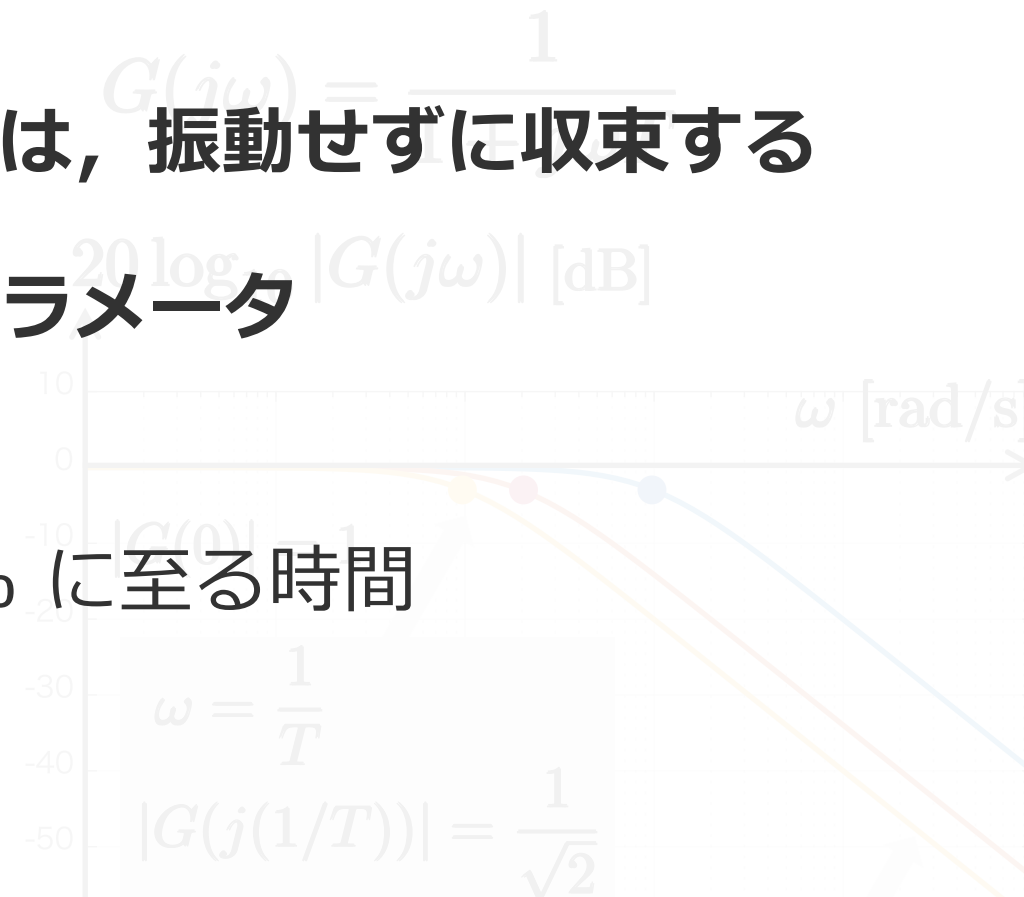
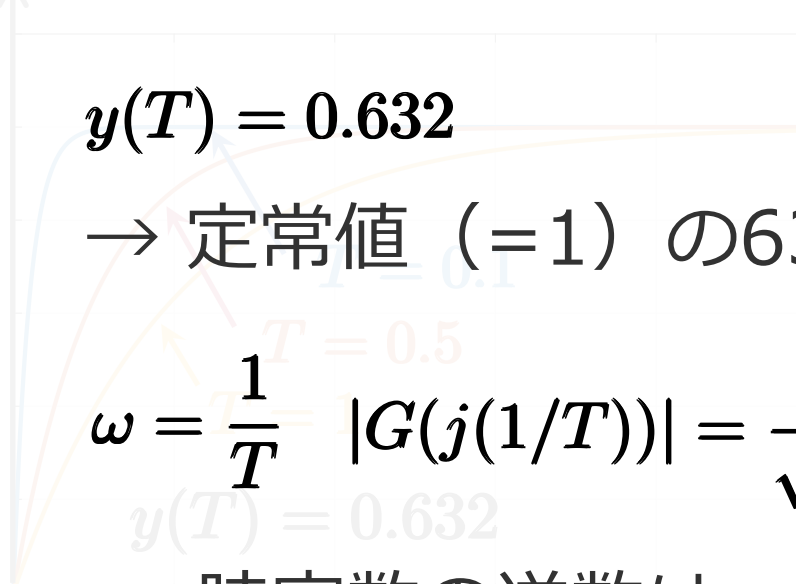
$$y(T) = 0.632$$

→ 定常値 (=1) の63.2% に至る時間

$$\omega = \frac{1}{T} \quad |G(j(1/T))| = \frac{1}{\sqrt{2}}$$

→ 時定数の逆数は、周波数特性のカットオフ周波数（制御帯域）

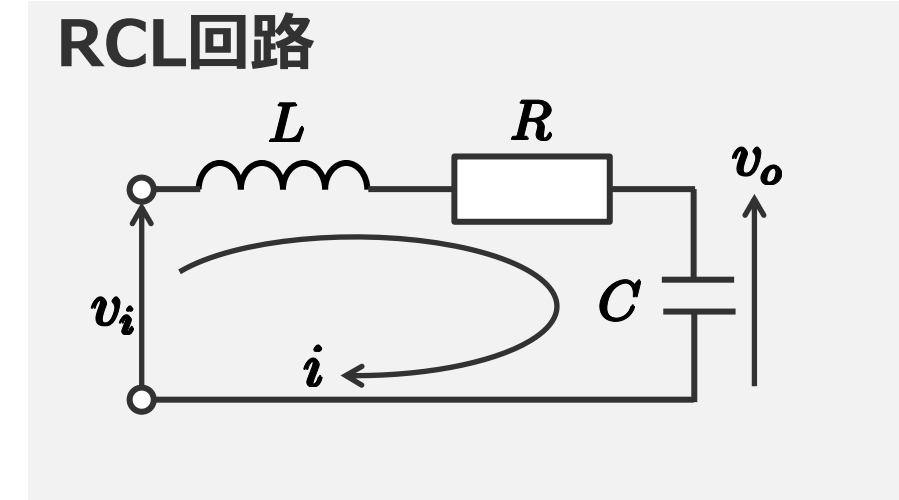
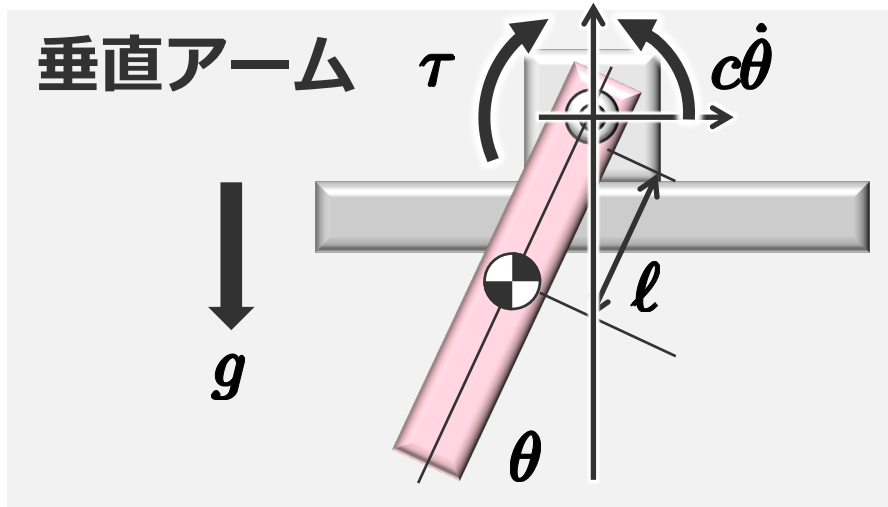
時定数が小さい=速応性が高い
振動しない→オーバーシュートなし



$$|G(j\omega)| \simeq \frac{1}{\omega T} \rightarrow -20[\text{dB/dec}]$$



2次遅れ系



$$\frac{1}{Js^2 + cs + mgl}$$

$$\frac{1}{CLs^2 + CRs + 1}$$

$$\text{2次遅れ系: } G(s) = \frac{K\omega_n^2}{s^2 + 2\zeta\omega_n s + \omega_n^2}$$

ζ : 減衰係数
 ω_n : 固有角周波数
 K : ゲイン



2次遅れ系

$$G(s) = \frac{K\omega_n^2}{s^2 + 2\zeta\omega_n s + \omega_n^2}$$

↓
減衰係数 ↓
固有角周波数

マスバネダンパ

$$\omega_n = \sqrt{k/m}$$

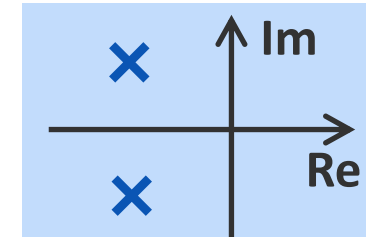
$$\zeta = c/(2\sqrt{mk})$$

$$K = 1/k$$

$$= \frac{p_1 p_2}{(s - p_1)(s - p_2)}$$

$$p_1, p_2 = \alpha \pm \beta j$$

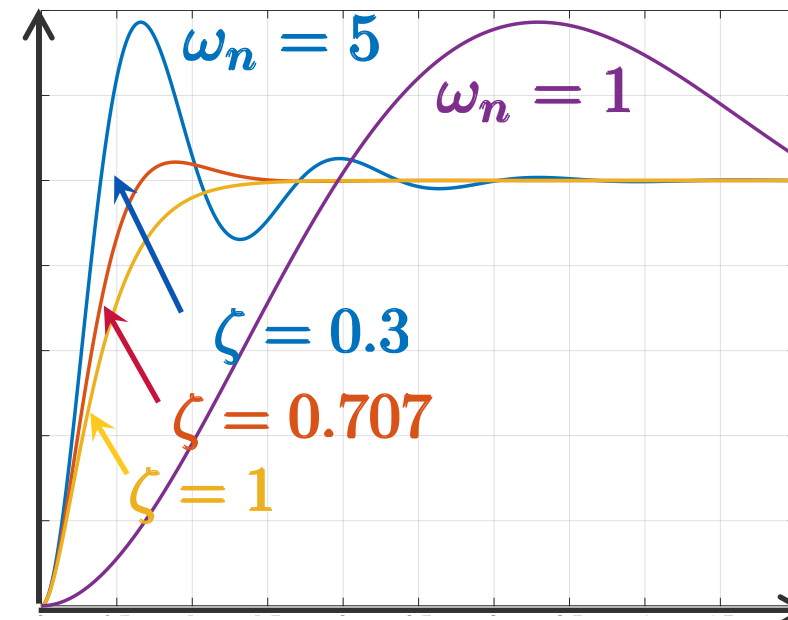
のとき



$$G(s) = \frac{\alpha^2 + \beta^2}{s^2 - 2\alpha s + \alpha^2 + \beta^2}$$

$$\left\{ \begin{array}{l} K = 1 \\ \zeta = -\frac{\alpha}{\sqrt{\alpha^2 + \beta^2}} \quad 0 \leq \zeta \leq 1 \\ \omega_n = \sqrt{\alpha^2 + \beta^2} \end{array} \right.$$

ステップ応答



虚部が大きい = ζ が小さい = 振動的になる
 実部or虚部が大きい = ω_n が大きい = 応答が速い



2次遅れ系

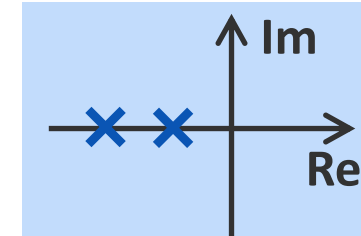
$$G(s) = \frac{K\omega_n^2}{s^2 + 2\zeta\omega_n s + \omega_n^2}$$

マスバネダンパ
 $\omega_n = \sqrt{k/m}$
 $\zeta = c/(2\sqrt{mk})$
 $K = 1/k$

$\frac{p_1 p_2}{(s - p_1)(s - p_2)}$

減衰係数 ↗ 固有角周波数 ↗

$$p_1, p_2 = \alpha_1, \alpha_2 \text{ のとき}$$



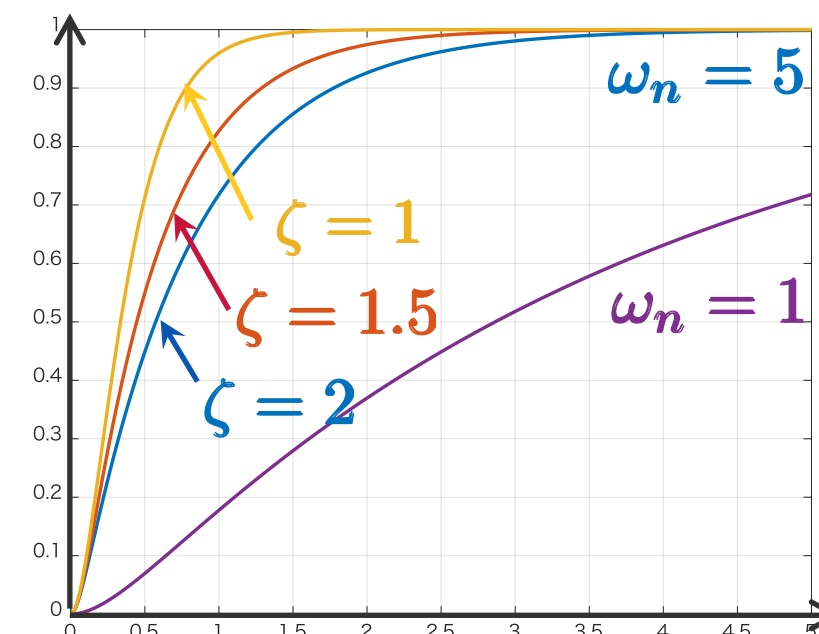
$$G(s) = \frac{\alpha_1 \alpha_2}{s^2 - (\alpha_1 + \alpha_2)s + \alpha_1 \alpha_2}$$

$$\left\{ \begin{array}{l} K = 1 \\ \zeta = -\frac{\alpha_1 + \alpha_2}{2\sqrt{\alpha_1 \alpha_2}} \\ \omega_n = \sqrt{\alpha_1 \alpha_2} \end{array} \right. \quad \begin{matrix} \text{相加} & \text{相乗} \\ \swarrow & \nwarrow \end{matrix}$$

$\zeta \geq 1$ で、

振動しない。極が負側に大きくなると、 ζ と ω_n が大きくなる = 制動が強くなる & 応答が速くなる

ステップ応答



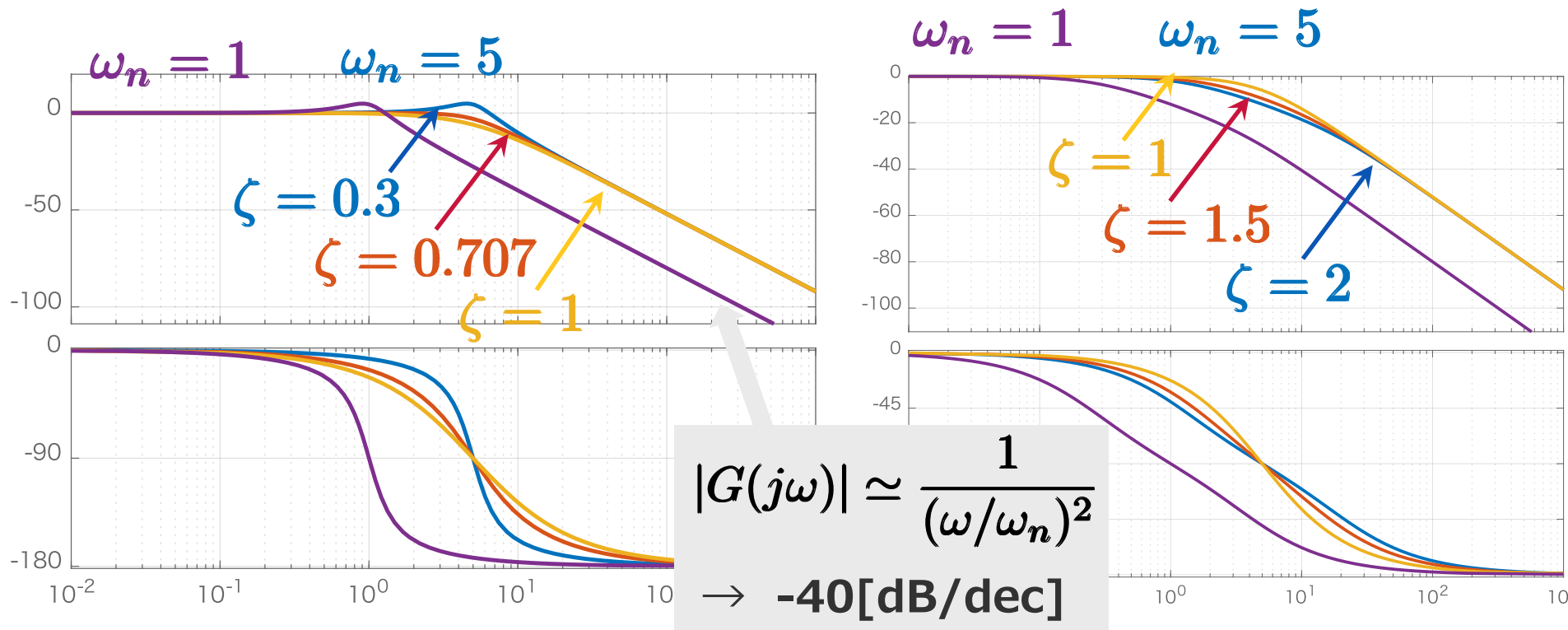


2次遅れ系

周波数応答

$$G(j\omega) = \frac{\omega_n^2}{\omega_n^2 - \omega^2 + j2\zeta\omega_n\omega}$$

$$|G(j\omega)| = \frac{\omega_n^2}{\sqrt{(\omega_n^2 - \omega^2)^2 + (2\zeta\omega_n\omega)^2}} \quad \angle G(j\omega) = -\tan^{-1} \frac{2\zeta\omega_n\omega}{\omega_n^2 - \omega^2}$$





2次遅れ系

- 2次遅れ系のステップ応答は、振動する場合がある

- 減衰係数が減衰性（安定度）に関するパラメータ

$\zeta = 0$ 安定限界 = 持続振動

$0 < \zeta < 1$ 不足制動 = 振動しながら定常値に収束

$\zeta = 1$ 臨界制動 = ぎりぎり振動しない

$\zeta > 1$ 過制動 = まったく振動せずに定常値に収束

→ $0 < \zeta < 1/\sqrt{2}$ のとき、周波数特性で共振を生じる

- 固有角周波数は速応性に関するパラメータ

→ 周波数応答におけるカットオフ周波数



勉強会の概要

Part 1

制御工学の基礎

- ・制御とは、フィードバック制御、制御系設計

Pythonプログラミングの基礎

- ・Jupyter Notebook の使い方
- ・Pythonプログラミング ★ Python演習 1

制御系設計のためのモデル

- ・伝達関数モデル、ブロック線図、時間応答、周波数応答 ★ Python演習 2

制御系設計のためのモデル（復習）

- ・伝達関数モデル、時間応答、周波数応答



伝達関数モデルを用いた制御系設計

- ・閉ループ系の設計仕様、PID制御、モデルマッチング ★ Python演習 3

Part 3

ループ整形による制御系設計

- ・開ループ系の設計仕様、位相進み・遅れ補償 ★ Python演習 4

状態空間モデルを用いた制御系設計

- ・状態空間モデル、状態フィードバック ★ Python演習 5



姉妹のよくある日常会話



姉：希波（きなみ） 23歳

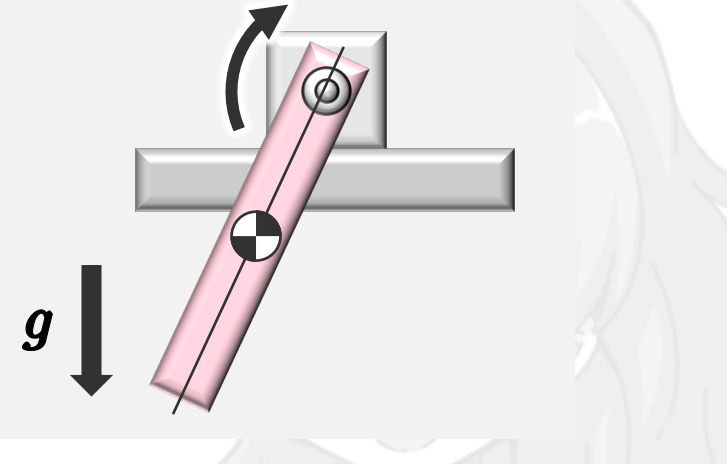


妹：望結（みゆう） 18歳



姉妹のよくある日常会話

伝達関数モデルがあるから
これでいい感じにして！



ううー、授業で習ったけど、
よく覚えていない・・・

いい感じってなに？
具体的な仕様は？

例えば、ステップ応答の整定時間とか
オーバーシュートとか

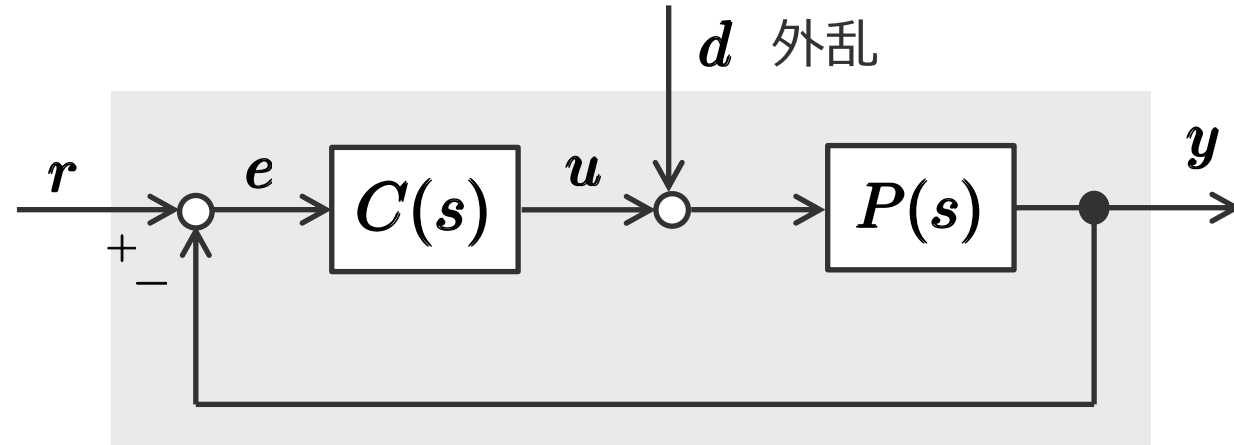
じゃあ、閉ループ系の仕様を復習して
からPID制御の設計をやってみよう

★実現したい仕様は何か？PID制御の設計はどのようにするか？



閉ループ系の設計仕様

フィードバック制御系を構築



閉ループ系の特性に注目

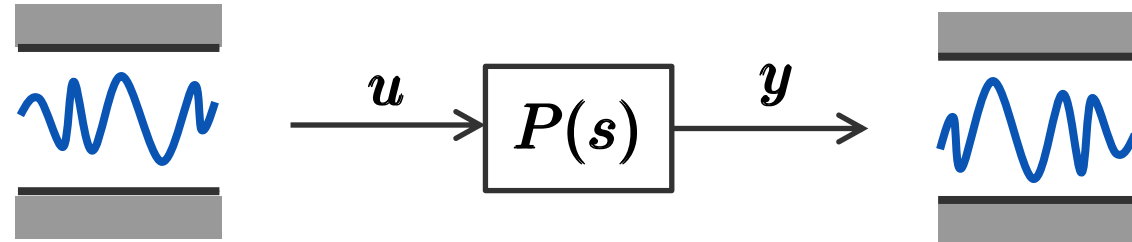
- ・ どんな時間応答？
- ・ どんな周波数応答？
- ・ 閉ループ極はどこに配置？

注目するポイント（設計仕様）

- 1) 安定性
- 2) 速応性 + 減衰性
- 3) 定常偏差



制御対象の安定性



有界な入力を入れたときに、出力も有界になる
(出入力安定, BIBO安定)

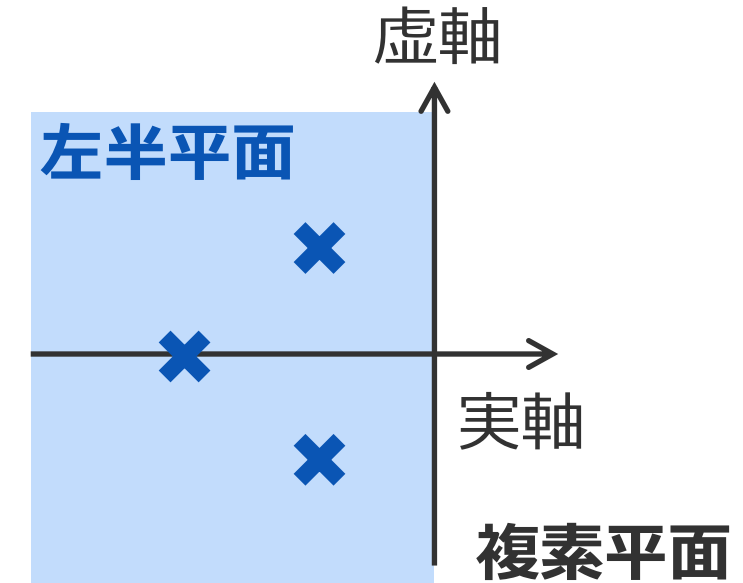
↔ 伝達関数の極の実部がすべて負 $s = \sigma + j\omega$

↳ $P(s) = \infty$ となる s
 $P(s)$ の分母多項式 $D(s)$ の根

$$\frac{1}{s+1}$$

極 : -1
零点 : 無限遠点

$P(s) = 0$ となる s
を零点という



Python : 極, 零点, 直流ゲイン

| | |
|-------------|--------------|
| pole(モデル) | モデル.pole() |
| zero(モデル) | モデル.zero() |
| dcgain(モデル) | モデル.dcgain() |



【補足】 安定判別法（フルビツツ）

$a_n s^n + a_{n-1} s^{n-1} + \cdots + a_1 s + a_0$ のすべての根の実部が負

↔ すべての係数 $a_n, a_{n-1}, \dots, a_1, a_0$ が正（同符号）
+ H_1, H_2, \dots, H_n がすべて正

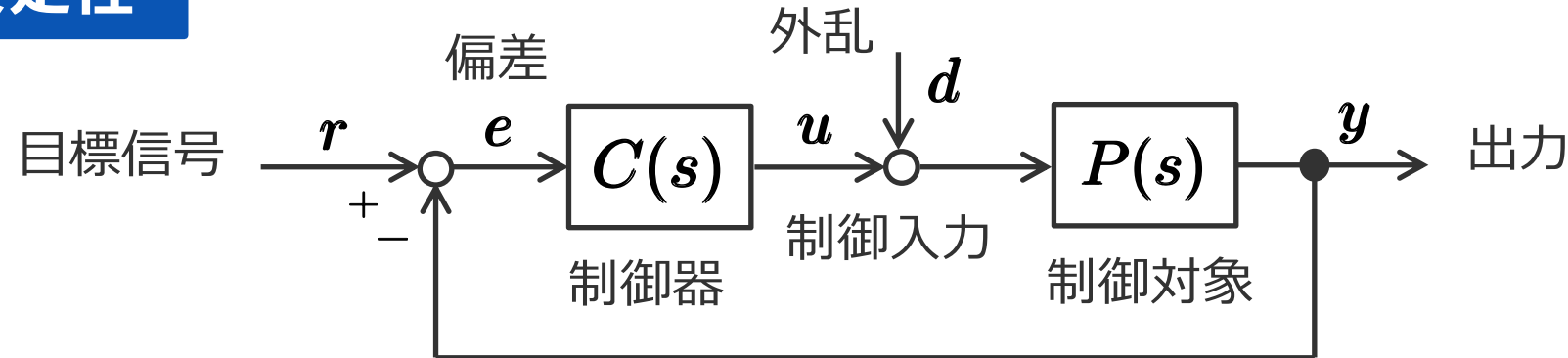
$$H = \begin{bmatrix} a_{n-1} & a_{n-3} & a_{n-5} & \cdots & 0 \\ a_n & a_{n-2} & a_{n-4} & \cdots & 0 \\ 0 & a_{n-1} & a_{n-3} & \cdots & 0 \\ 0 & a_n & a_{n-2} & \cdots & 0 \\ \vdots & \vdots & \vdots & \ddots & \vdots \\ 0 & \cdots & \cdots & a_2 & a_0 \end{bmatrix} \quad H_2 = \begin{vmatrix} a_{n-1} & a_{n-3} \\ a_n & a_{n-2} \end{vmatrix}$$
$$H_3 = \begin{vmatrix} a_{n-1} & a_{n-3} & a_{n-5} \\ a_n & a_{n-2} & a_{n-4} \\ 0 & a_{n-1} & a_{n-3} \end{vmatrix}$$
$$\vdots \quad \vdots$$

⇒ すべての係数 $a_n, a_{n-1}, \dots, a_1, a_0$ が正（同符号）
まずはコレ！ 同符号でないとき、一目で不安定であることがわかる



閉ループ系の安定性

安定性



全ての伝達関数が入出力安定（極の実部がすべて負）

$$\begin{bmatrix} u \\ y \end{bmatrix} = \begin{bmatrix} G_{ur}(s) & G_{ud}(s) \\ G_{yr}(s) & G_{yd}(s) \end{bmatrix} \begin{bmatrix} r \\ d \end{bmatrix}$$

内部安定

特性多項式が安定多項式 $\phi(s) = D_P(s)D_C(s) + N_P(s)N_C(s)$

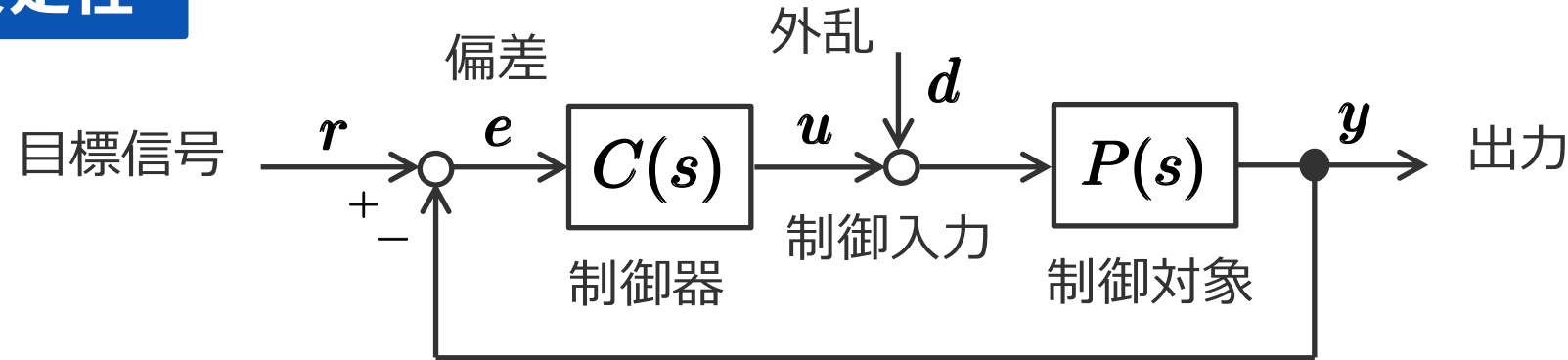
根の実部がすべて負

$$P(s) = \frac{N_P(s)}{D_P(s)} \quad C(s) = \frac{N_C(s)}{D_C(s)}$$



閉ループ系の安定性

安定性



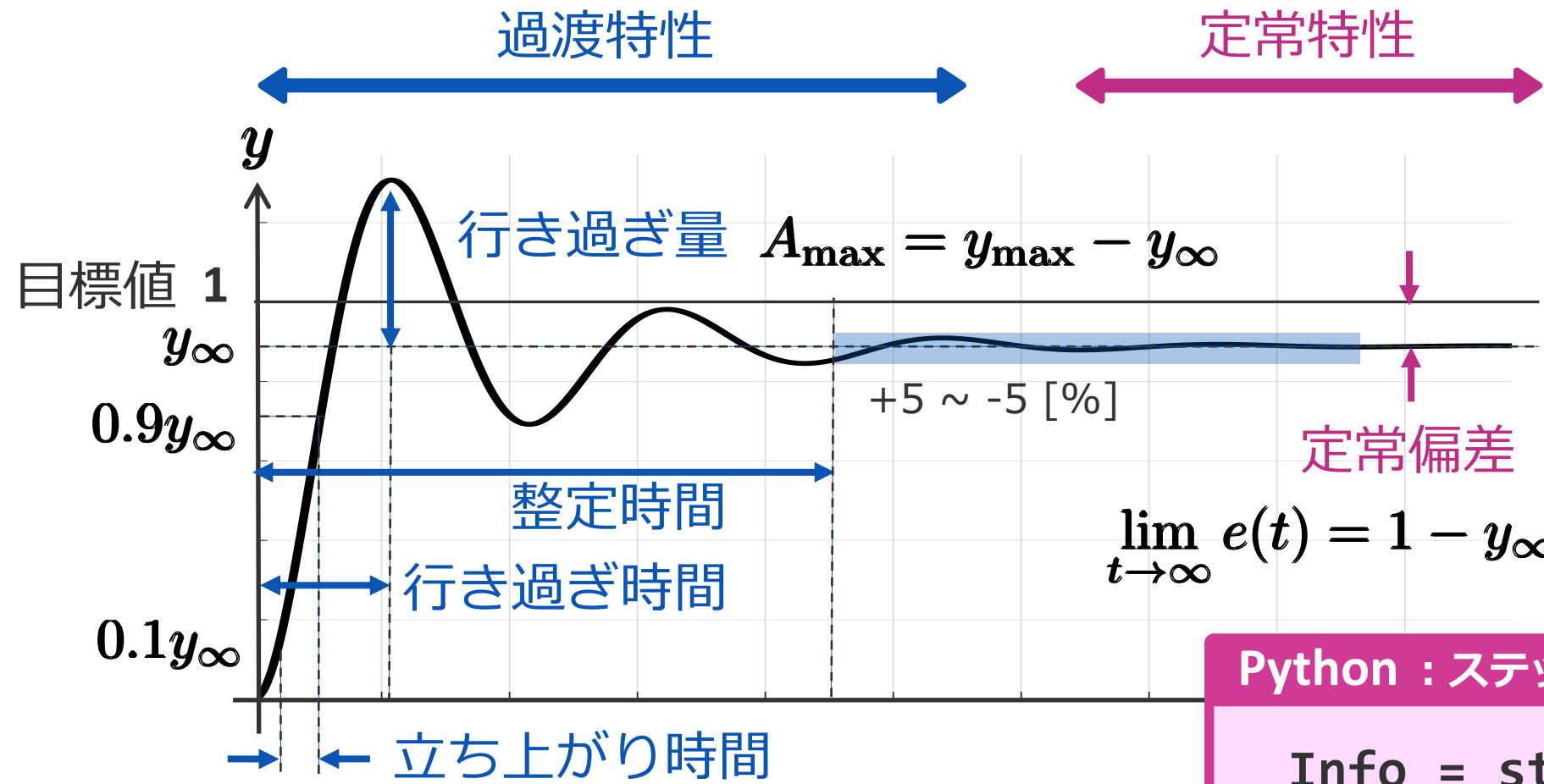
$$\begin{aligned}y(s) &= P(s)(d(s) + u(s)) \\&= P(s)d(s) + P(s)u(s) \\&= P(s)d(s) + P(s)C(s)e(s) \\&= P(s)d(s) + P(s)C(s)(r(s) - y(s))\end{aligned}$$

$$y(s) = \frac{P(s)}{1 + P(s)C(s)}d(s) + \frac{P(s)C(s)}{1 + P(s)C(s)}r(s) \quad u(s) = \frac{C(s)}{1 + P(s)C(s)}r(s) - \frac{P(s)C(s)}{1 + P(s)C(s)}d(s)$$



閉ループ系の時間応答

A) 時間応答 $G_{yr}(s)$ のステップ応答

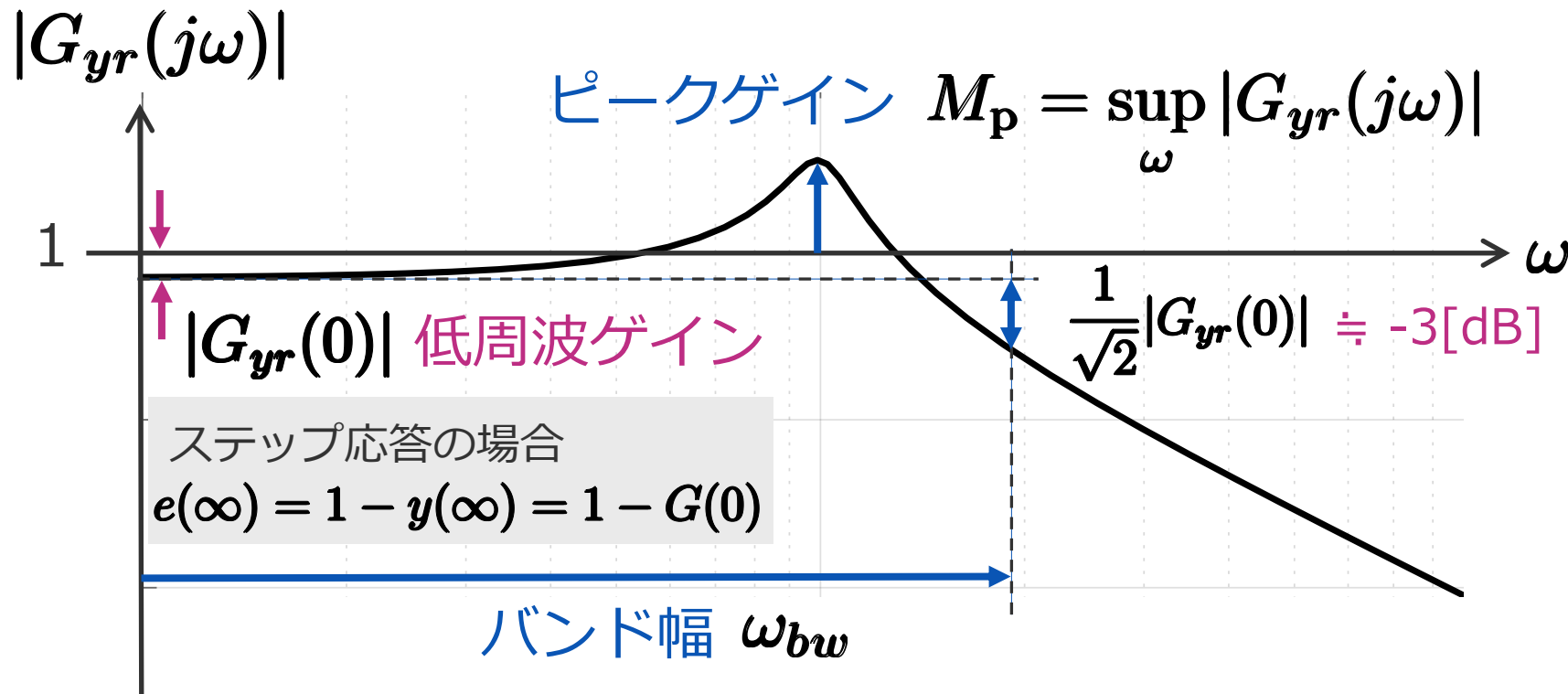


Python : ステップ応答の情報

Info = stepinfo(モデル)

閉ループ系の周波数応答

B) 周波数応答 $G_{yr}(j\omega)$ のゲイン線図



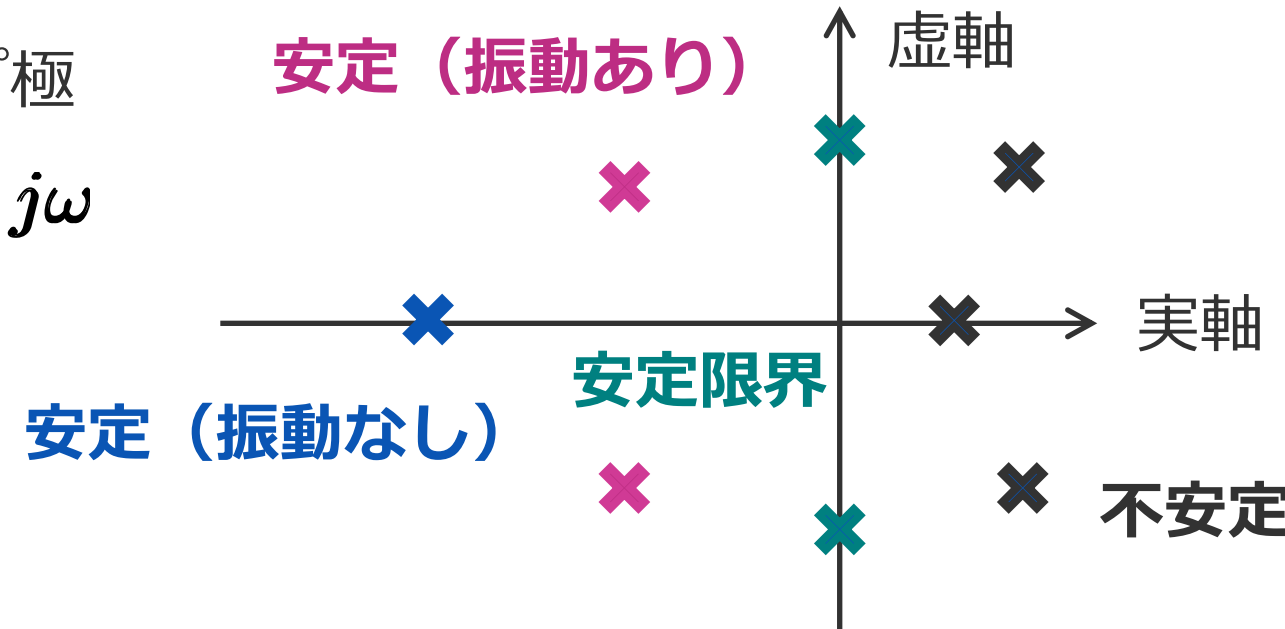
| | | | | | | | |
|------|----------------------------------|------|-----|----------------------|---|----|-----|
| 振幅表示 | $ G_{yr}(j\omega) $ | 0.01 | 0.1 | $\frac{1}{\sqrt{2}}$ | 1 | 10 | 100 |
| dB表示 | $20 \log_{10} G_{yr}(j\omega) $ | -40 | -20 | -3 | 0 | 20 | 40 |



閉ループ極

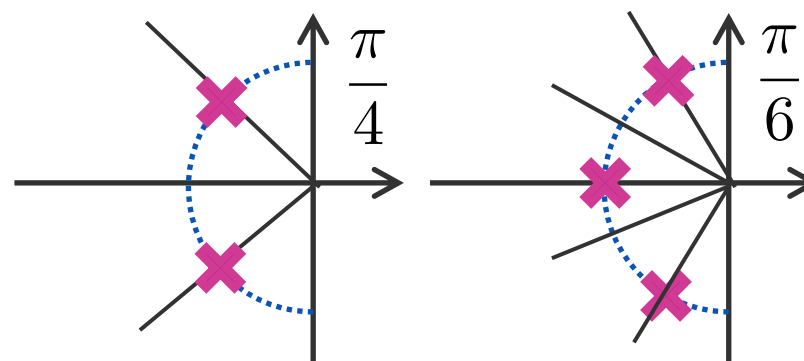
C) 閉ループ極

$$s = \sigma + j\omega$$

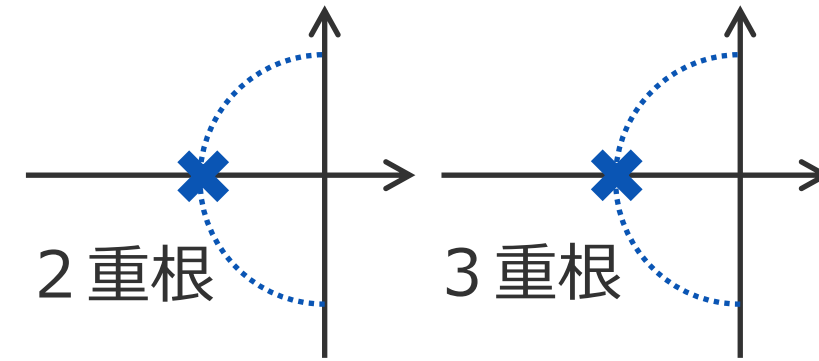


原点に近い極が支配的 → 主要極 主要極を仕様に合わせる

バターワース標準形



二項係数標準形





極と応答の関係

2次遅れ系 (安定, $0 < \zeta < 1$)

$$G_{yr}(s) = \frac{K\omega_n^2}{s^2 + 2\zeta\omega_n s + \omega_n^2}$$

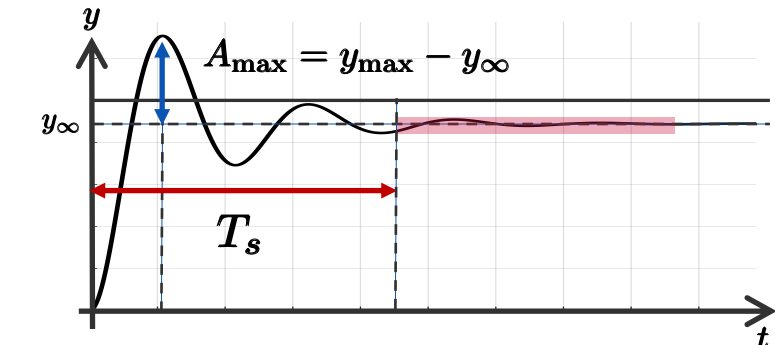
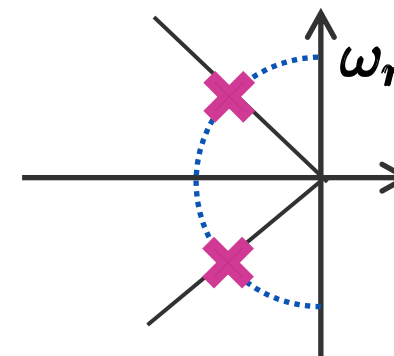
極 : $s = -\zeta\omega_n \pm j\omega_n\sqrt{1 - \zeta^2}$

定常値 : $y_\infty = K$

行き過ぎ量 : $A_{\max} = K \exp\left(-\frac{\pi\zeta}{\sqrt{1 - \zeta^2}}\right) = K \exp(-\pi) = 0.0432K$

極の実部と虚部の比 × (-π)

5%整定時間 : $T_s \simeq \frac{3}{\zeta\omega_n} \rightarrow \zeta\omega_n > \frac{3}{T_s}$ 極の実部が $-3/T_s$ より小さい



$$\zeta = \frac{1}{\sqrt{2}}$$

4.3%



極と応答の関係

2次遅れ系 (安定, $0 < \zeta < 1$)

$$G_{yr}(s) = \frac{K\omega_n^2}{s^2 + 2\zeta\omega_n s + \omega_n^2}$$

極 : $s = -\zeta\omega_n \pm j\omega_n\sqrt{1 - \zeta^2}$

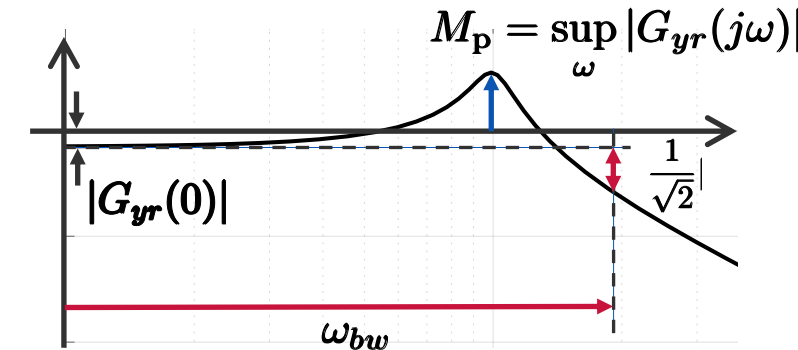
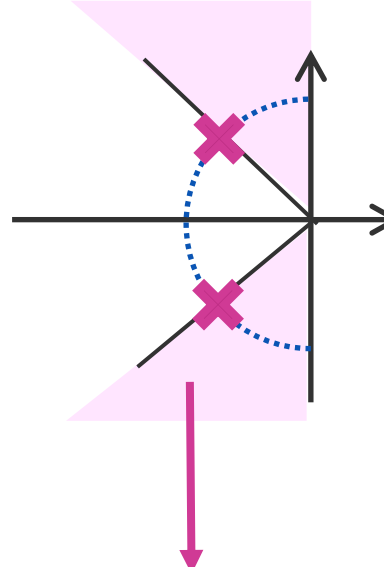
ピークゲイン : $M_p = \frac{1}{2\zeta\sqrt{1 - \zeta^2}}$ $0 < \zeta < \frac{1}{\sqrt{2}}$ $\omega_p = \omega_n\sqrt{1 - 2\zeta^2}$

減衰係数が小さいほど (極が虚軸に近いほど)
ピークゲインが大きい

バンド幅 : $\omega_{bw} \propto \omega_n$ $\omega_{bw} = \omega_n$ ($\zeta = 1/\sqrt{2}$)

$$|G_{yr}(j\omega_{bw})| = \frac{1}{\sqrt{2}}|G_{yr}(0)|$$

固有角周波数が大きいほど (極が原点から遠いほど)
バンド幅が大きい





閉ループ系の設計仕様

閉ループ系の設計仕様

1) 安定性 \rightarrow 内部安定

2) 速応性, 減衰性 (\div ロバスト安定性)

$\rightarrow G_{yr}$ のステップ応答において整定時間が小さい

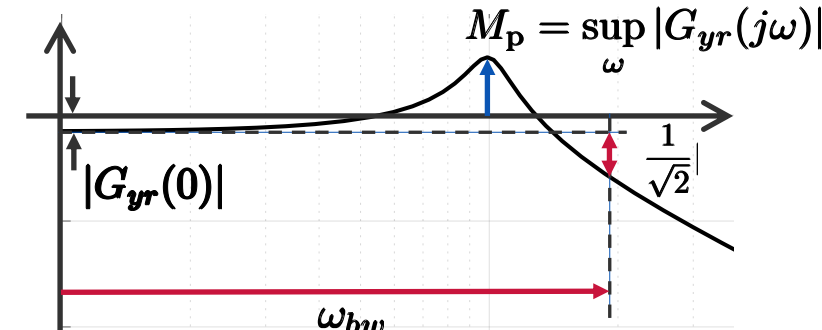
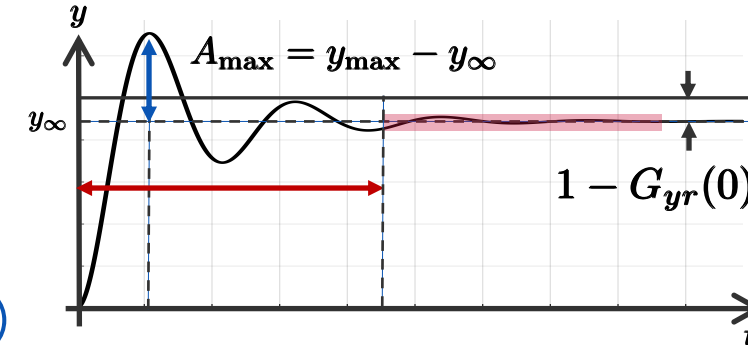
\rightarrow 行き過ぎ量（オーバーシュート）が小さい

$\rightarrow G_{yr}$ のゲイン線図：バンド幅が十分大きい

\rightarrow ピークゲイン $M_p = \sup_{\omega} |G_{yr}(j\omega)|$ が小さい

3) 定常偏差

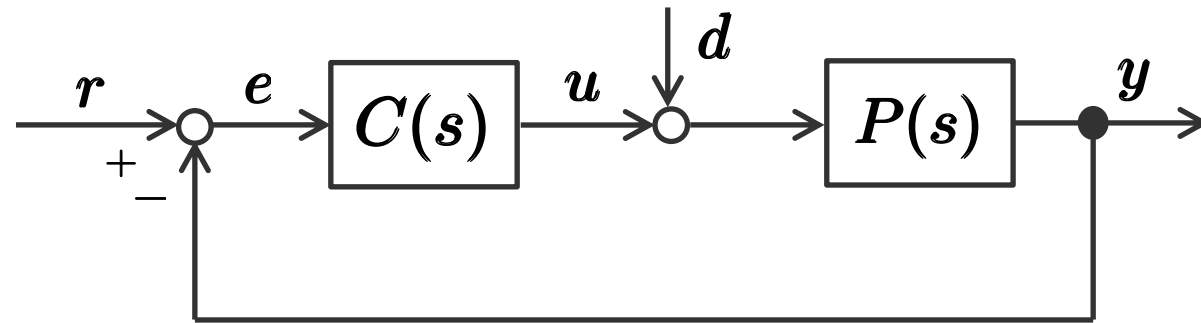
$\rightarrow |G_{yr}(0)| = 1$





Python演習 3

フィードバック系の安定性と応答特性



$$P(s) = \frac{1}{s^2 + s + 1} \quad C(s) = \frac{2s^2 + 10s + 3}{s} \quad C = \frac{k_D s^2 + k_P s + k_I}{s}$$

のとき、フィードバック系の内部安定性をチェックせよ。また、

$$G_{yr}(s) = \frac{P(s)C(s)}{1 + P(s)C(s)}$$

のステップ応答と周波数応答のグラフを描け

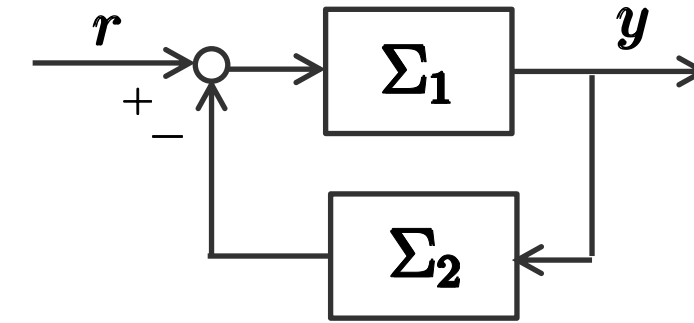


Python演習 3

フィードバック系の内部安定性

```
from control.matlab import *
P = tf([0, 1], [1, 1, 1])
C = tf([2, 10, 3], [1, 0])
P(s) =  $\frac{1}{s^2 + s + 1}$ 
C(s) =  $\frac{2s^2 + 10s + 3}{s}$ 
Gyr = feedback(P*C, 1)
print(Gyr.pole())
Gud = -feedback(1, P*C)
print(Gud.pole())
Gyd = minreal(P*feedback(1, P*C))
print(Gyd.pole())
#Gur = C*feedback(1, P*C) #インプロパー
#print(Gud.pole())
```

特性多項式の根を計算する →



$G_{yr} = \text{feedback}(\Sigma_1, \Sigma_2)$
 $\minreal(P*C/(1+P*C))$

$[[N_p]], [[D_p]] = \text{tfdata}(P)$ 分子・分母多項式の
 $[[N_c]], [[D_c]] = \text{tfdata}(C)$ 係数を取得

f1 = np.poly1d(Np)
f2 = np.poly1d(Nc)
g1 = np.poly1d(Dp)
g2 = np.poly1d(Dc)

多項式の生成
print(np.roots(f1*f2 + g1*g2))



Python演習 3

フィードバック系の応答特性（ステップ応答）

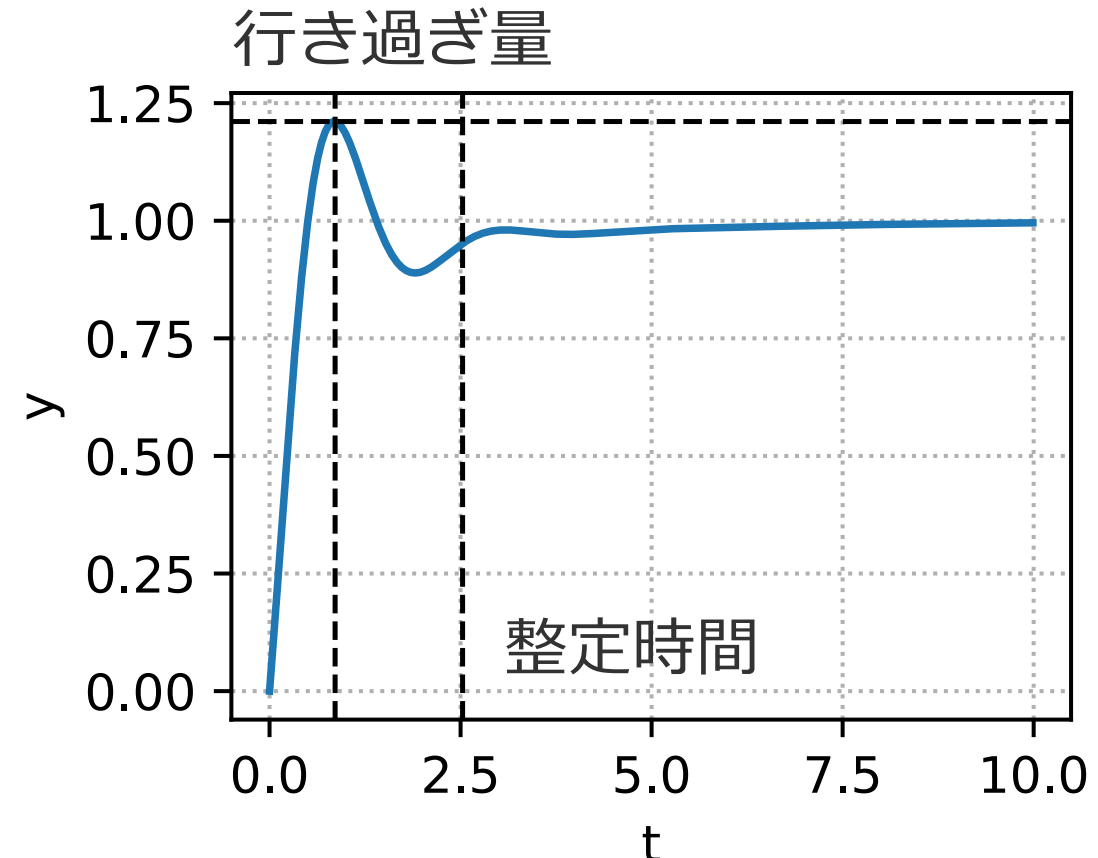
```
from control.matlab import *
from matplotlib import pyplot as plt

P = tf([0, 1],[1, 1 ,1])
C = tf([2, 10, 3],[1, 0])

Gyr = feedback(P*C, 1)

y,t = step(Gyr, np.arange(0, 10, 0.01))
fig, ax = plt.subplots(figsize=(3, 2.3))
ax.plot(t,y)
ax.set_xlabel('t')
ax.set_ylabel('y')
ax.grid(ls=':')
```

```
Info = stepinfo(Gyr, SettlingTimeThreshold=0.05)
print(Info)
```





Python演習 3

フィードバック系の応答特性（周波数応答）

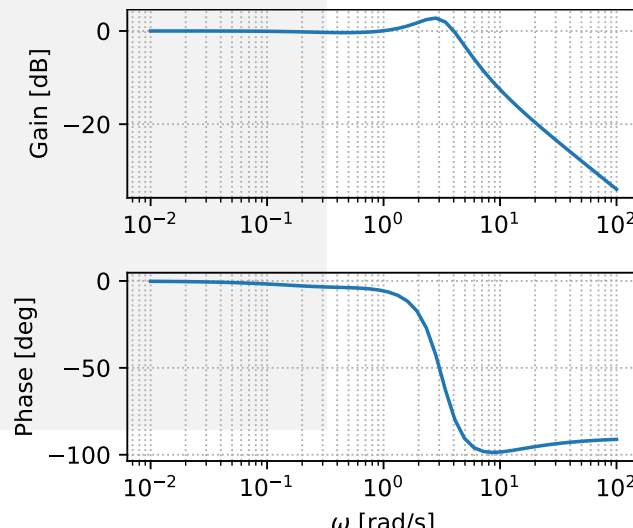
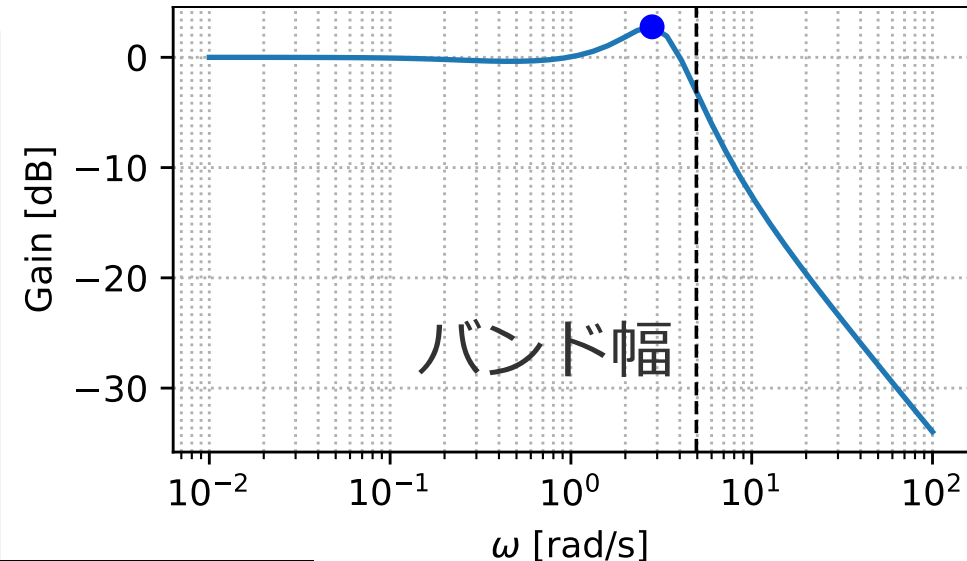
```
P = tf([0, 1],[1, 1 ,1])
C = tf([2, 10, 3],[1, 0])
Gyr = feedback(P*C, 1)

gain, phase, w = bode(Gyr, logspace(-2,2), Plot=False)

fig, ax = plt.subplots(2,1, figsize=(4, 3.5))
ax[0].semilogx(w, 20*np.log10(gain))
ax[1].semilogx(w, phase*180/np.pi)

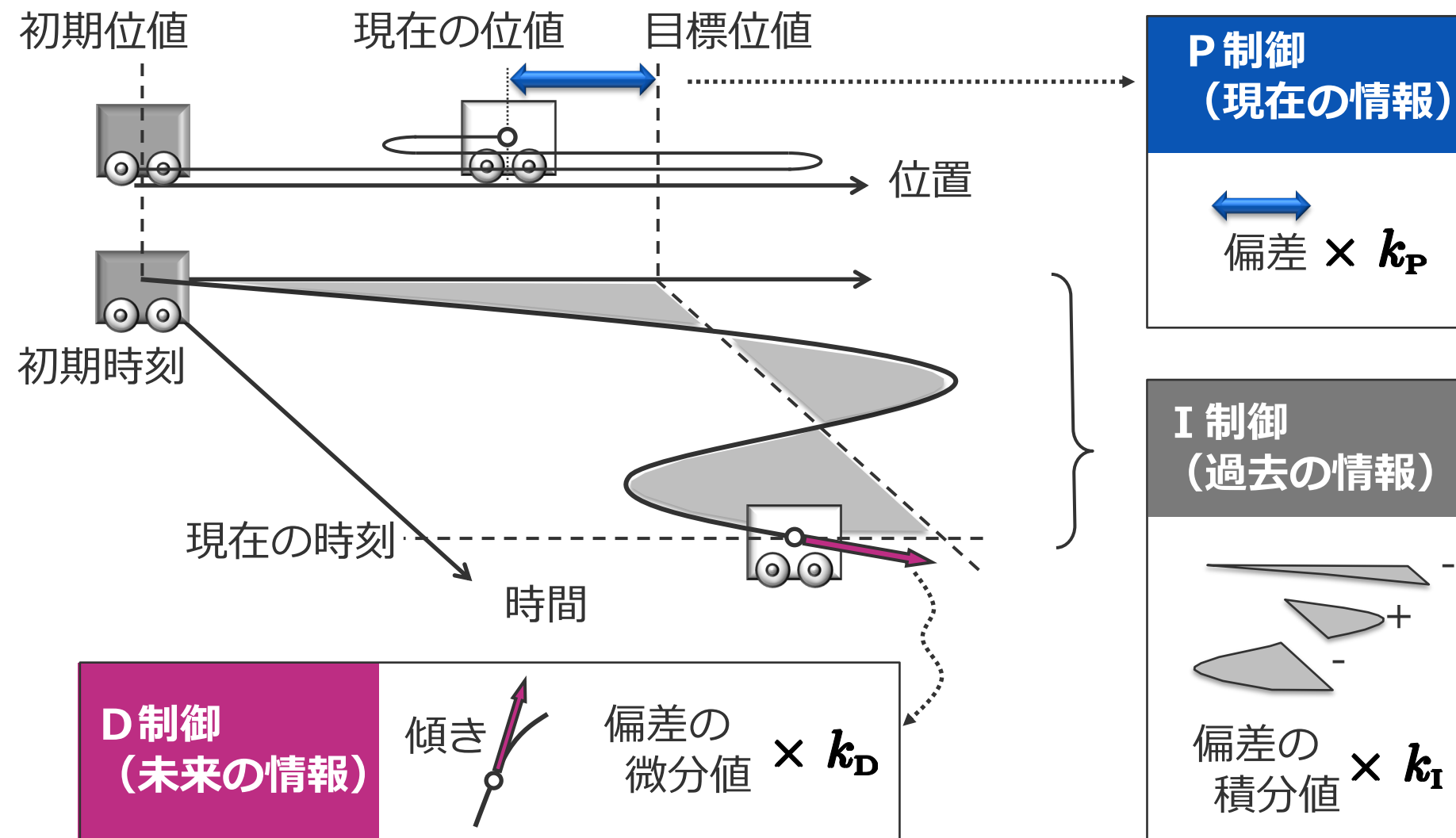
ax[0].grid(which="both", ls=':')
ax[0].set_ylabel('Gain [dB]')
ax[1].grid(which="both", ls=':')
ax[1].set_xlabel('$\omega$ [rad/s]')
ax[1].set_ylabel('Phase [deg]')
fig.tight_layout()
```

ピークゲイン



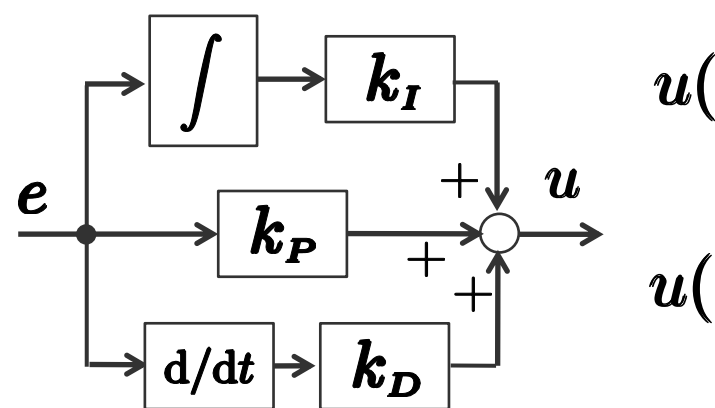
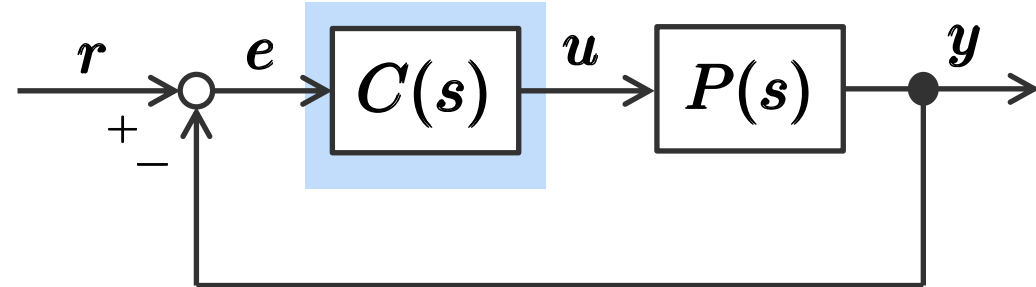


PID制御





PID制御



$$u(t) = k_P e(t) + k_I \int_0^t e(t) dt + k_D \frac{d}{dt} e(t)$$

$$u(s) = C(s)e(s) \quad C(s) = k_P + \frac{k_I}{s} + k_D s$$

P I D

Proportional

P制御：速応性に寄与

Integral

I制御：定常偏差改善，位相が遅れる

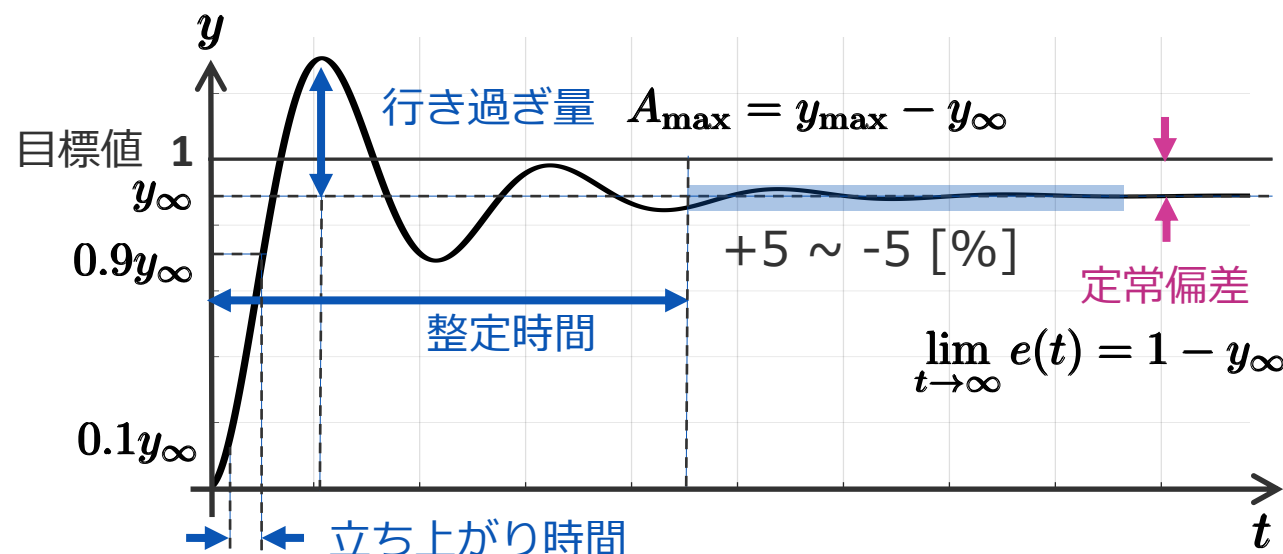
Derivative

D制御：位相が進む，ノイズに敏感



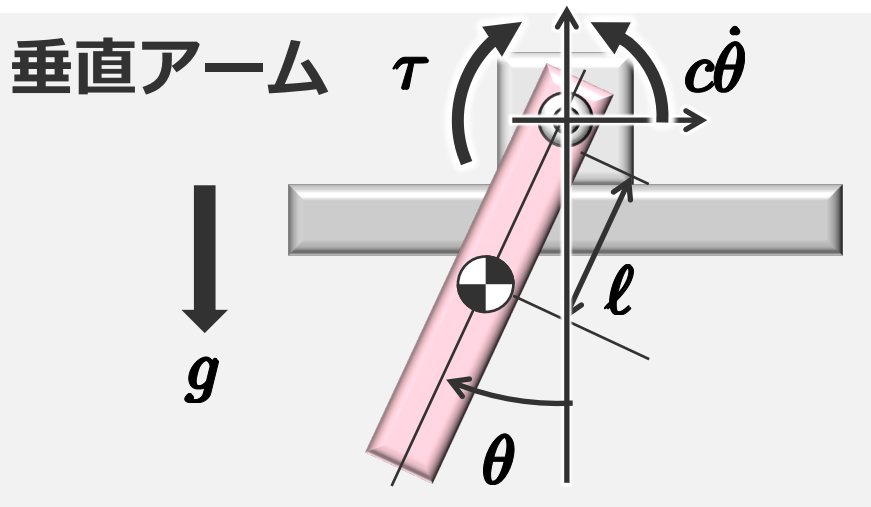
PID制御

| | 立ち上がり時間 オーバーシュート | 整定時間 | 定常偏差 |
|-----|------------------|-------|-------------|
| P制御 | 小さくなる | 大きくなる | あまり変わらない |
| I制御 | 小さくなる | 大きくなる | 小さくなる(零になる) |
| D制御 | あまり変わらない | 小さくなる | 変わらない |



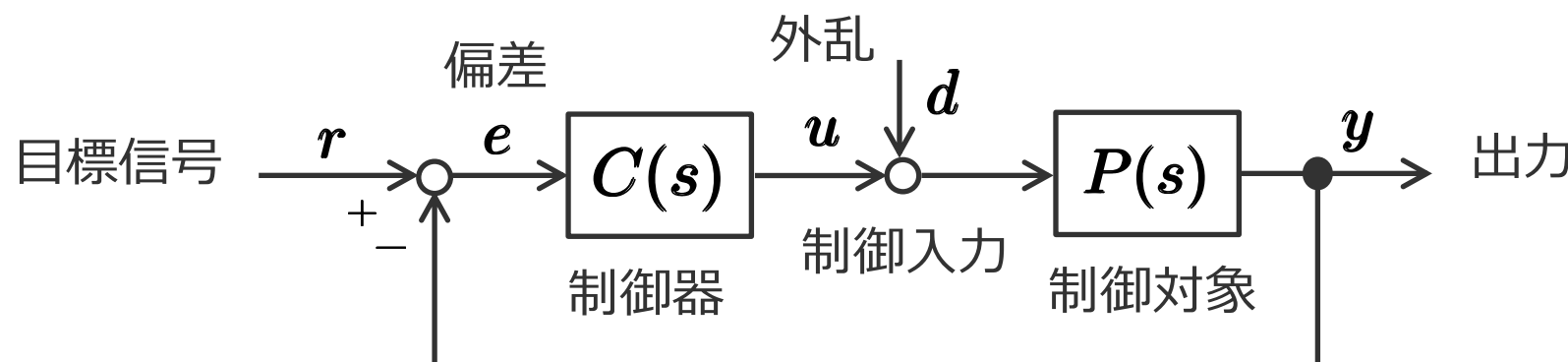


垂直アームのPID制御



$$P(s) = \frac{1}{Js^2 + cs + mgl}$$

```
g = 9.81      # 重力加速度[m/s^2]
l = 0.2       # アームの長さ[m]
m = 0.5       # アームの質量[kg]
c = 1.5e-2    # 粘性摩擦係数
J = 1.0e-2    # 慣性モーメント
```



目標値追従

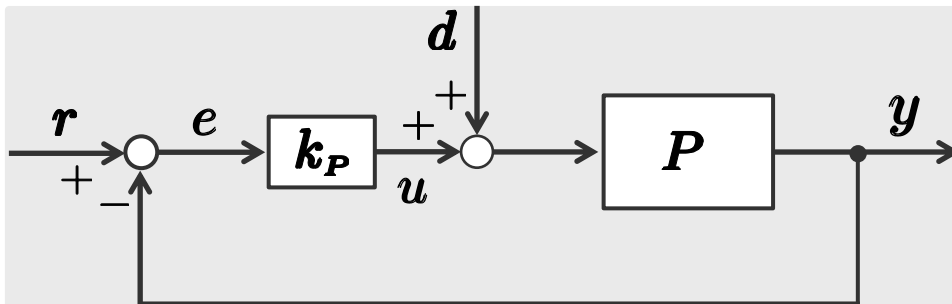
$$G_{yr}(s) = \frac{P(s)C(s)}{1 + P(s)C(s)}$$

外乱抑制

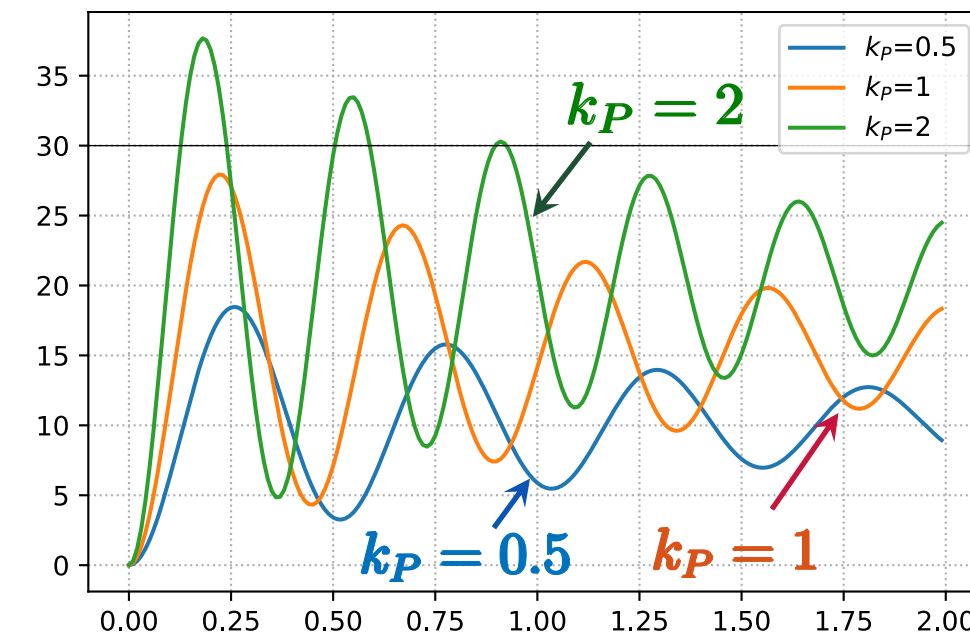
$$G_{yd}(s) = \frac{P(s)}{1 + P(s)C(s)}$$



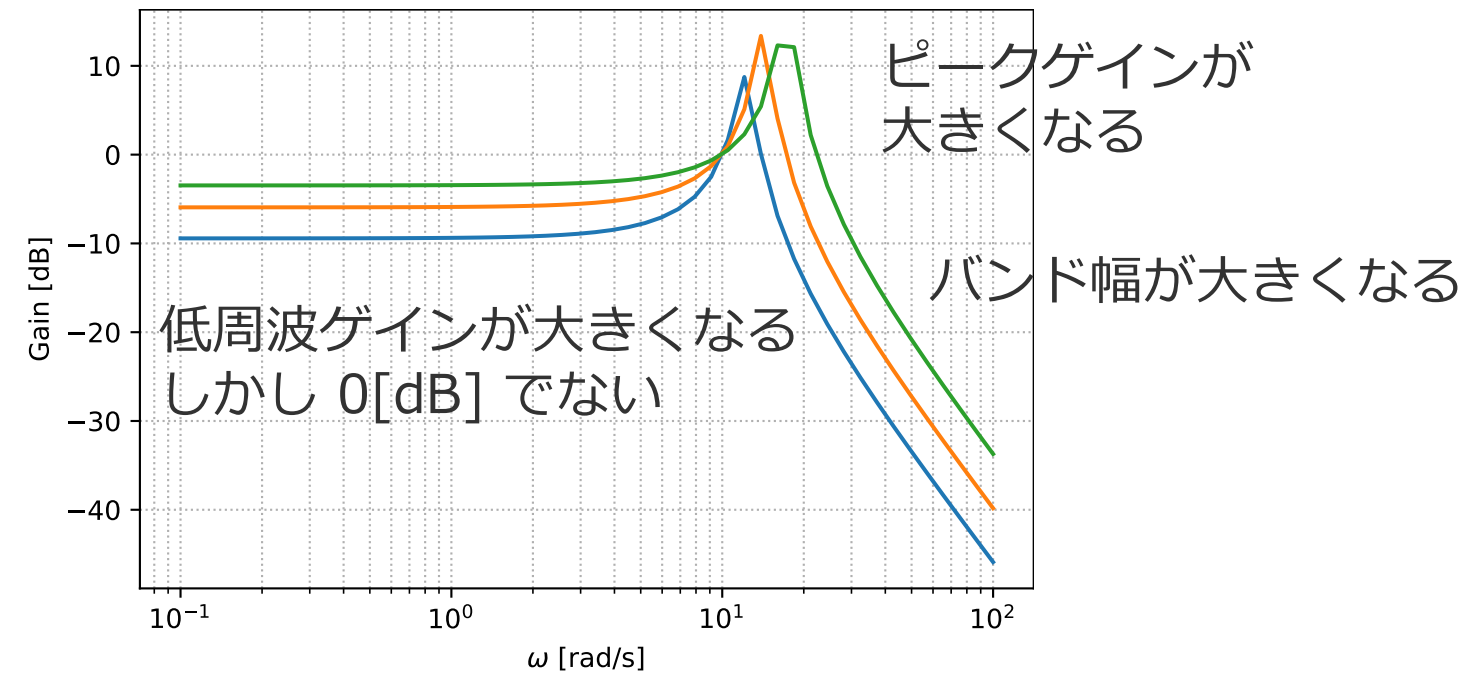
P制御



$$P(s) = \frac{1}{Js^2 + cs + mgl}$$
$$C(s) = k_P$$



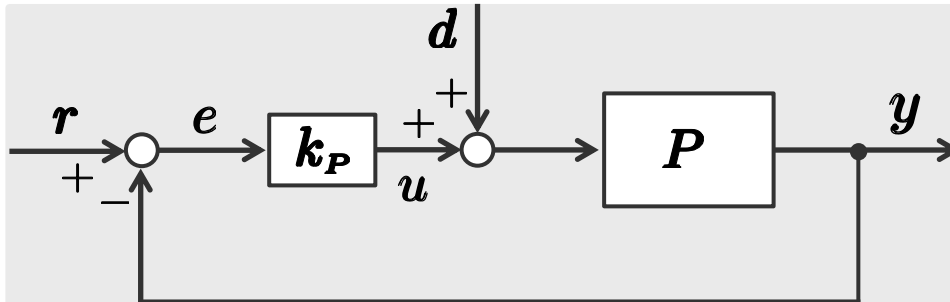
k_P を大きくすると,
立ち上がりが速くなるが、振動的になる。また、定常偏差が小さくなる



ピークゲインが
大きくなる
バンド幅が大きくなる



P制御



$$P(s) = \frac{1}{Js^2 + cs + mgl}$$
$$C(s) = k_P$$

$$G_{yr}(s) = \frac{P(s)k_P}{1 + P(s)k_P} = \frac{k_P}{Js^2 + cs + mgl + k_P} = \frac{K\omega_n^2}{s^2 + 2\zeta\omega_n s + \omega_n^2}$$

$$\omega_n = \sqrt{\frac{mgl + k_P}{J}} \quad \zeta = \frac{c}{2\sqrt{J(mgl + k_P)}} \quad K = \frac{k_P}{mgl + k_P}$$

$$s = \frac{-c \pm \sqrt{c^2 - 4J(mgl + k_P)}}{2J}$$

k_P を大きくすると、応答は速くなるが、振動的になる

速応性と減衰性を同時に改善できない

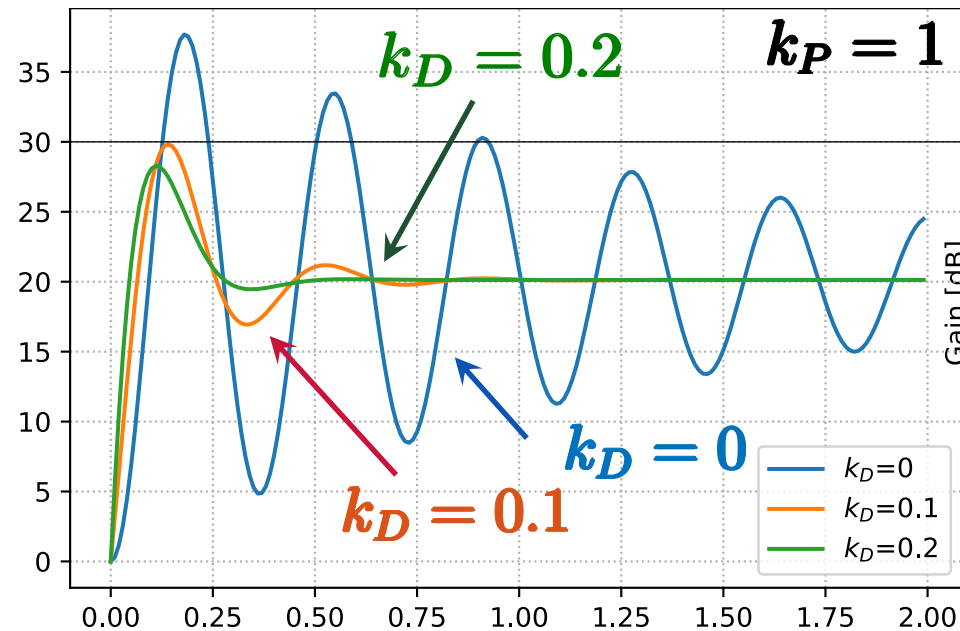
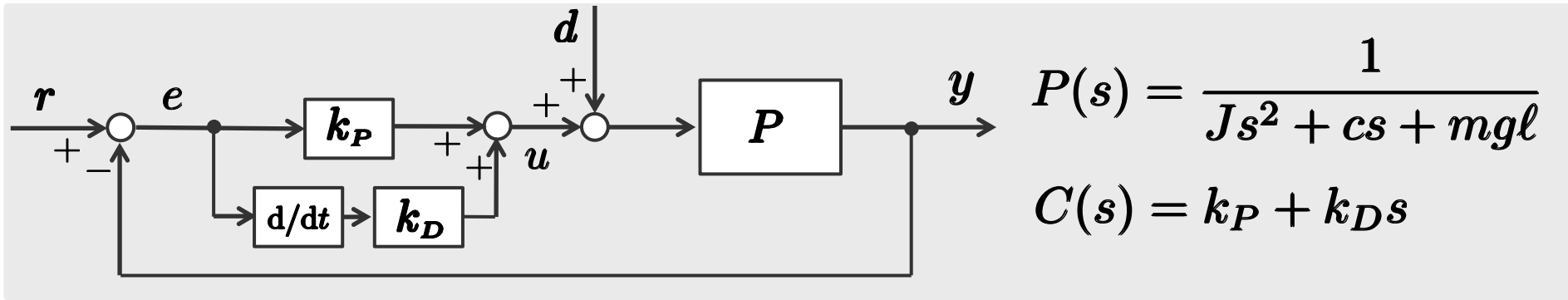
$G_{yr}(0) = K \neq 1$ なので、定常偏差が残る

最終値の定理

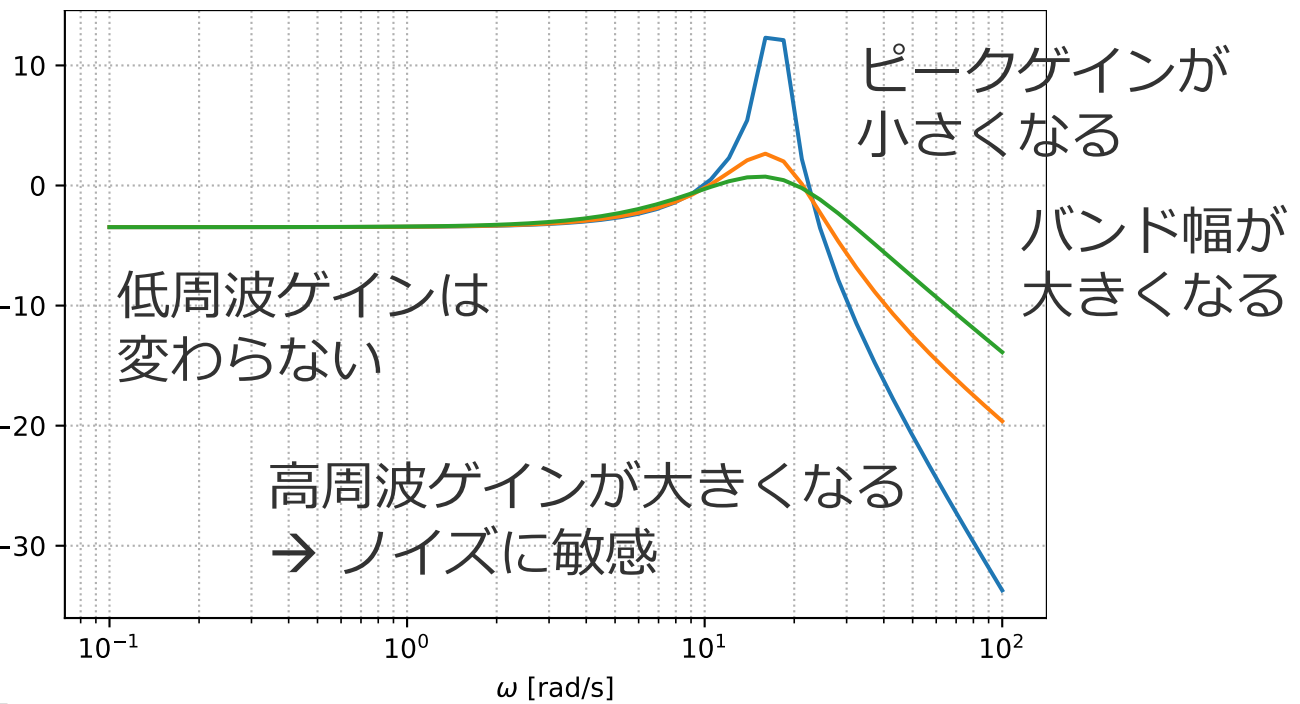
$$y(\infty) = \lim_{s \rightarrow 0} G_{yr}(s)$$



PD制御

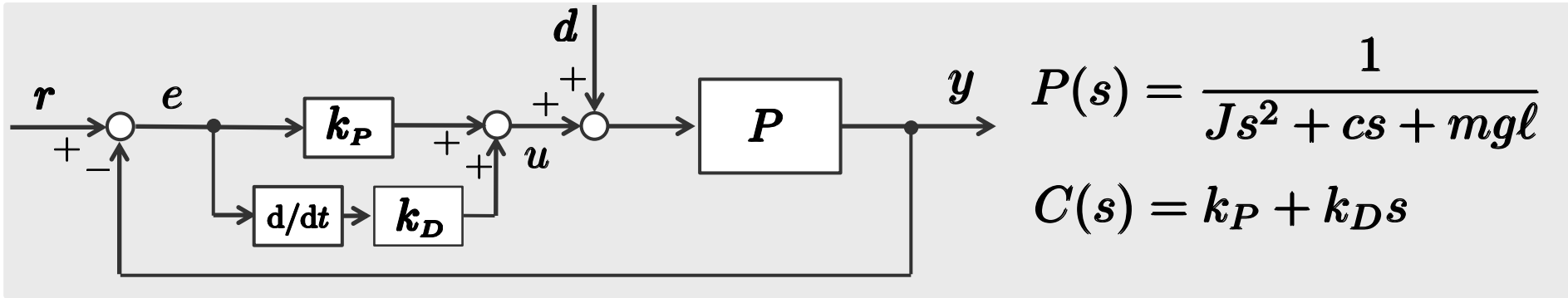


k_D を大きくすると、振動が抑えられる
しかし、定常偏差は残る





PD制御



$$G_{yr}(s) = \frac{P(s)(k_P + k_Ds)}{1 + P(s)(k_P + k_Ds)} = \frac{k_Ds + k_P}{Js^2 + (c + k_D)s + mgl + k_P}$$

$$G_{yr}(0) = \frac{k_P}{mgl + k_P} \neq 1 \quad G_{yr}(0) = K \neq 1 \text{ なので, 定常偏差が残る}$$

極 $s = \frac{-(c + k_D) \pm \sqrt{(c + k_D)^2 - 4J(mgl + k_P)}}{2J}$

零点 $s = -\frac{k_P}{k_D}$

速応性と減衰性を同時に改善できる！



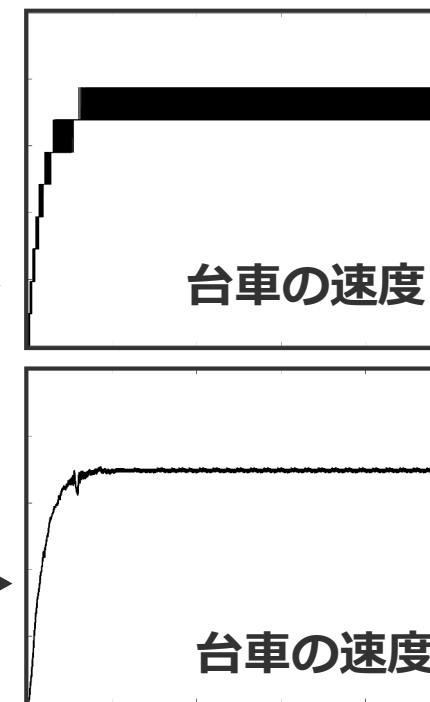
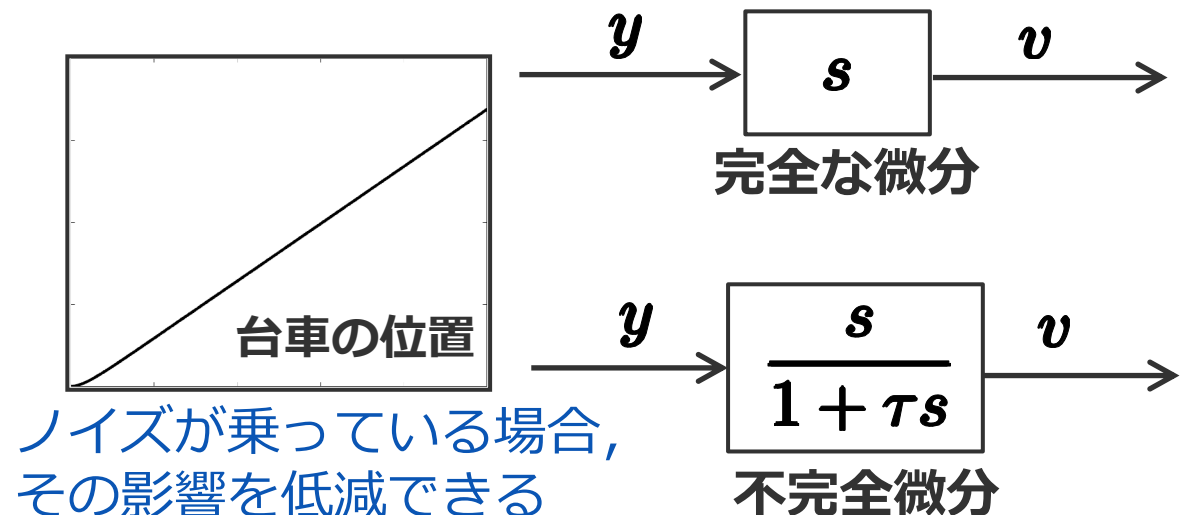
【補足】 不完全微分

PD制御では、偏差の微分情報を用いている
しかし、完全な微分を実現することは困難である

$C(s) = k_P + k_D s$ はプロパーでない

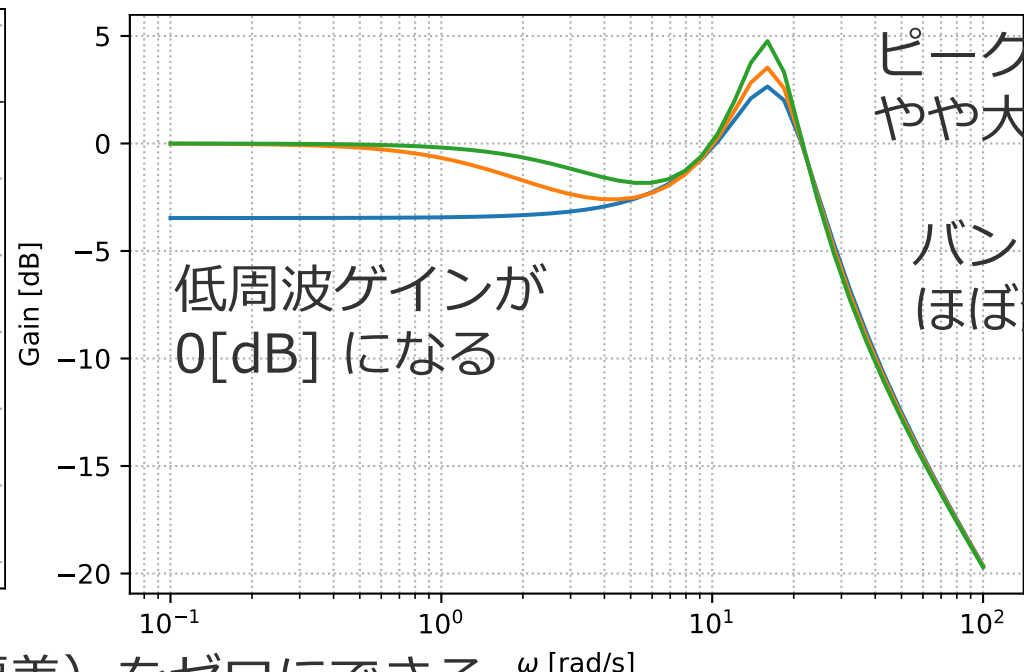
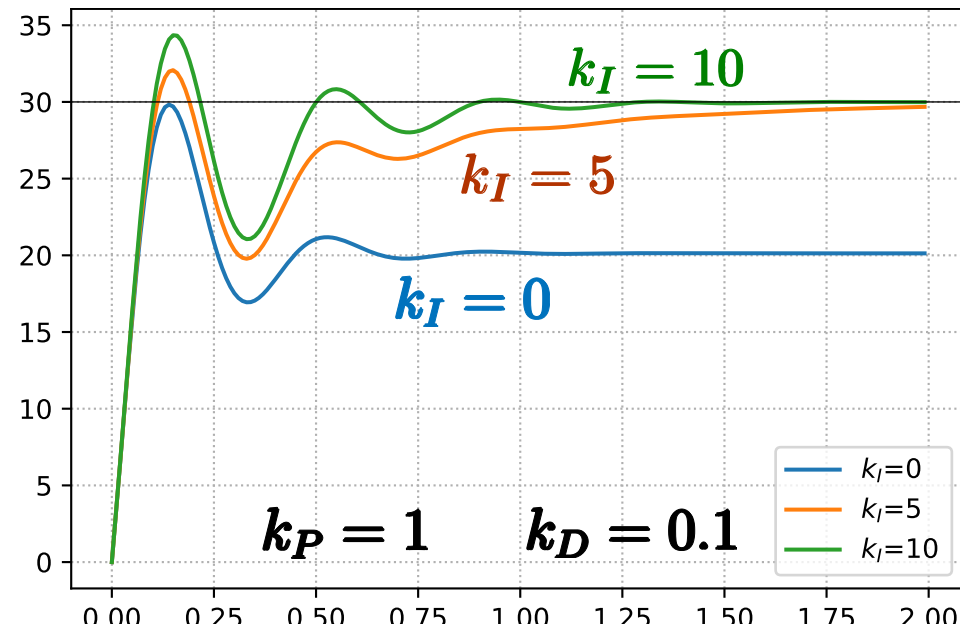
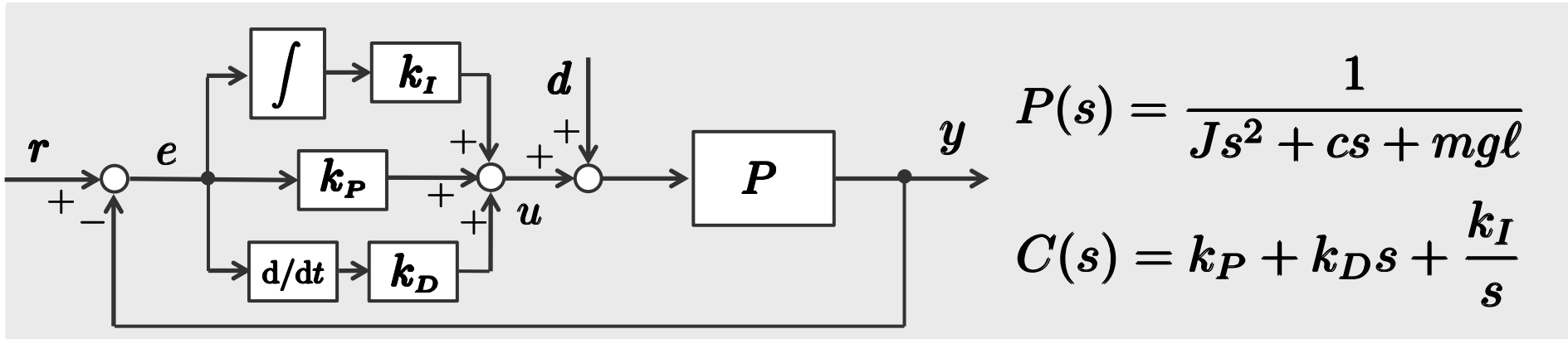
→ 実際は、1次のフィルタを付加した
不完全微分が用いられる

$$s \rightarrow \frac{s}{1 + \tau s}$$





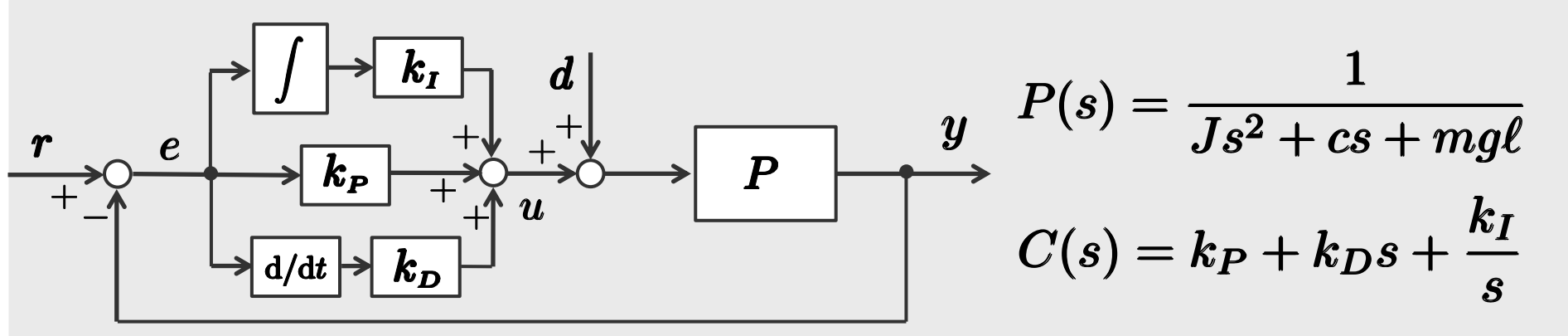
PID制御



定常偏差（ステップ目標値に対する偏差）をゼロにできる
しかし、 k_I を大きくすると振動的になる



PID制御



$$G_{yr}(s) = \frac{P(s) \frac{k_I + k_P s + k_D s^2}{s}}{1 + P(s) \frac{k_I + k_P s + k_D s^2}{s}} = \frac{k_D s^2 + k_P s + k_I}{J s^3 + (c + k_D) s^2 + (mgl + k_P) s + k_I}$$

$G_{yr}(0) = 1 \rightarrow$ 定常偏差がゼロ！

速応性と減衰性を同時に改善できる！

$$G_{yd}(s) = \frac{P(s)}{1 + P(s) \frac{k_I + k_P s + k_D s^2}{s}} = \frac{s}{J s^3 + (c + k_D) s^2 + (mgl + k_P) s + k_I}$$

$G_{yd}(0) = 0 \rightarrow$ 定値外乱があっても、偏差がゼロになる！

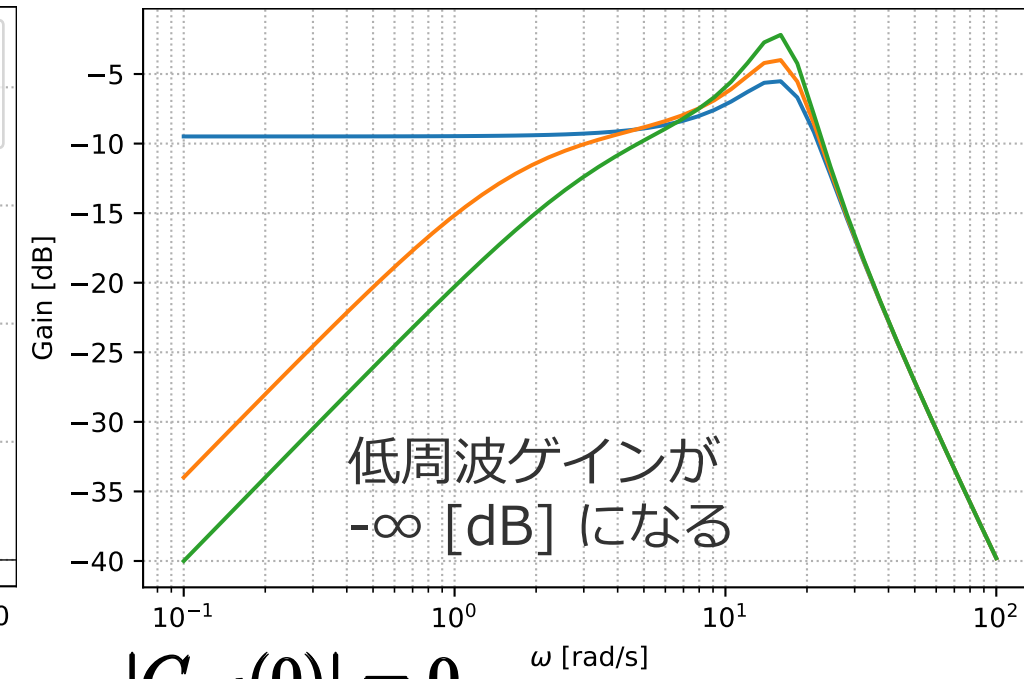
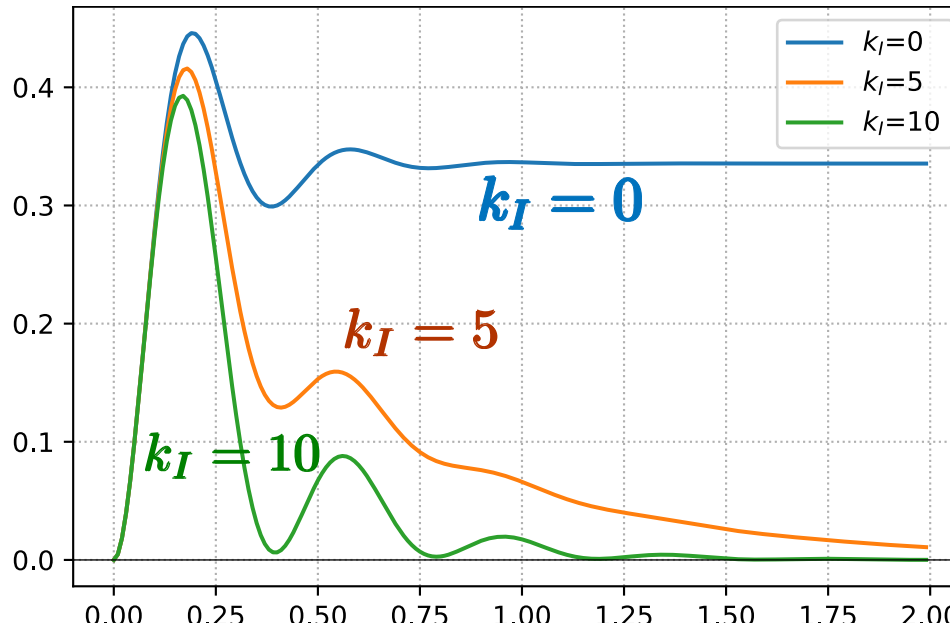


PID制御

定值外乱の抑制特性

$$G_{yd}(s) = \frac{s}{Js^3 + (c + k_D)s^2 + (mgl + k_P)s + k_I}$$

$$k_P = 1 \quad k_D = 0.1$$



$$|G_{yd}(0)| = 0$$

I制御によって、外乱抑制が可能

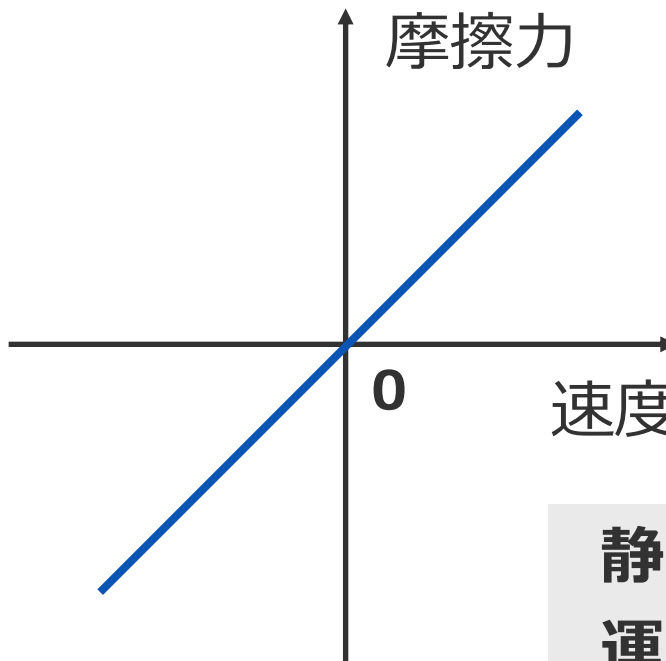


【補足】 現実の定值外乱

線形摩擦

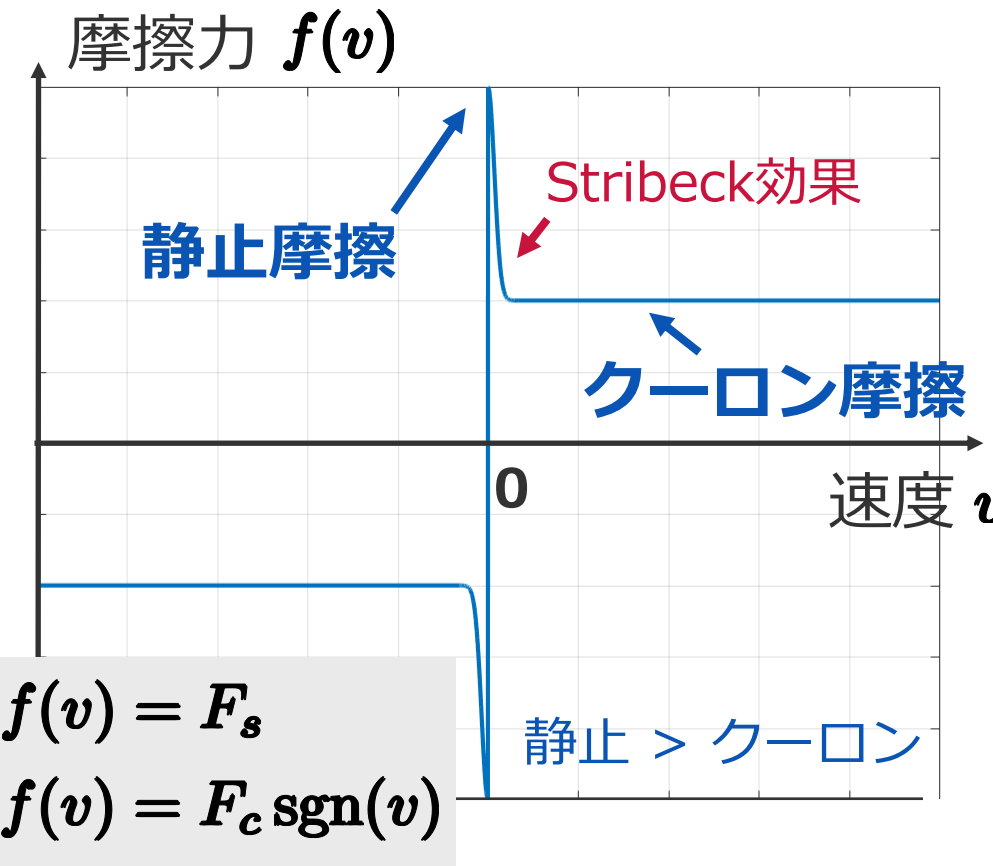
→ モデルに組み込まれている

粘性摩擦



非線形摩擦 → 定值外乱の例

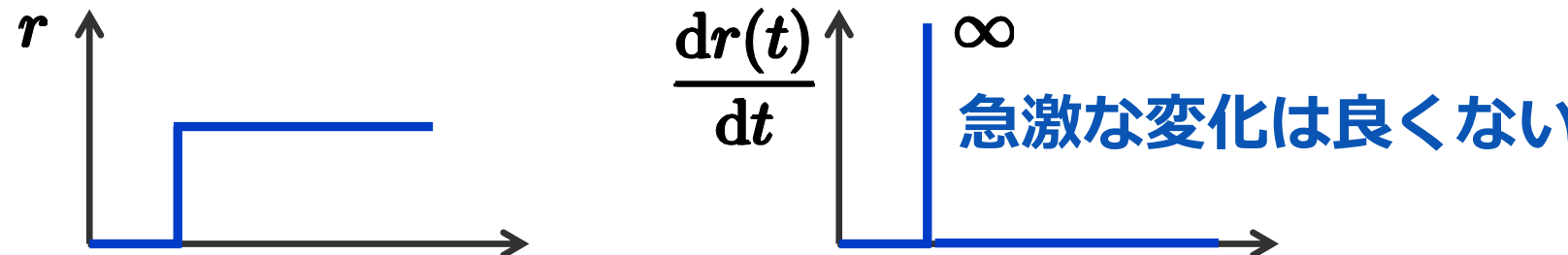
$$f(v) = \left(F_c + (F_s - F_c)e^{-(v/v_s)^2} \right) \operatorname{sgn}(v)$$





2 自由度制御系 (PI-D制御)

PID制御では、偏差の微分情報を利用する
ステップ上に変化する目標値を微分すると∞の値となる
(不完全微分を用いても、その値は過大になる)
→ 制御入力が過大になる



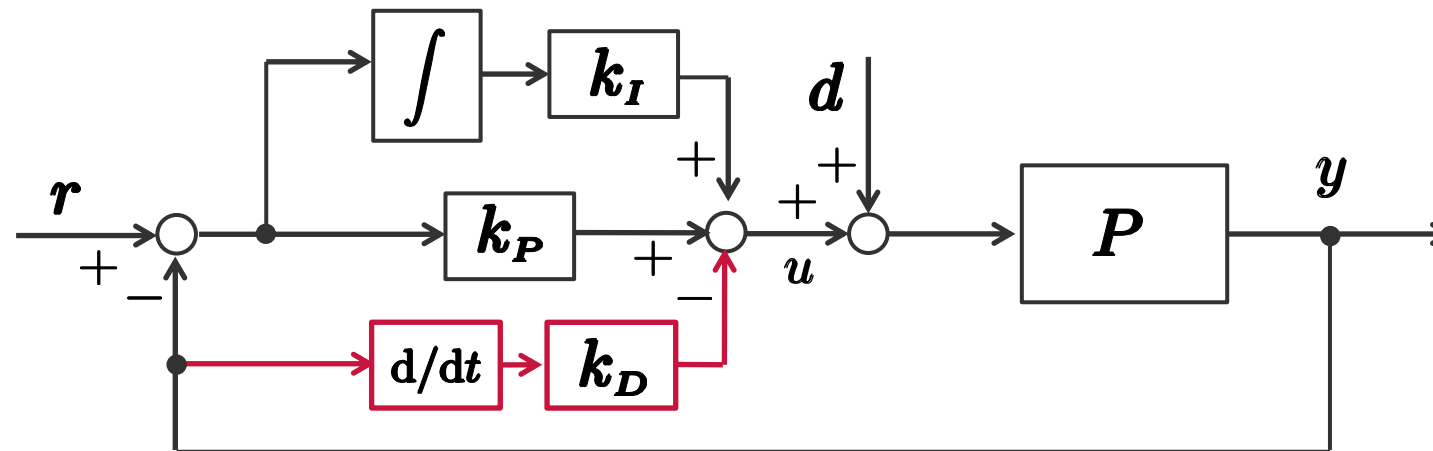
→ 解決策：目標値の微分情報を使わない！

$$\frac{de(t)}{dt} = \frac{dr(t)}{dt} - \frac{dy(t)}{dt} \quad \rightarrow \quad -\frac{dy(t)}{dt}$$



2 自由度制御系 (PI-D制御)

微分先行型PID制御 (PI-D制御)



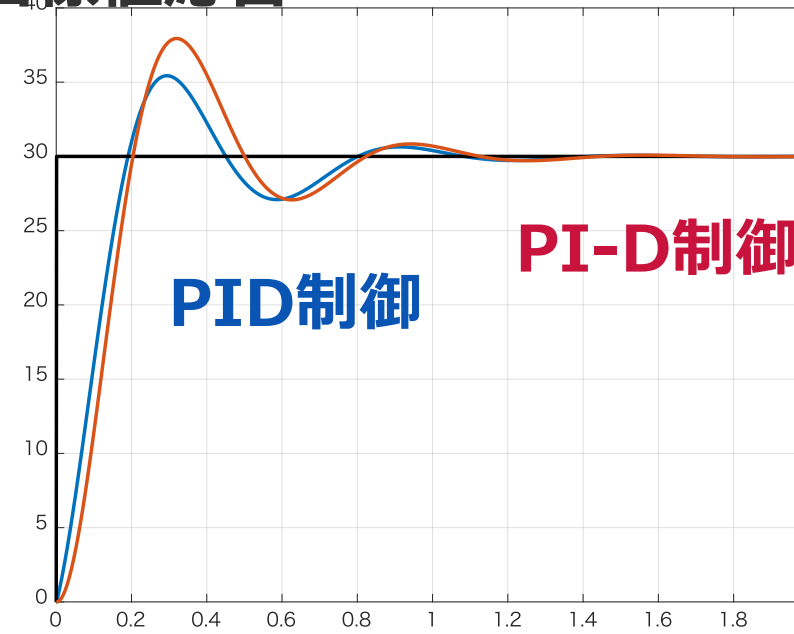
→ 解決策：目標値の微分情報を使わない！

$$\frac{de(t)}{dt} = \frac{dr(t)}{dt} - \frac{dy(t)}{dt} \quad \rightarrow \quad -\frac{dy(t)}{dt}$$

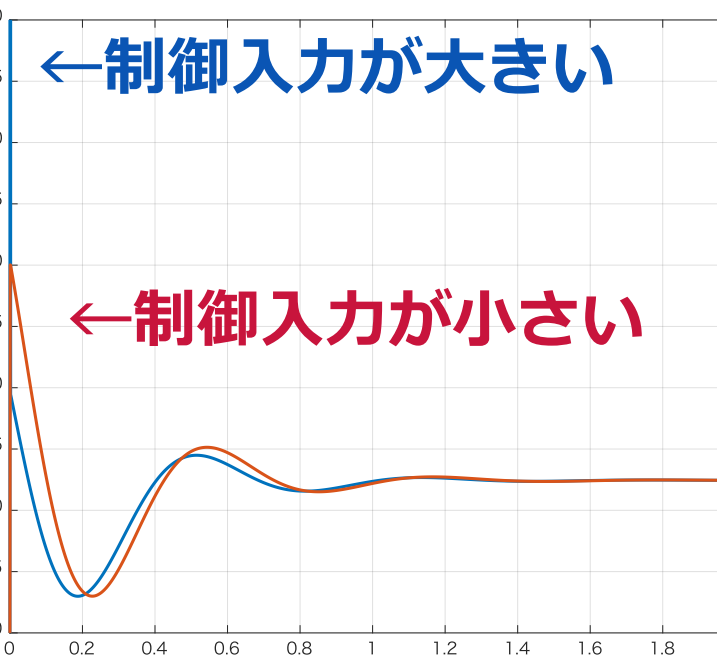
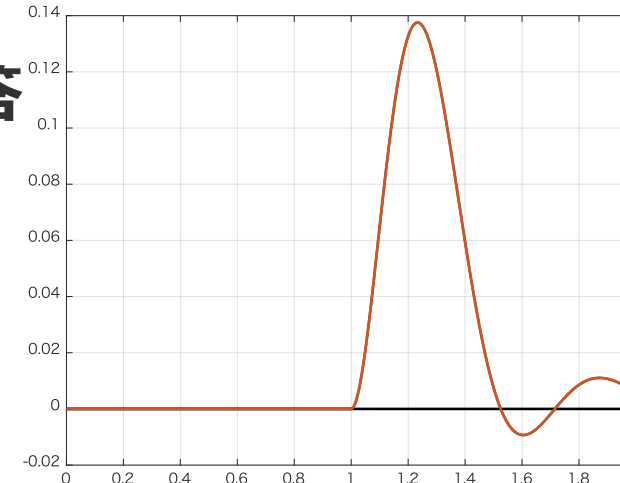


2自由度制御系 (PI-D制御)

目標値応答



外乱抑制応答



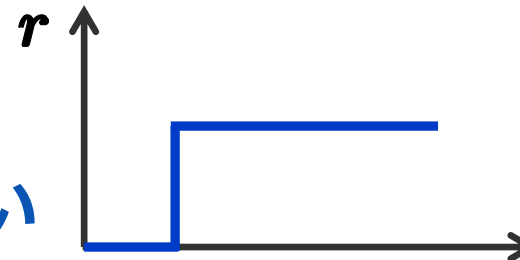
PID制御とPI-D制御は同じ



2自由度制御系 (I-PD制御)

同様に. . . ステップ目標値も良くない？

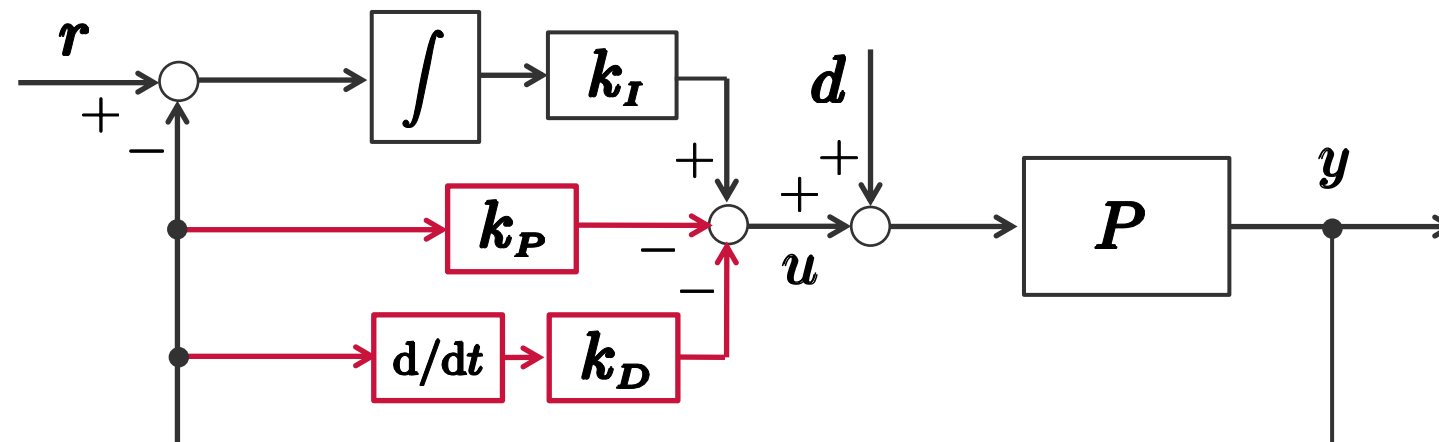
急激な変化は良くない



→ 解決策：P制御において、目標値の情報を使わない！

$$e(t) = r(t) - y(t) \quad \rightarrow \quad -y(t)$$

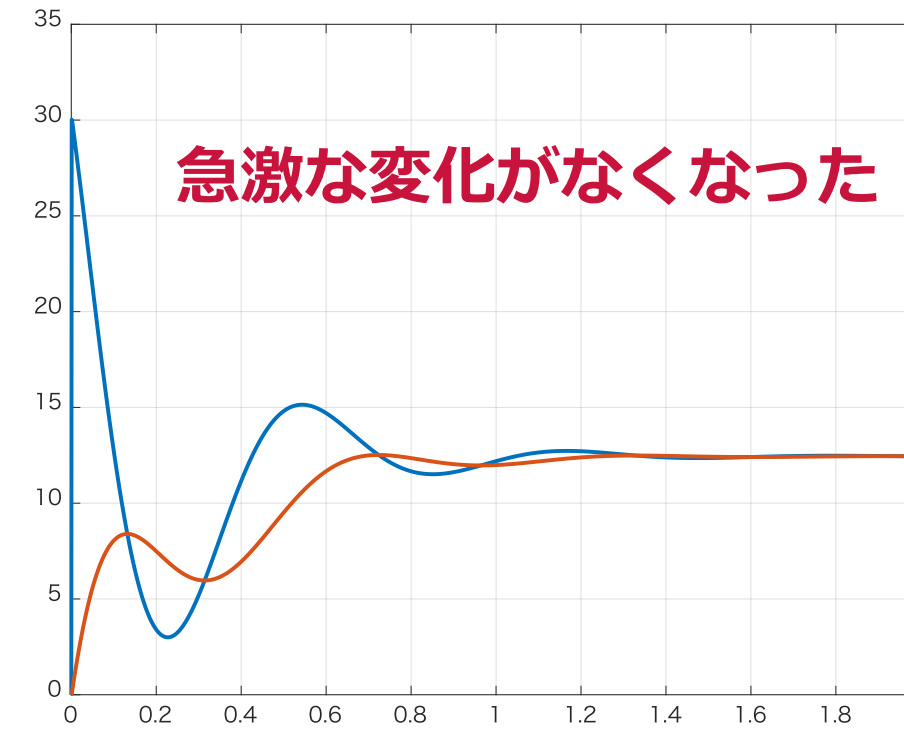
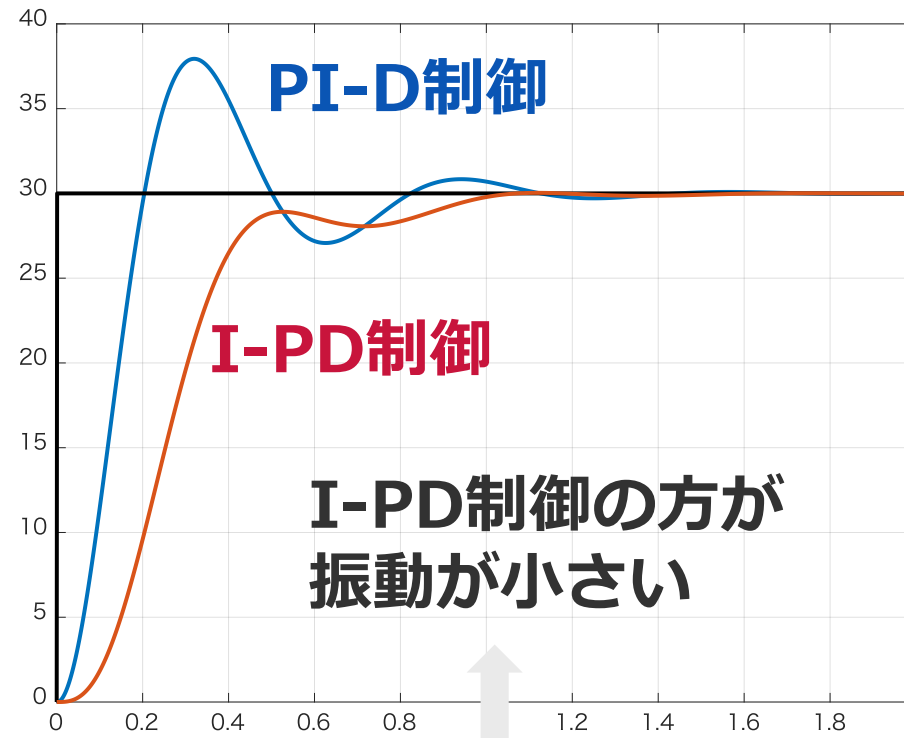
比例
微分
先行型
PID制御





2自由度制御系 (I-PD制御)

目標値応答



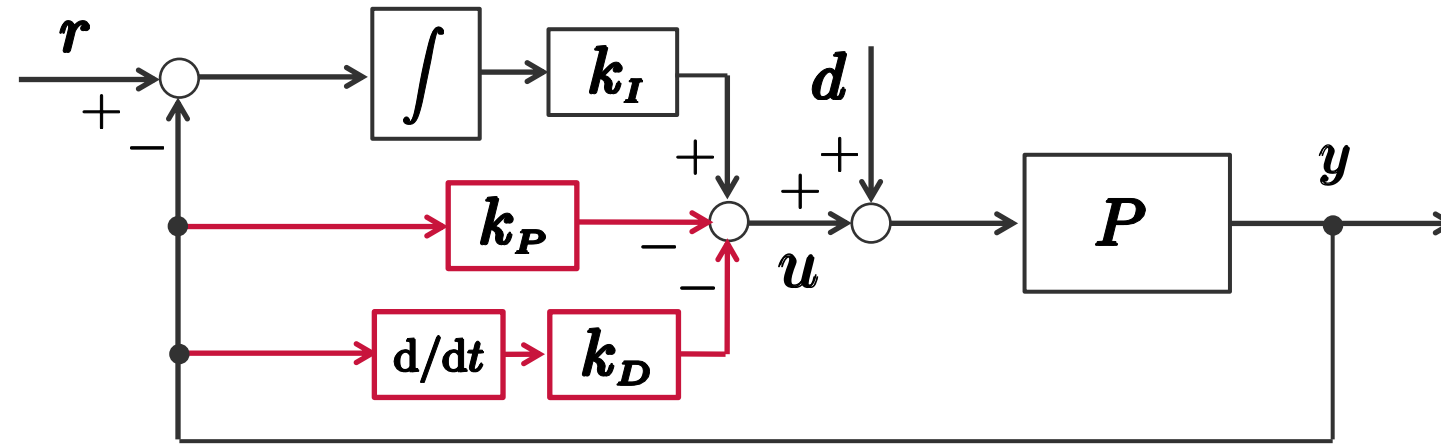
零点の影響

$$\text{PI-D制御} : G_{yr}(s) = \frac{k_P s + k_I}{J s^3 + (c + k_D) s^2 + (m g \ell + k_P) s + k_I}$$

$$\text{I-PD制御} : G_{yr}(s) = \frac{k_I}{J s^3 + (c + k_D) s^2 + (m g \ell + k_P) s + k_I}$$



2 自由度制御系



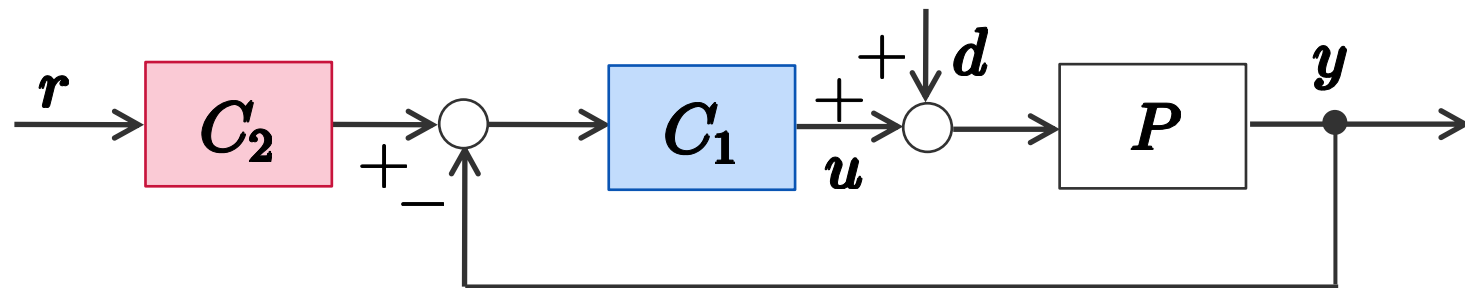
$$\begin{aligned} u(s) &= \frac{k_I}{s}r(s) - \frac{k_D s^2 + k_P s + k_I}{s}y(s) \\ &= \frac{k_D s^2 + k_P s + k_I}{s} \left(\frac{k_I}{k_D s^2 + k_P s + k_I} r(s) - y(s) \right) \\ &= C_1(s) (C_2(s)r(s) - y(s)) \end{aligned}$$



2自由度制御系

I-PD制御は、以下のブロック線図で表現できる

$$u(s) = C_1(s) (C_2(s)r(s) - y(s))$$



$$C_1(s) = \frac{k_D s^2 + k_P s + k_I}{s}$$

PID制御器

$$C_2(s) = \frac{k_I}{k_D s^2 + k_P s + k_I}$$

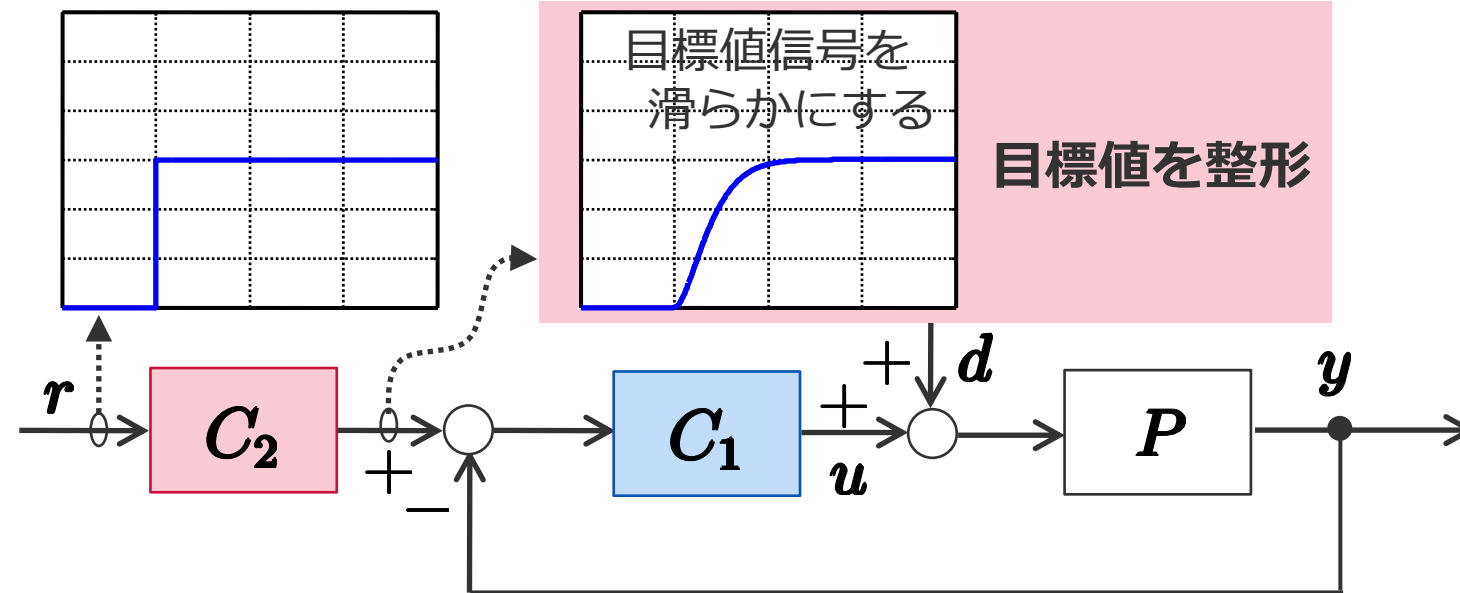
2次遅れ要素

通常のPID制御器になっているので、
外乱抑制の性能は変わらない

急激な変化が
緩和される



2自由度制御系



$$C_1(s) = \frac{k_D s^2 + k_P s + k_I}{s}$$

PID制御器

$$C_2(s) = \frac{k_I}{k_D s^2 + k_P s + k_I}$$

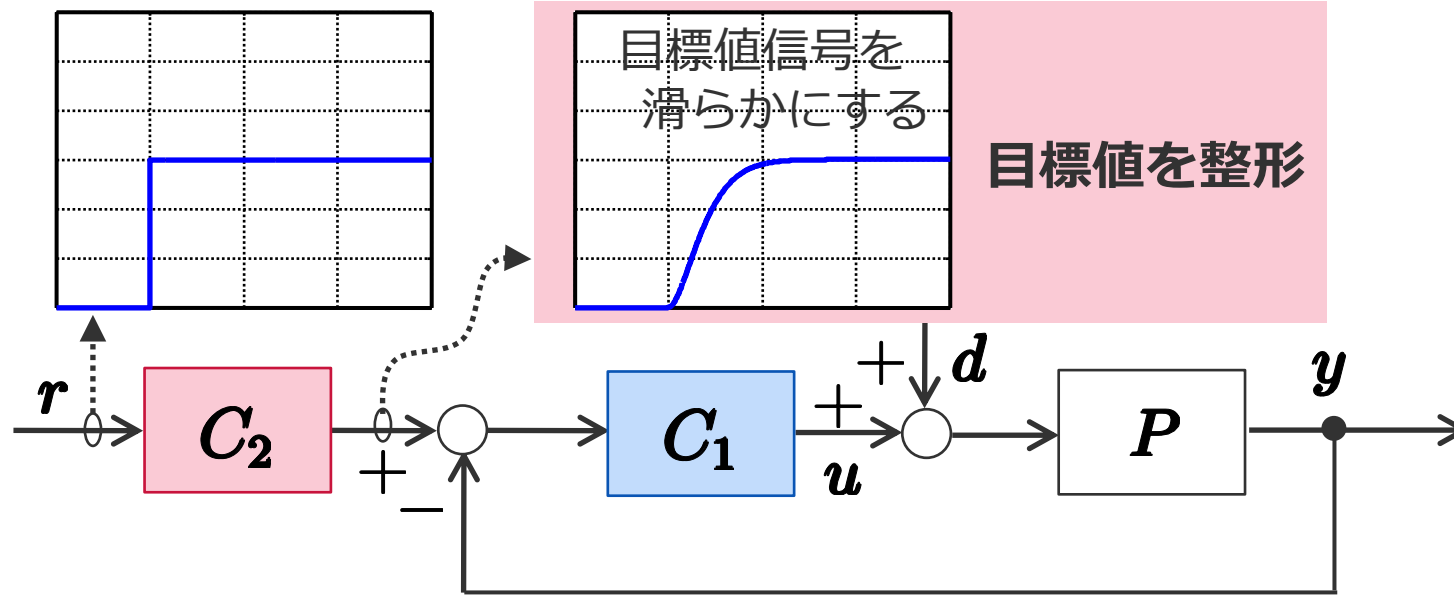
2次遅れ要素

通常のPID制御器になっているので、
外乱抑制の性能は変わらない

急激な変化が
緩和される



2自由度制御系



$$C_1(s) = \frac{k_D s^2 + k_P s + k_I}{s}$$

$$C_2(s) = \frac{k_I}{k_D s^2 + k_P s + k_I}$$

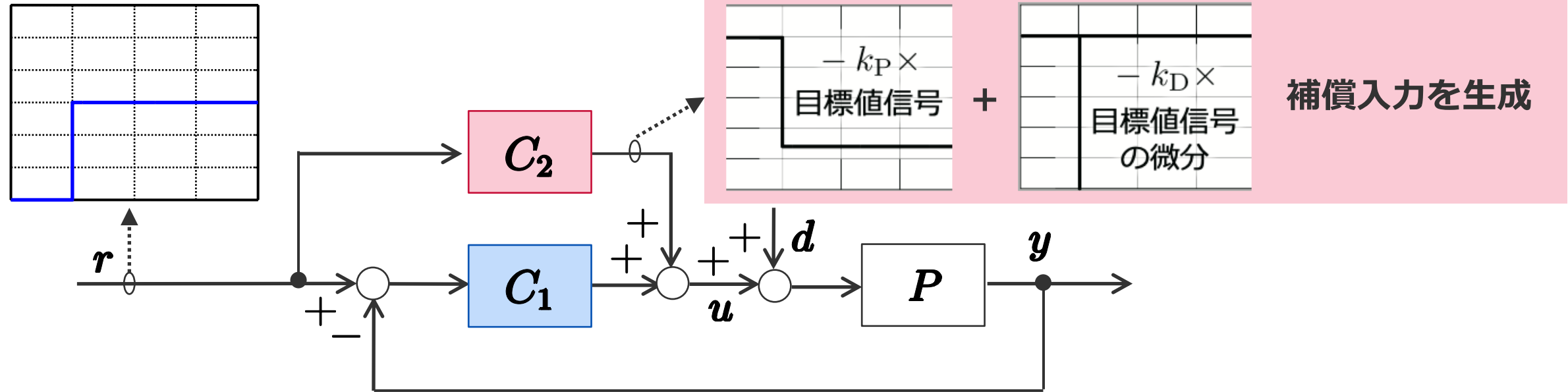
同様に、PI-D制御も

$$C_1(s) = \frac{k_D s^2 + k_P s + k_I}{s}$$

$$C_2(s) = \frac{k_P s + k_I}{k_D s^2 + k_P s + k_I}$$



【補足】別の解釈



$$C_1(s) = \frac{k_D s^2 + k_P s + k_I}{s}$$

$$C_2(s) = -k_P - k_D s$$

解釈はこれでよいが、シミュレーションはしにくい（ $C_2(s)$ がインプロパー）



ゲインチューニング

ヒューリスティックな方法による設計

$$\begin{aligned} u(t) &= \mathbf{k}_P e(t) + \mathbf{k}_I \int_0^t e(t) dt + \mathbf{k}_D \frac{de(t)}{dt} \\ &= \mathbf{k}_P \left(e(t) + \frac{1}{T_I} \int_0^t e(t) dt + T_D \frac{de(t)}{dt} \right) \end{aligned}$$

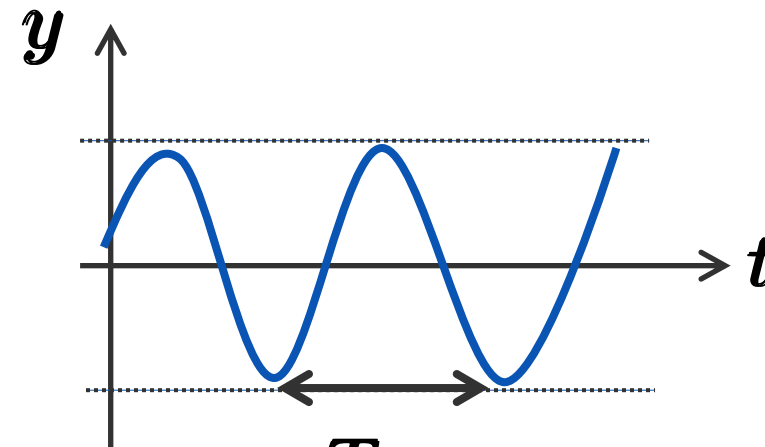
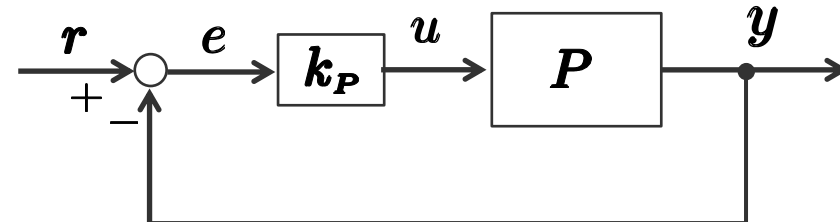
制御対象のモデルが不要

- Ziegler & Nichols の限界感度法
- Ziegler & Nichols のステップ応答法



限界感度法

限界感度法



P制御のみで安定限界となる

$k_P = k_o$ を求め、持続振動の周期 T_o を測定する

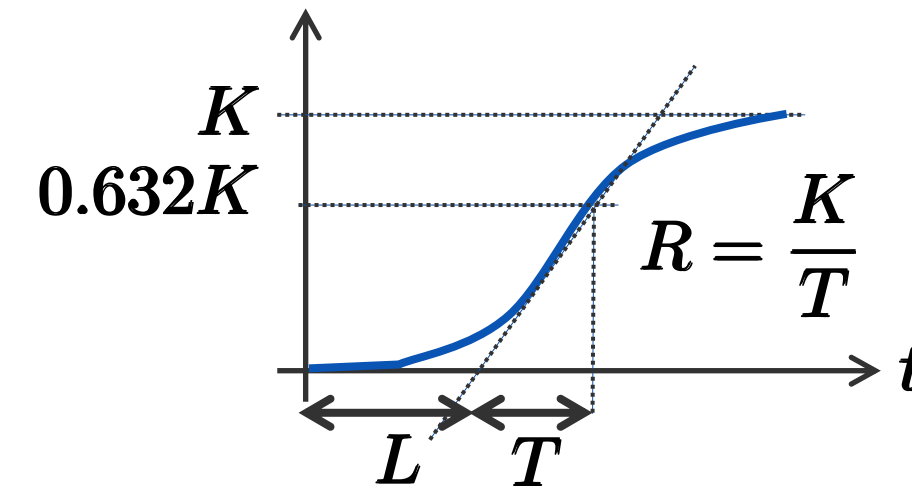
| | 比例ゲイン k_P | 積分時間 T_I | 微分時間 T_D |
|-------|-------------|------------|------------|
| P制御 | $0.5k_o$ | | |
| PI制御 | $0.45k_o$ | $0.83T_o$ | |
| PID制御 | $0.6k_o$ | $0.5T_o$ | $0.125T_o$ |
| 改良版 | $0.2k_o$ | $0.5T_o$ | $0.33T_o$ |



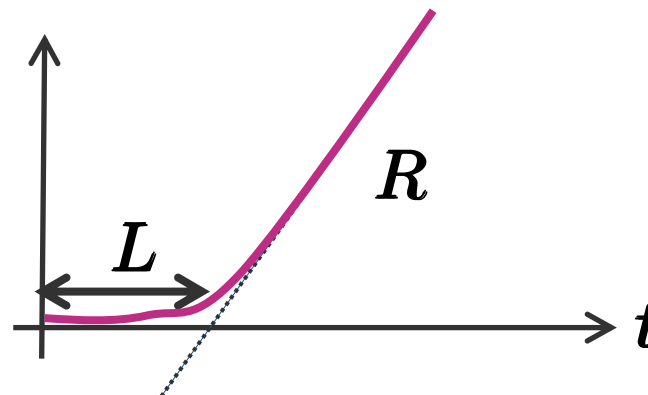
ステップ応答法

ステップ応答法

定位系 $\frac{Ke^{-Ls}}{1+Ts}$



無定位系 $\frac{R}{s}e^{-Ls}$



未知の制御対象を近似的に
1次遅れ + むだ時間 (定位系)
積分器 + むだ時間 (無定位系) とみなし,
ステップ応答の結果からPIDゲインを決定する



ステップ応答法

ステップ応答法

| | 比例ゲイン k_P | 積分時間 T_I | 微分時間 T_D |
|-------|------------------|------------|------------|
| P制御 | $\frac{1}{RL}$ | | |
| PI制御 | $\frac{0.9}{RL}$ | $3.3L$ | |
| PID制御 | $\frac{1.2}{RL}$ | $2L$ | $0.5L$ |



限界感度法の例題

```
from scipy import signal

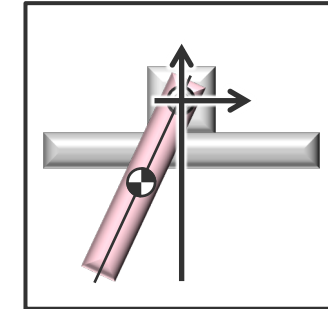
fig, ax = plt.subplots(figsize=(3, 2.3))

kp0 = 2.9
C = tf([0, kp0], [0, 1])
Gyr = feedback(Pdelay*C, 1)
y, t = step(Gyr, np.arange(0, 2, 0.01))

[maxId] = signal.argrelmax(y)

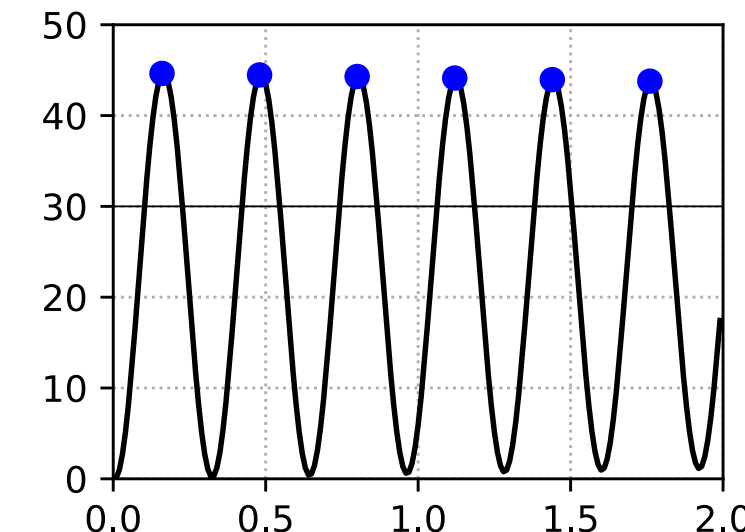
ax.plot(t, y*ref, color='k')
ax.plot(t[maxId], y[maxId]*ref, 'bo')

ax.axhline(ref, color='k', linewidth=0.5)
ax.set_xlim(0, 2)
ax.set_ylim(0, 50)
ax.grid(ls=':')
```



```
g = 9.81      # 重力加速度[m/s^2]
l = 0.2       # アームの長さ[m]
m = 0.5       # アームの質量[kg]
c = 1.5e-2    # 粘性摩擦係数
J = 1.0e-2    # 慣性モーメント
```

```
ref = 30
P = tf([0, 1], [J, c, m*g*l])
num_delay, den_delay = pade(0.005, 1)
Pdelay = P * tf(num_delay, den_delay)
```





限界感度法の例題

```
kp = [0, 0]
ki = [0, 0]
kd = [0, 0]
Rule = ['', ''']

T0 = t[maxId[1]]-t[maxId[0]]
print('T0=', T0)
print('kP0=', kp0)

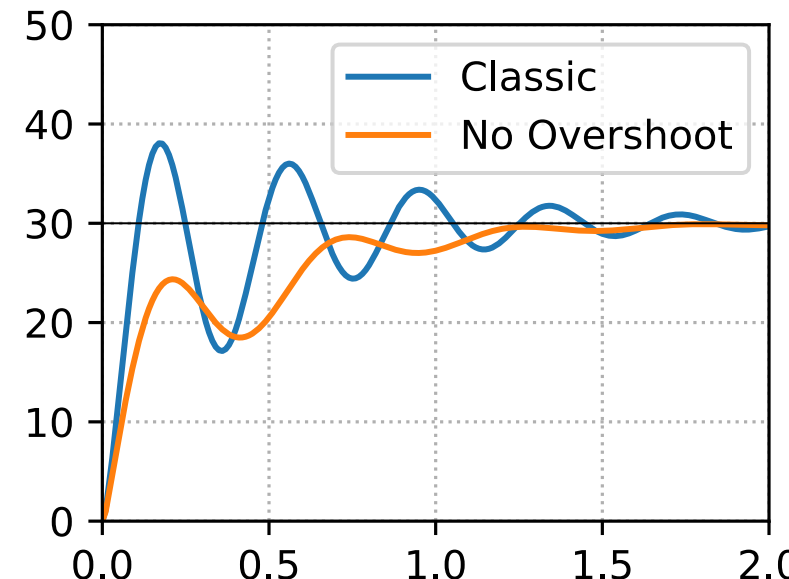
# Classic ZN
Rule[0] = 'Classic'
kp[0] = 0.6 * kp0
ki[0] = kp[0] / (0.5 * T0)
kd[0] = kp[0] * (0.125 * T0)

# No overshoot
Rule[1] = 'No Overshoot'
kp[1] = 0.2 * kp0
ki[1] = kp[1] / (0.5 * T0)
kd[1] = kp[1] * (0.33 * T0)
```

```
fig, ax = plt.subplots(figsize=(3, 2.3))

for i in range(2):
    C = tf([kd[i], kp[i], ki[i]], [1, 0])
    Gyr = feedback(Pdelay*C, 1)
    y, t = step(Gyr, np.arange(0, 2, 0.01))
    ax.plot(t, y*ref, label=Rule[i])

ax.axhline(ref, color="k", linewidth=0.5)
ax.legend()
ax.grid(ls=':')
```





ステップ応答法の例題

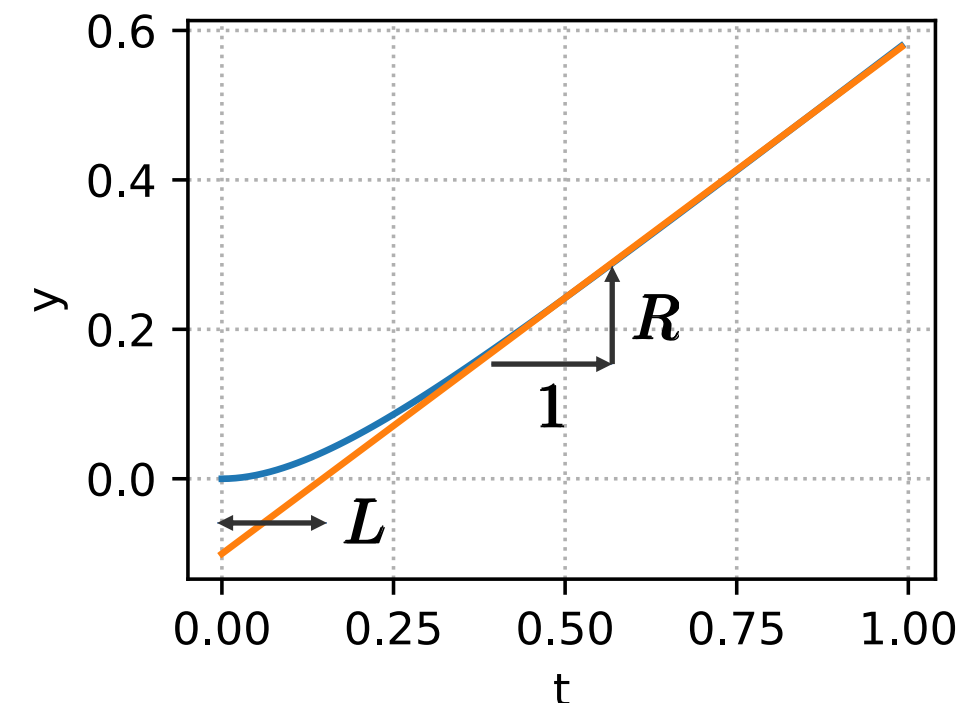
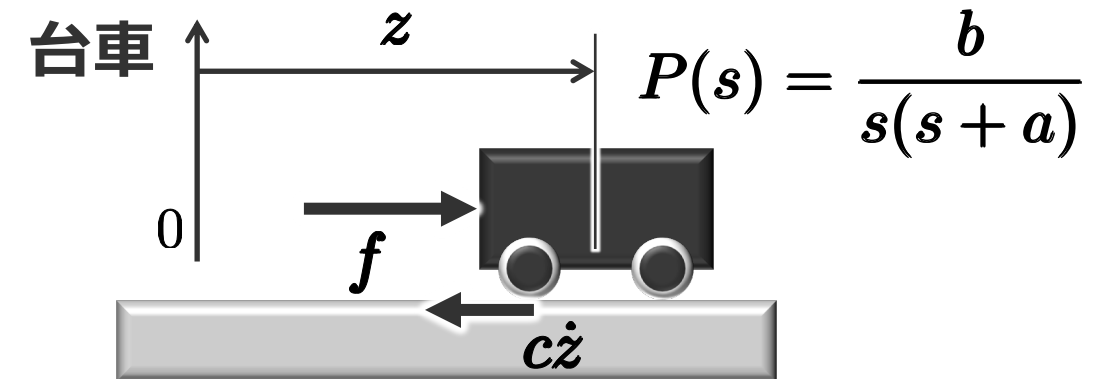
```
# 台車系のモデル
a = 6.25
b = 4.36
P = tf([0, b], [1, a, 0])

y, t = step(P, np.arange(0, 1, 0.01))

# ある程度時間が経過したとの応答を1次関数で近似する
yslice = y[40::]
tslice = t[40::]

p = np.polyfit(tslice, yslice, 1)

fig, ax = plt.subplots(figsize=(3, 2.3))
y, t = step(P, np.arange(0, 1, 0.01))
ax.plot(t, y)
ax.plot(t, np.poly1d(p)(t))
ax.set_xlabel('t')
ax.set_ylabel('y')
ax.grid(ls=':'')
```





ステップ応答法の例題

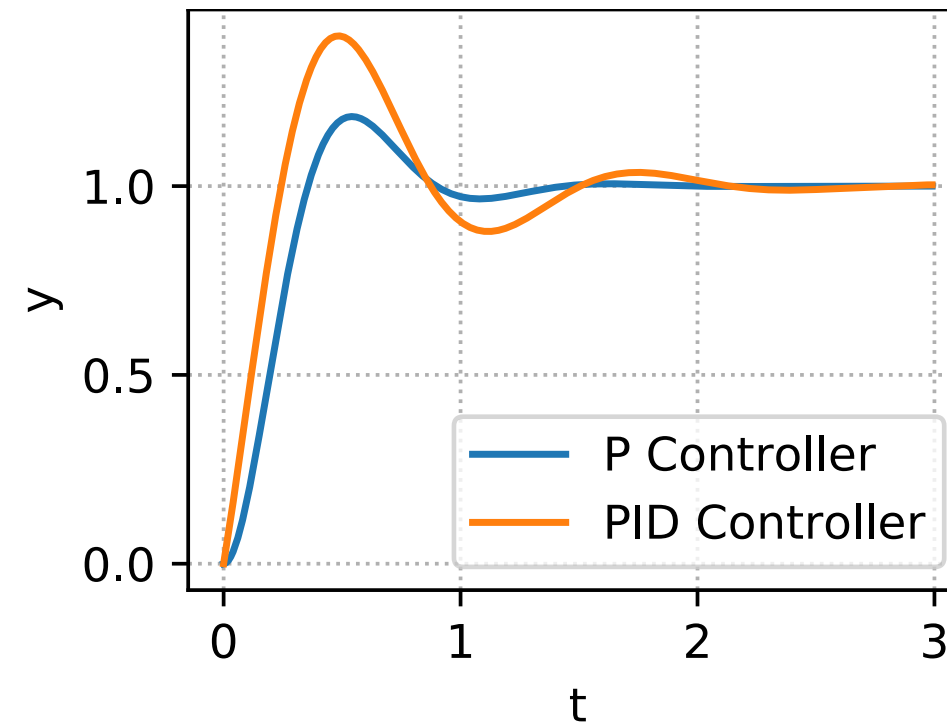
```
uref = 1
R = p[0]/uref
L = -p[1]/p[0]       $y = p[0]t + p[1]$ 
print(R, L)

kp = [0, 0]
ki = [0, 0]
kd = [0, 0]
Rule = ['', '']

# P Controller
Rule[0] = 'P Controller'
kp[0] = 1/(R*L)

# PID Controller
Rule[1] = 'PID Controller'
kp[1] = 1.2/(R*L)
ki[1] = kp[1] / (2 * L)
kd[1] = kp[1] * (0.5 * L)
```

```
fig, ax = plt.subplots(figsize=(3, 2.3))
for i in range(2):
    C = tf([kd[i], kp[i], ki[i]], [1, 0])
    Gyr = feedback(P*C, 1)
    y, t = step(Gyr, np.arange(0, 3, 0.01))
    ax.plot(t, y, label=Rule[i])
```

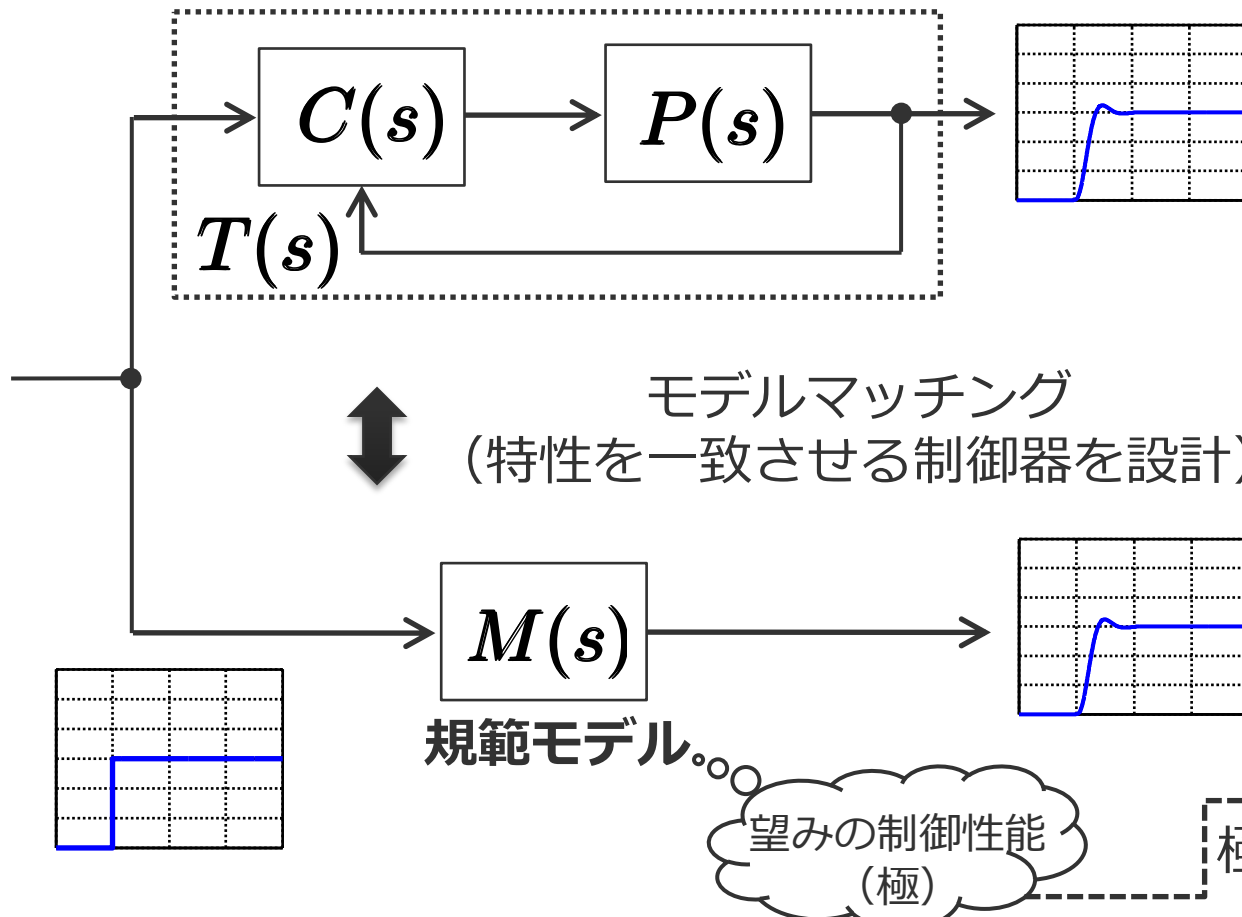




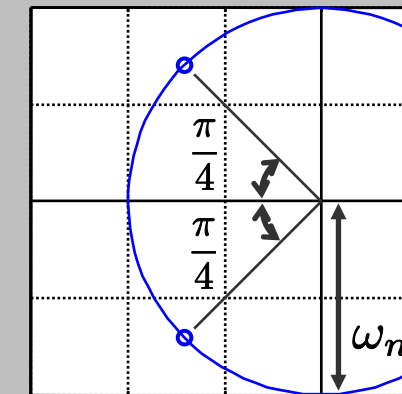
モデルマッチング

閉ループ系の特性を"規範モデル"の特性に近づける

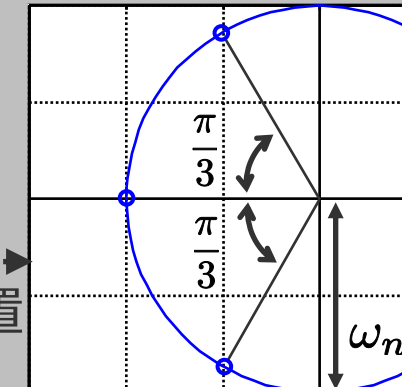
→ $\frac{1}{T(s)}$ と $\frac{1}{M(s)}$ のマクローリン展開の低次項を一致させる



例) バターワース標準形 (2次)



例) バターワース標準形 (3次)

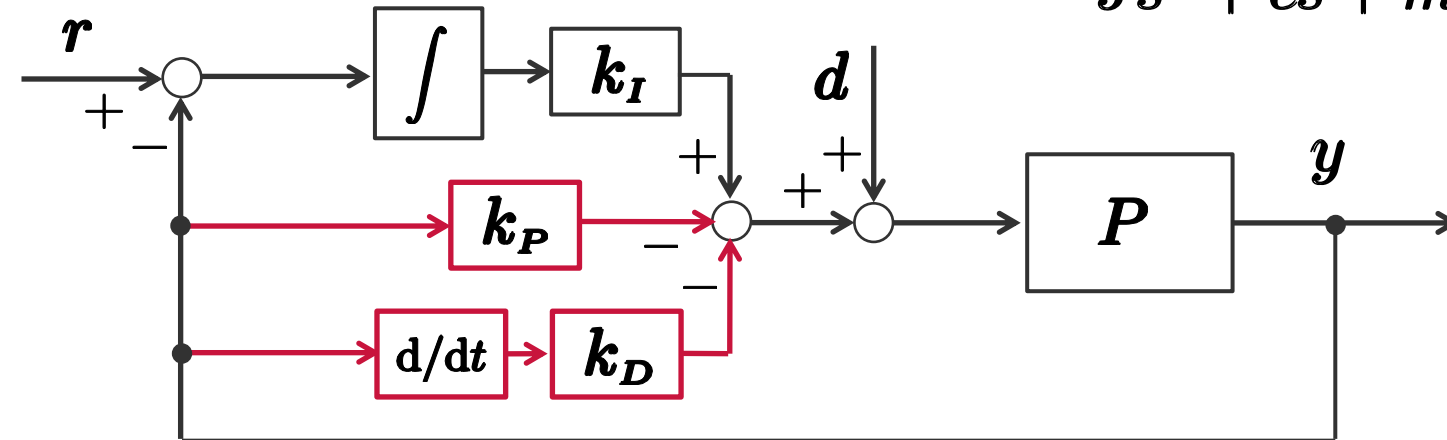




I-PD制御

モデルマッチングによる設計

$$P(s) = \frac{1}{Js^2 + cs + mgl}$$



$$T(s) = \frac{k_I}{Js^3 + (c + k_D)s^2 + (mgl + k_P)s + k_I}$$

規範モデル（3次）

$$M(s) = \frac{\omega_n^3}{s^3 + \alpha_2\omega_n s^2 + \alpha_1\omega_n^2 s + \omega_n^3}$$

2項係数標準形
 $(\alpha_1, \alpha_2) = (3, 3)$

バターワース標準形
 $(\alpha_1, \alpha_2) = (2, 2)$



I-PD制御

モデルマッチングによる設計

$$\frac{1}{M(s)} = 1 + \frac{\alpha_1}{\omega_n} s + \frac{\alpha_2}{\omega_n^2} s^2 + \frac{1}{\omega_n^3} s^3$$

$$\frac{1}{T(s)} = 1 + \frac{mgl + k_P}{k_I} s + \frac{c + k_D}{k_I} s^2 + \frac{J}{k_I} s^3$$

$$k_I = J\omega_n^3 \quad k_P = J\alpha_1\omega_n^2 - mgl$$

$$k_D = J\alpha_2\omega_n - c$$

ITAE最小標準形

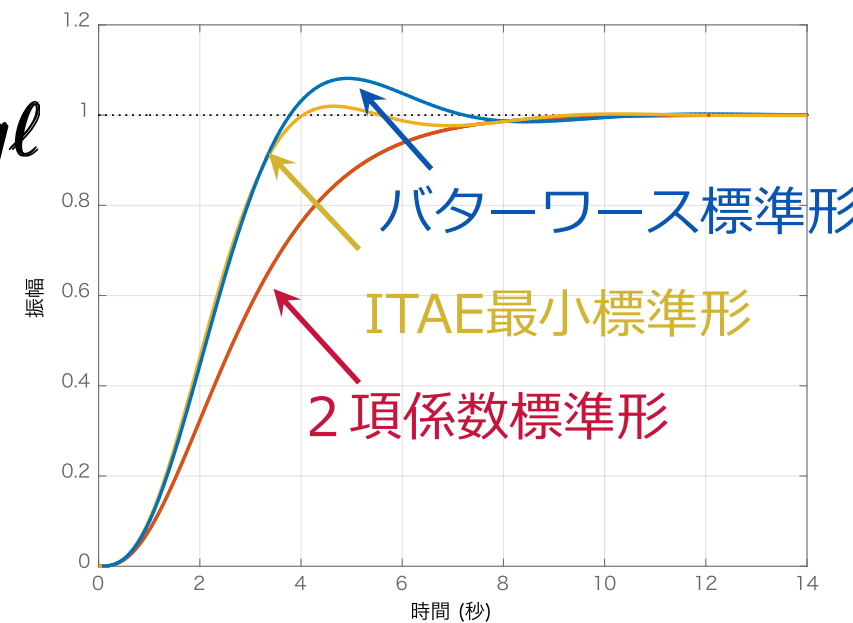
$$(\alpha_1, \alpha_2) = (2.15, 1.75)$$

2項係数標準形

$$(\alpha_1, \alpha_2) = (3, 3)$$

バターワース標準形

$$(\alpha_1, \alpha_2) = (2, 2)$$





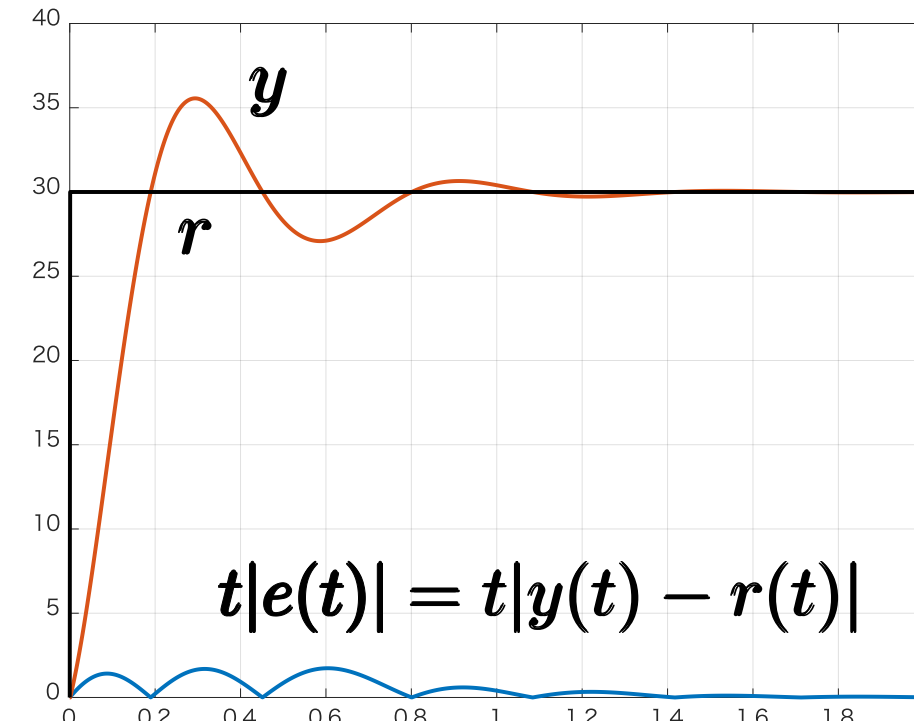
【補足】 ITAE最小

$$M(s) = \frac{\omega_n^3}{s^3 + \alpha_2\omega_n s^2 + \alpha_1\omega_n^2 s + \omega_n^3} \quad (\alpha_1, \alpha_2) = (2.15, 1.75)$$

ITAE: Integral of Time weighted Absolute Error

$$J = \int_0^\infty t|e(t)|dt$$

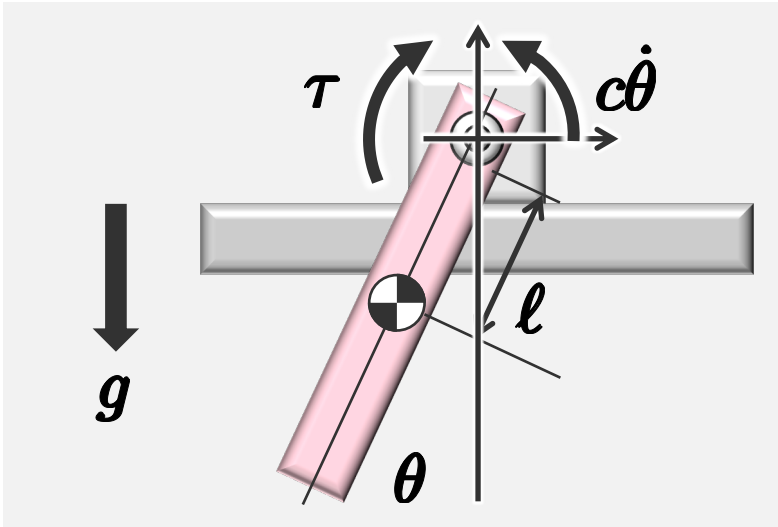
十分時間が経過
したときの偏差も
しっかり考慮





制御系設計の例題

2次遅れ系（アーム，RCL回路）が対象



$$P(s) = \frac{1}{Js^2 + cs + mgl}$$

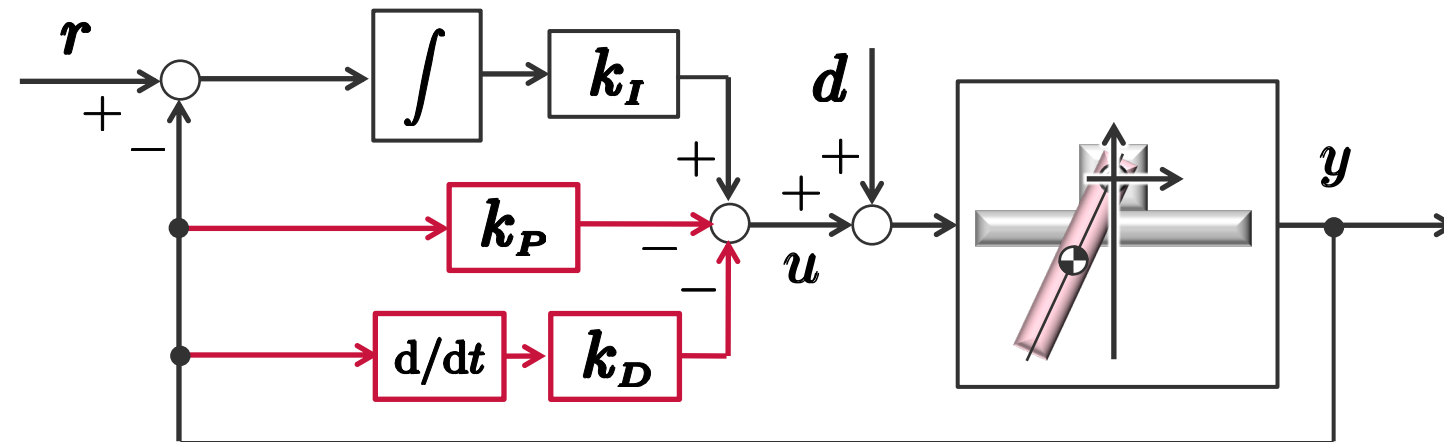
```
g = 9.81      # 重力加速度[m/s^2]
l = 0.2       # アームの長さ[m]
m = 0.5       # アームの質量[kg]
c = 1.5e-2    # 粘性摩擦係数
J = 1.0e-2    # 惯性モーメント
```

制御目標：ステップ目標値への追従

整定時間を0.5秒以下、オーバーシュートを10%以下にし、
ステップ目標値&外乱に対して、定常偏差が生じないPID制
御系を構築しなさい

制御系設計の例題

制御器として、I-PD制御を考える（定常偏差は0になる）



$$\text{閉ループ系 } G_{yr}(s) = \frac{k_I}{Js^3 + (c + k_D)s^2 + (mgl + k_P)s + k_I}$$

を3次の規範モデルに一致させるゲインをもとめる

$$\frac{\omega_n^3}{s^3 + \alpha_2\omega_n s^2 + \alpha_1\omega_n^2 s + \omega_n^3}$$



$$k_P = J\alpha_1\omega_n^2 - mgl$$

$$k_I = J\omega_n^3 \quad k_D = J\alpha_2\omega_n - c$$



制御系設計の例題

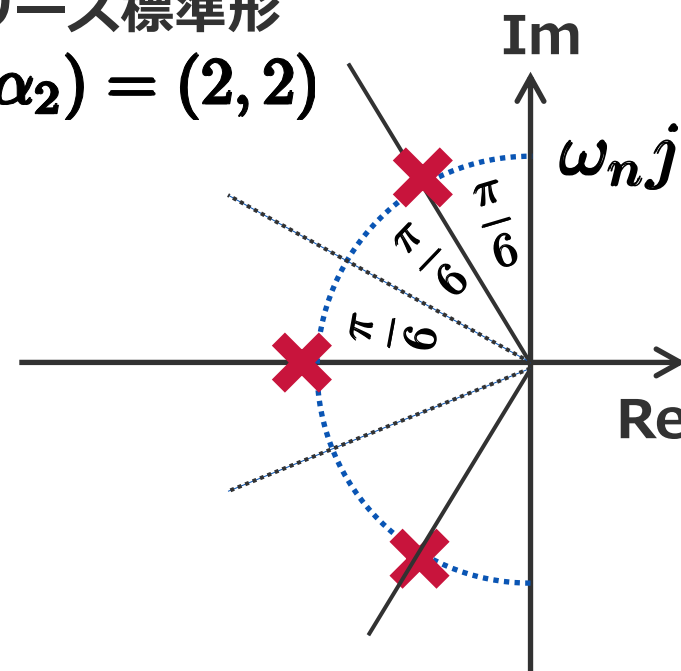
規範モデル $(\alpha_1, \alpha_2, \omega_n)$ を仕様をもとに決める

整定時間を0.5秒以下, オーバーシュートを10%以下にし,

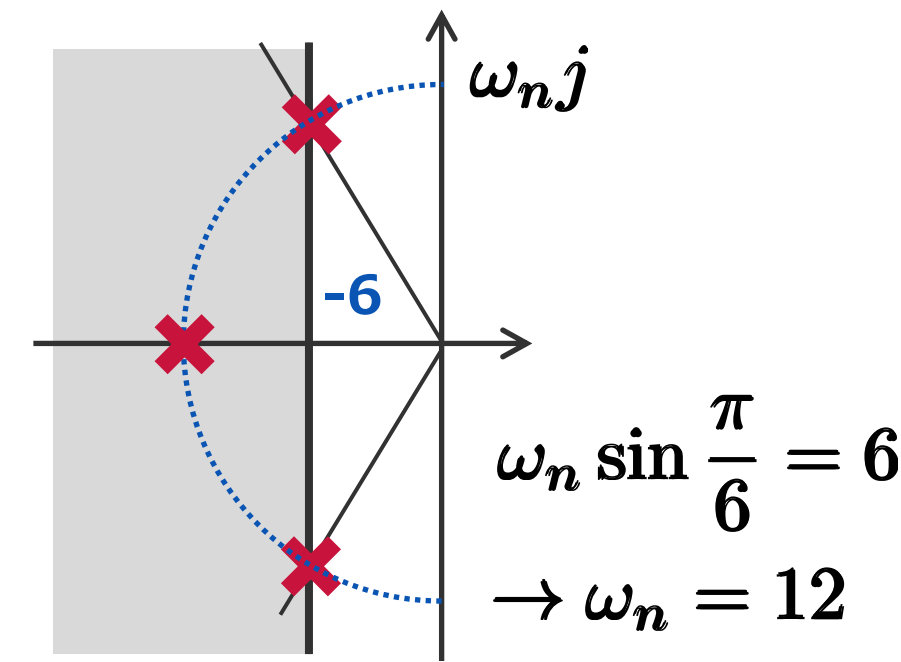
ステップ目標値に対して, 定常偏差が生じない $\rightarrow |G_{yr}(0)| = 1$

バターワース標準形

$$(\alpha_1, \alpha_2) = (2, 2)$$



オーバーシュート8.2%

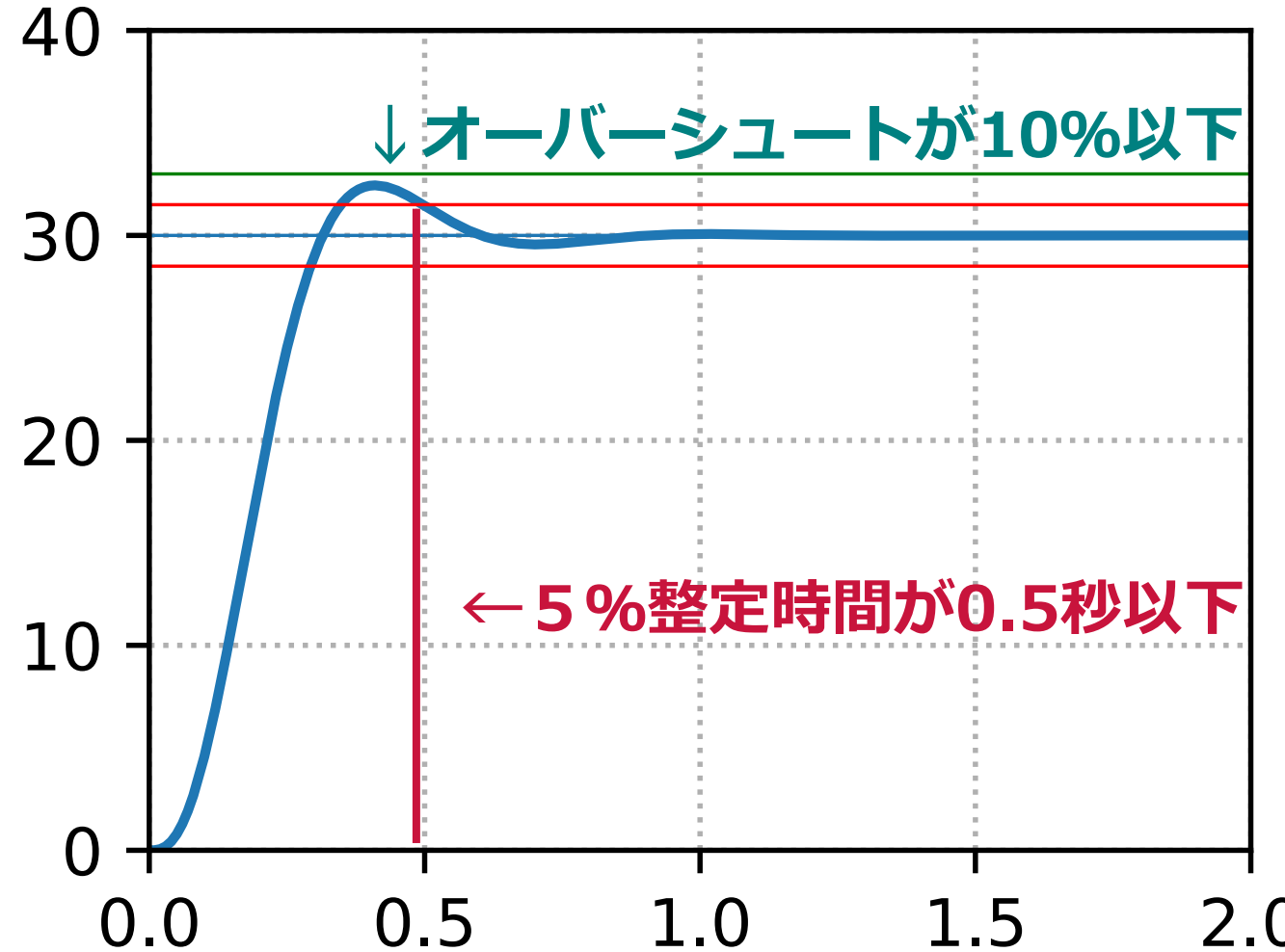


実部が $-3/T_s$ 以下で ↑ 整定時間が T_s 秒以下



制御系設計の例題

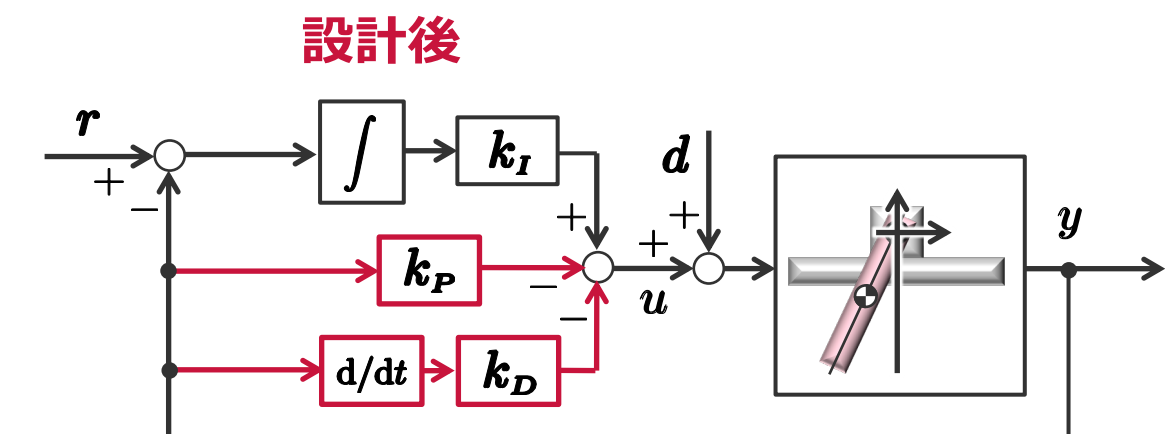
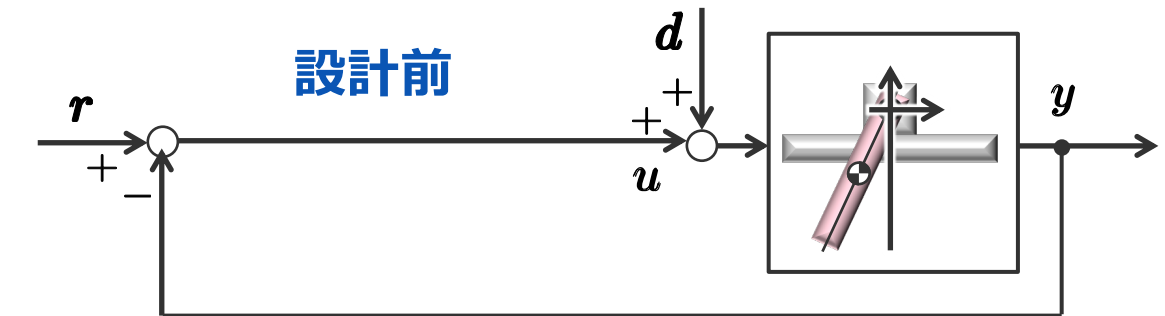
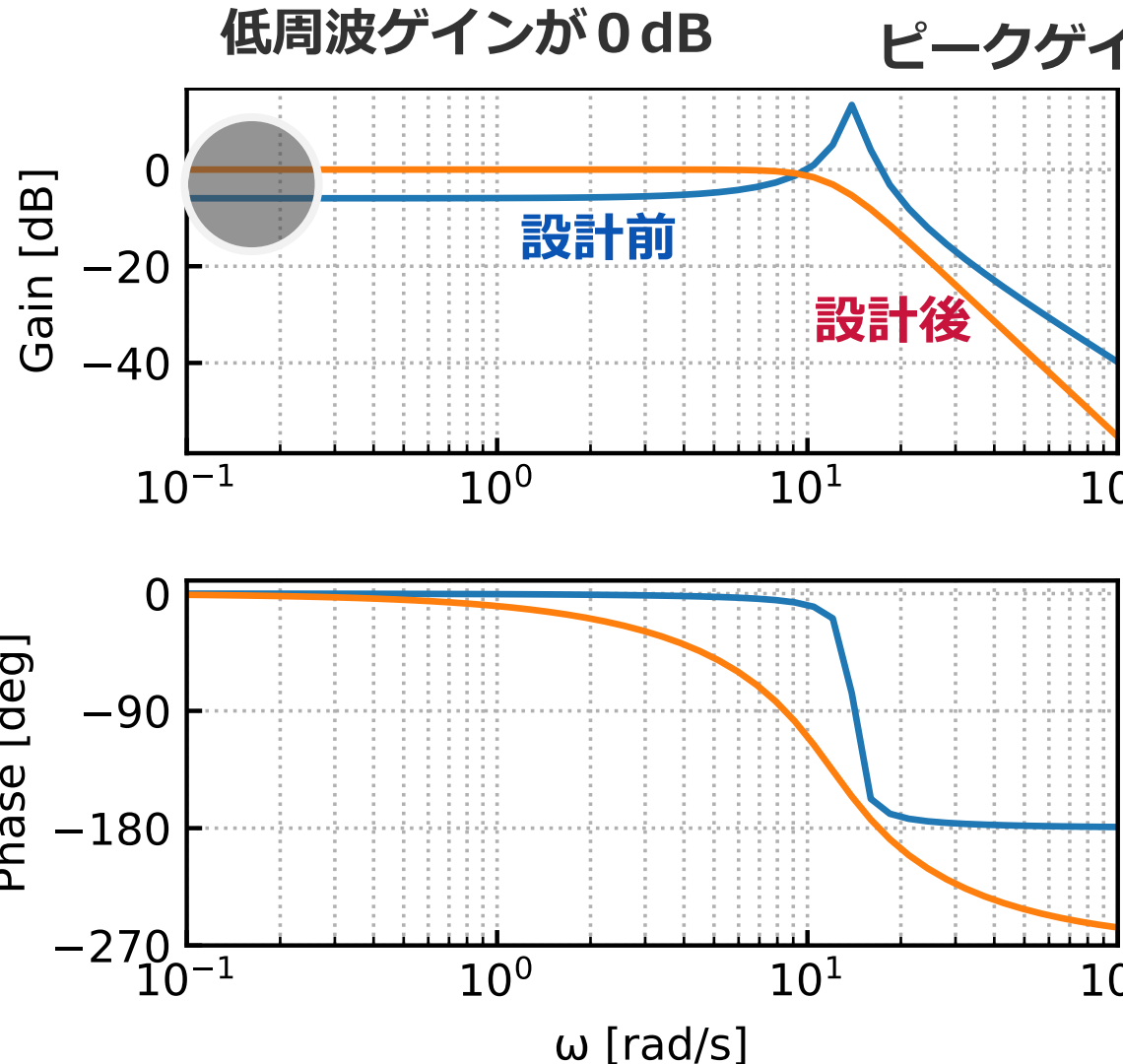
目標値を 30 [deg] にしたときのステップ応答





制御系設計の例題

閉ループ系の周波数特性

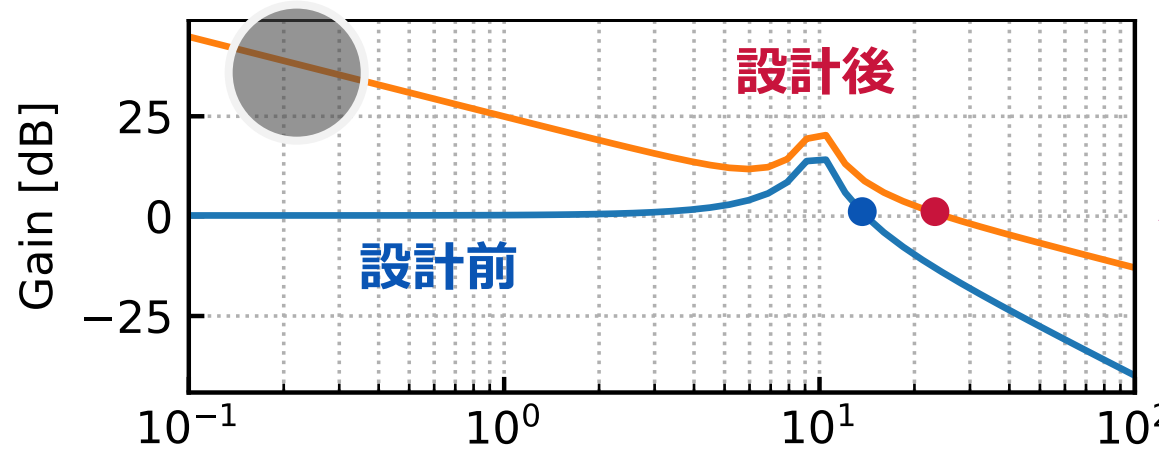




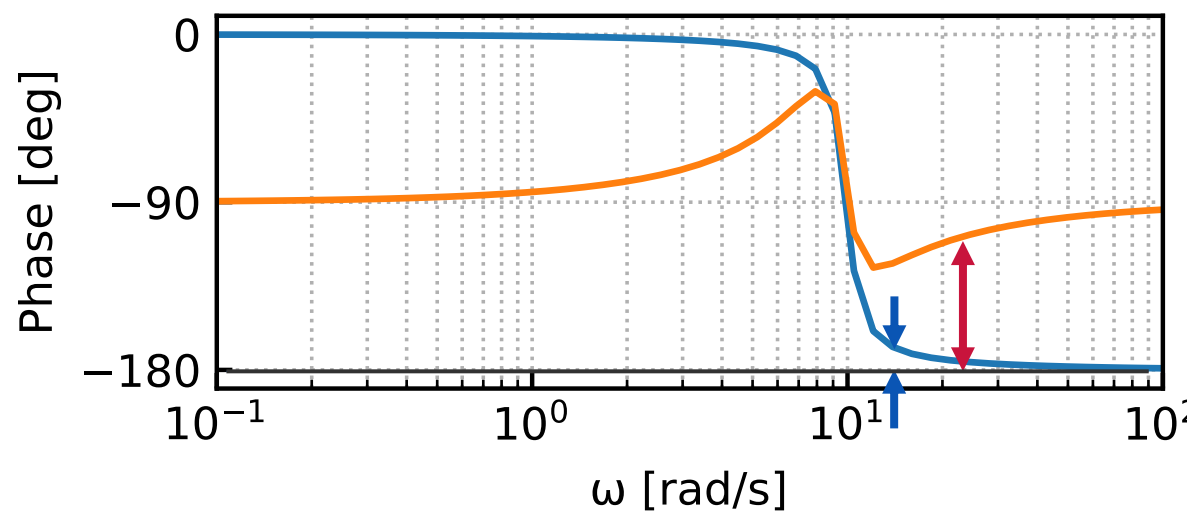
制御系設計の例題（次回予告）

開ループ系の周波数特性（ループ整形のところで登場）

↓ -20dB/dec なので直流ゲインは∞になっている



ゲイン交差周波数が
大きくなっている



位相余裕が大き
くなっている

開ループ系の特性を見ながら
でも設計できそう！
→ ループ整形



HomeWork

★グラフを描いて考察しよう

$$P(s) = \frac{1}{Js^2 + cs + mgl}$$

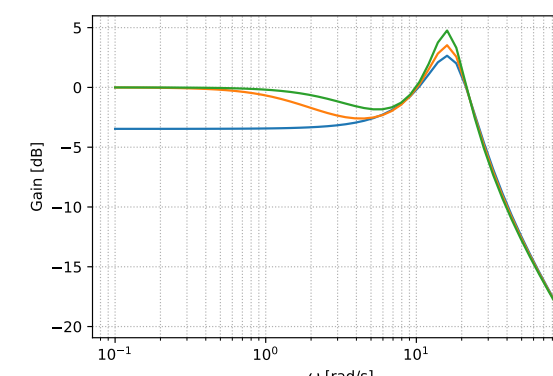
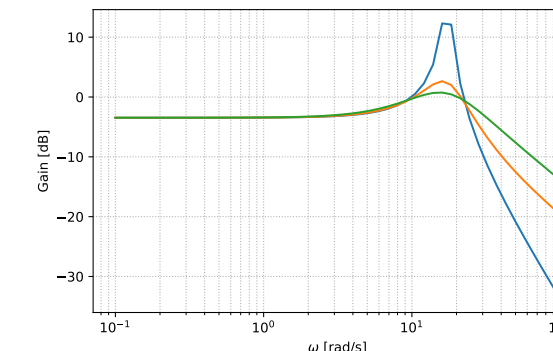
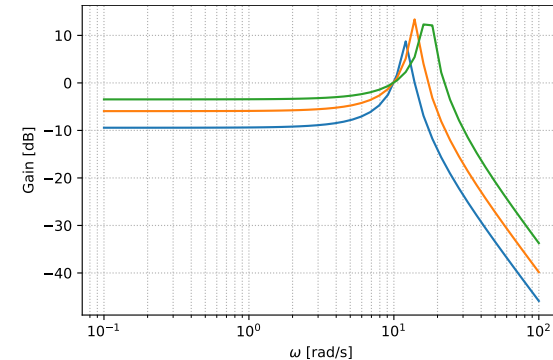
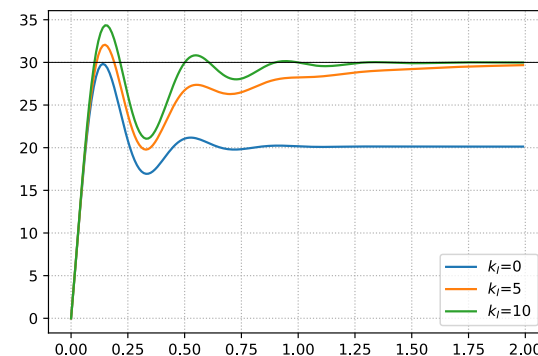
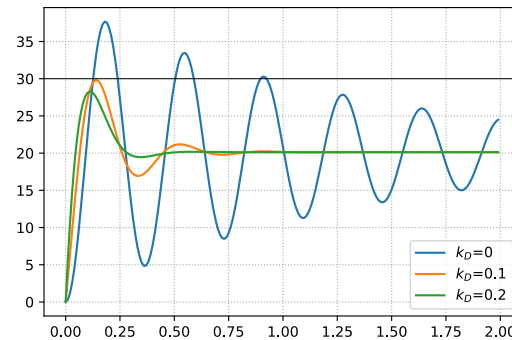
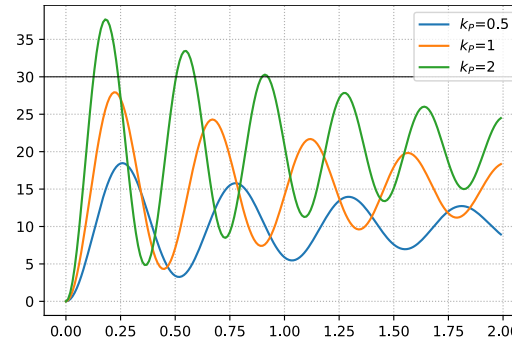
```
g = 9.81      # 重力加速度[m/s^2]
l = 0.2        # アームの長さ[m]
m = 0.5        # アームの質量[kg]
c = 1.5e-2     # 粘性摩擦係数
J = 1.0e-3     # 慣性モーメント
```

閉ループ系のステップ応答
閉ループ系のゲイン線図

P制御 (Pゲインを変化)

PD制御 (Dゲインを変化)

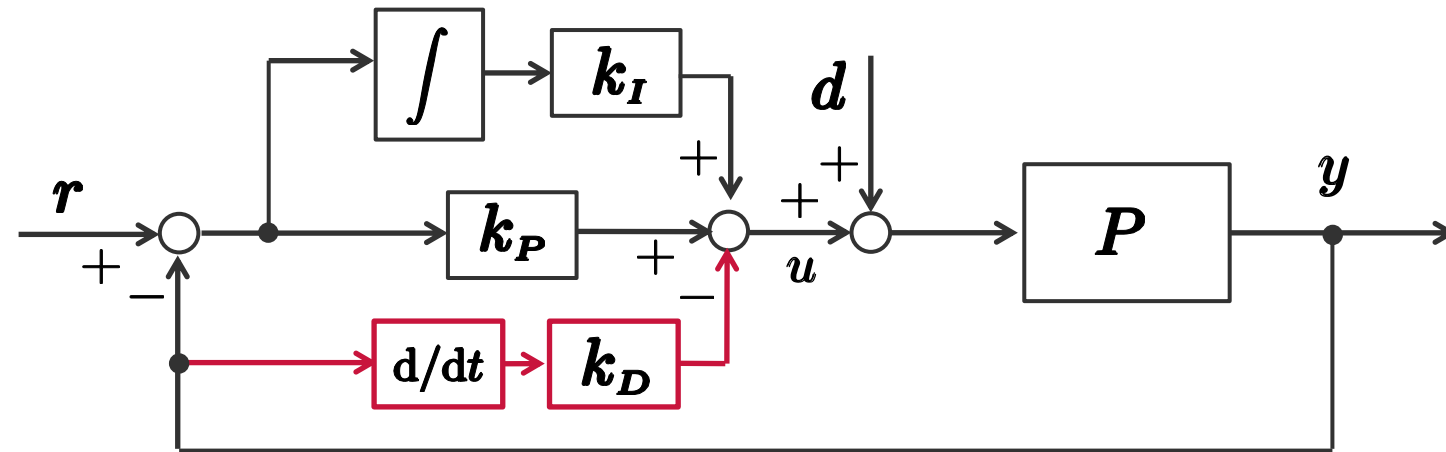
PID制御 (Iゲインを変化)





HomeWork

★モデルマッチングによる設計をしてみよう



$$T(s) = \frac{k_P s + k_I}{J s^3 + (c + k_D) s^2 + (m g l + k_P) s + k_I}$$

規範モデル（2次）

$$M(s) = \frac{\omega_n^2}{s^2 + 2\zeta\omega_n s + \omega_n^2}$$

(1) k_P, k_D, k_I を
 ζ, ω_n を用いて表せ（モデルマッチング）

(2) $\zeta = 0.707, \omega_n = 1$ のときの
 M と T のステップ応答を確認せよ



HomeWork

★モデルマッチングによる設計をしてみよう

$$\frac{1}{T(s)} = 1 + \frac{mgl}{k_I} s + \left(\frac{c + k_D}{k_I} - mgl \frac{k_P}{k_I^2} \right) s^2 + \left(\frac{J}{k_I} - \frac{k_P(c + k_D)}{k_I^2} + mgl \frac{k_P^2}{k_I^3} \right) s^3 + \dots$$

$$\frac{1}{M(s)} = 1 + \frac{2\zeta}{\omega_n} s + \frac{1}{\omega_n^2} s^2$$

3次の項まで一致させるゲイン

$$k_P = \omega_n^2 J \quad k_I = \frac{\omega_n mgl}{2\zeta}$$

$$k_D = 2\zeta\omega_n J + \frac{mgl}{2\zeta\omega_n} - c$$

```
import sympy as sp
z, wn = sp.symbols('zeta omega_n')
kp, kd, ki = sp.symbols('k_p k_d k_i')
mgl, c, J = sp.symbols('mgl c J')
sp.init_printing()

f1 = mgl/ki - 2*z/wn
f2 = (c+kd)/ki - mgl*kp/(ki**2) - 1/(wn**2)
f3 = J/ki - kp*(c+kd)/(ki**2) + mgl*kp**2/(ki**3)
sp.solve([f1, f2, f3], [kp, kd, ki])
```



HomeWork

モデルマッチングによる設計

```
g = 9.81    # 重力加速度[m/s^2]
l = 0.2     # アームの長さ[m]
m = 0.5     # アームの質量[kg]
c = 1.5e-2  # 粘性摩擦係数
J = 1.0e-2  # 慣性モーメント

omega_n = 5
zeta = 0.707
M = tf([0,omega_n**2],[1,2*zeta*omega_n,omega_n**2])

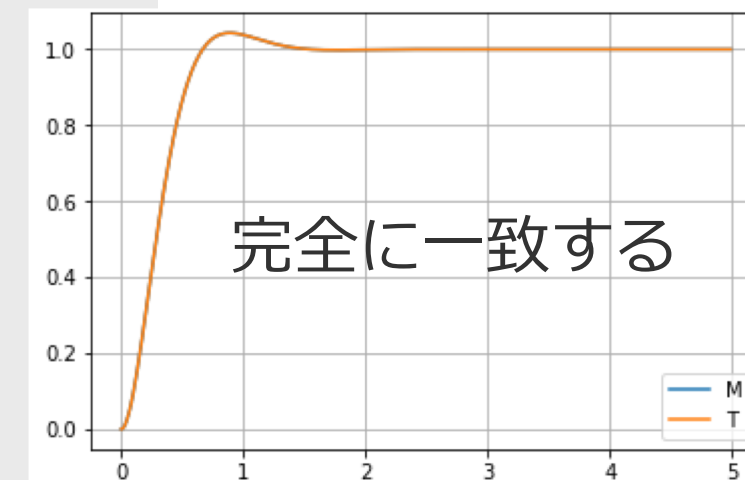
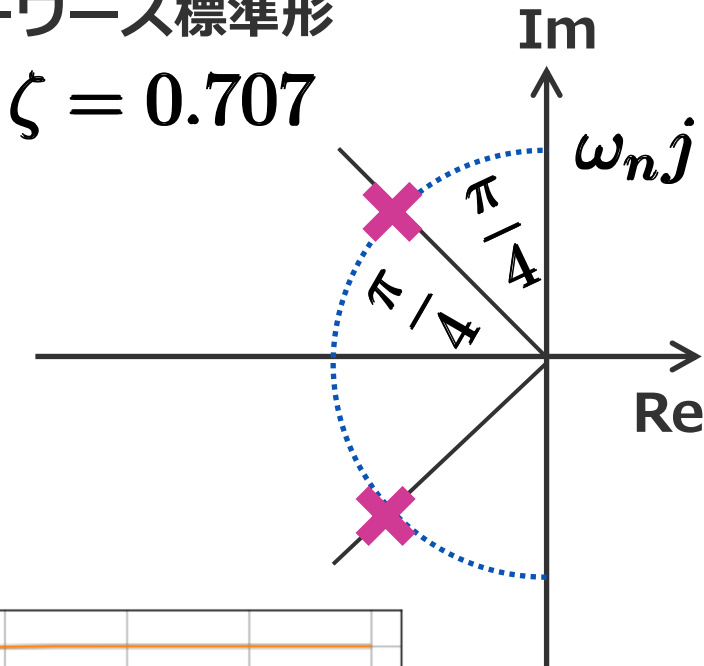
kP = omega_n**2*J
kI = omega_n*m*g*l/(2*zeta)
kD = 2*zeta*omega_n*J + m*g*l/(2*zeta*omega_n) - c
T = tf([kP,kI],[J, c+kD, m*g*l+kP, kI])

yM, tM = step(M, np.arange(0, 5, 0.01))
yT, tT = step(T, np.arange(0, 5, 0.01))

fig, ax = plt.subplots(figsize=(3, 2.3))
ax.plot(tM, yM, label='M', ls = '-.')
ax.plot(tT, yT, label='T')
ax.legend()
ax.grid()
```

バターワース標準形

$$\zeta = 0.707$$





今日の目標

Level☆☆☆

- ・閉ループ系の設計仕様の用語を説明できる
 - ・閉ループ系の安定性をPythonでチェックできる
 - ・PID制御系の応答特性(時間・周波数)のグラフをPythonで描ける
-

Level☆☆★

- ・限界感度法, ステップ応答法でPIDゲインを設計できる
 - ・モデルマッチング法でPIDゲインを設計できる
-

Level★★★

- ・2次遅れ系の行き過ぎ量やバンド幅, ピークゲインを手計算できる
- ・不完全微分が必要な理由を説明でき, それを用いた解析・設計ができる



次回予告 (6/23)

6月
23

【オンライン勉強会】 Pythonで学ぶ制御工学 Part3

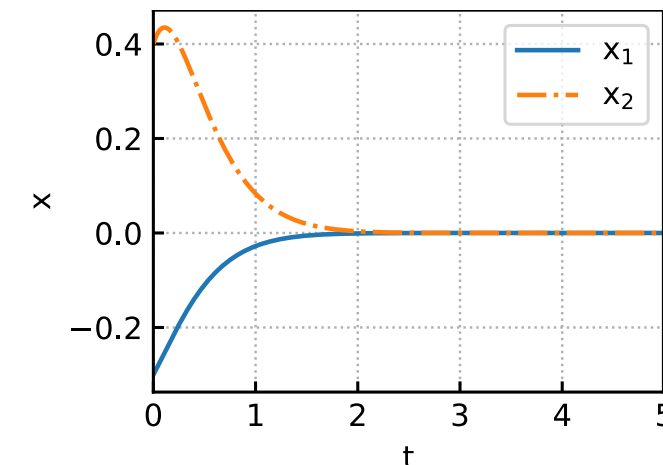
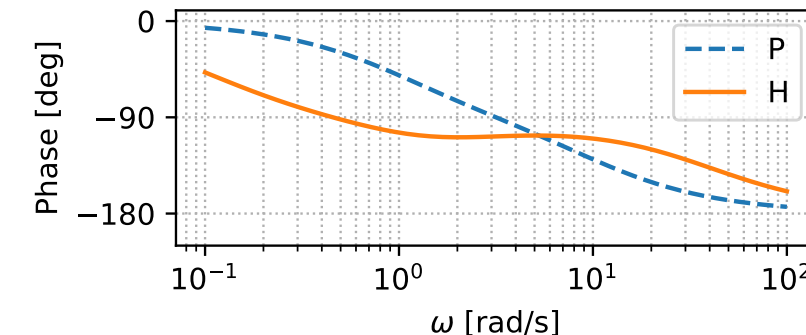
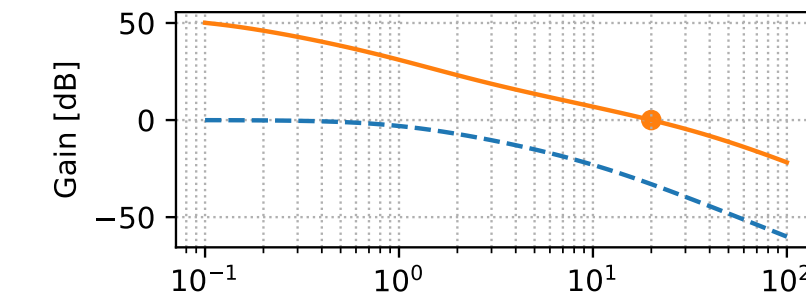
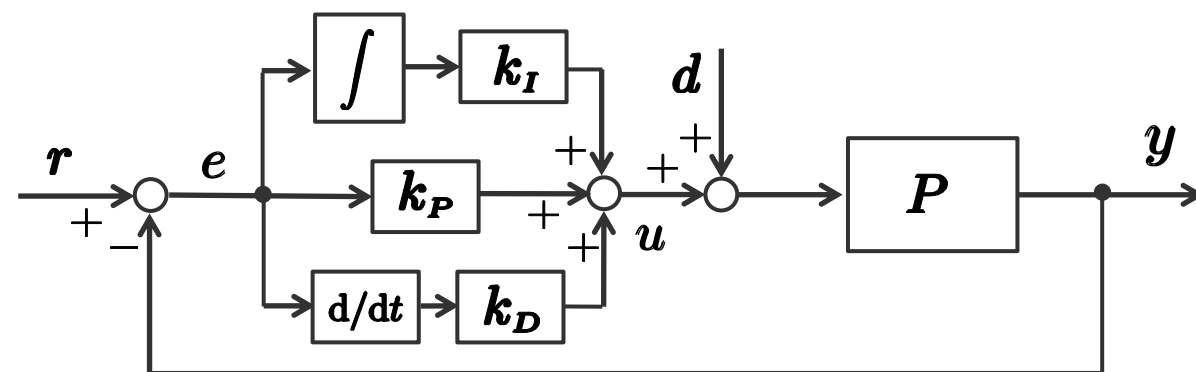
YouTubeLiveによるオンライン勉強会。初学者歓迎！

主催：SICE関西支部見学会委員会

SICE関西支部主催 オンライン勉強会

Pythonで学ぶ制御工学

- ✓ Part1 Pythonと制御工学の基礎
- ✓ Part2 伝達関数モデルを用いた制御系設計
- ✓ Part3 ループ整形、現代制御理論の基礎



各種仕様の推奨値

閉ループ系の仕様

| | サーボ系 | プロセス系 |
|--------|---------|------------------|
| 減衰係数 | 0.6~0.8 | 0.2~0.5 |
| 行き過ぎ量 | | 0~25% |
| ピークゲイン | | 1.1~1.5 (1.3が標準) |

開ループ系の仕様

| | サーボ系 | プロセス系 |
|-------|---------|--------|
| 位相余裕 | 40°~60° | 20°以上 |
| ゲイン余裕 | 10~20dB | 3~10dB |